

الجمهورية الجزائرية الديمقراطية الشعبية
REPUBLIQUE ALGERIENNE DEMOCRATIQUE ET POPULAIRE

4 / 86

LEY

وزارة التعليم والبحث العلمي

MINISTÈRE DE L'ENSEIGNEMENT ET DE LA RECHERCHE SCIENTIFIQUE

ECOLE NATIONALE POLYTECHNIQUE

DEPARTEMENT GENIE CIVIL

المدرسة الوطنية المتعددة التقنيات
BIBLIOTHEQUE — المكتبة
Ecole Nationale Polytechnique

PROJET DE FIN D'ETUDES

S U J E T

BATIMENT R+6

PORTIQUES AUTOSTABLES

(CENTRE DE DOCUMENTATION ET D'ARCHIVES)

Proposé par : CTC

Etudié par :

Dirigé par :

BAHA MOURAD

M^{me} BAOUCHÉ

MAHOUACHE SAID

PROMOTION : JANV. 86

BÉNÉRÉGIMENTS

Tout d'abord nous tenons à remercier notre promotrice Mme BAOUCHE pour l'intérêt qu'elle nous a apporté. Que tous les professeurs et assistants qui ont contribué à notre formation trouvent dans ce modeste travail l'expression de notre reconnaissance.
Et tous ceux qui ont contribué à notre formation de près ou de loin trouvent l'expression de notre reconnaissance.

DEDICACES

A ma famille

à mes amis.

Faid Nahouche

A mes parents

à mes frères et soeurs

M. Baha

TABLES DES MATIÈRES

Chapitre I : Présentation de l'ouvrage	1
chapitre II : Caractéristiques mécaniques des matériaux	2
chapitre III : Evaluation des charges et surcharges	5
chapitre IV : Prédimensionnement	6
chapitre V : Calcul des éléments	7
- calcul de l'acrotère	7
- calcul des planchers	9
- Es caliers	15
chapitre VI : Calcul des rigidité (méthode de Nuto)	22
chapitre VII : Etude au séisme et charges horizontales	26
chapitre VIII : charges verticales	36
chapitre IX : Superposition des sollicitations	50
chapitre X : Ferrailage des poutres	67
chapitre XI : Ferrailage des poteaux	89
chapitre XII : calcul des fondations	101
chapitre XIII : calcul des longrines	108
chapitre XIV : voile périphérique	109

PRESENTATION DE L'OUVRAGE

Le projet qui nous a été proposé par le CTC (organisme du contrôle technique de la construction) consiste à l'étude et au calcul des éléments résistants d'un bâtiment (R+6) à usage de salles d'archives et centre de documentation (groupe d'usage 2). Ce bâtiment sera implanté à Hydra (Algier), classé par le CTC comme région de moyenne sismicité.

Longueur totale du bâtiment : 30,17 m (entre murs extérieurs)

Largue totale du bâtiment : 14,05 m (entre murs extérieurs)

Hauteur totale du bâtiment : 26,98 m (acrotère comprise)

Profondeur de travail du sol : La contrainte admissible du sol est de 2,5 kg/cm² à 1,80 m d'ancrage.

Béton armé : Le béton utilisé dans la construction de cet ouvrage sera conforme aux règles techniques de conception et de calcul de ouvrages et constructions en béton armé (CCBA 68), ainsi qu'à tous les règlements en vigueur applicables en ALGERIE (RPA 81, ...).

Aciers : Nous utilisons de l'acier doux, des aciers à haute adhérence. L'acier sera propre et débarrassé de toutes traces de rouille non adhérente, de peinture et de graisse.

Ossature : Le bâtiment est contreventé par des portiques auto-stables, dont huit transversaux et quatre longitudinaux.

Planchers : Les planchers seront constitués par des dalles pleines reposant sur les poutres. L'épaisseur est de 16 cm. Le plancher terrasse aura une isolation hydrofuge et thermique, ainsi qu'une forme de pente facilitant l'évacuation des eaux pluviales.

Escaliers : On a deux types d'escaliers : escaliers intérieurs et escaliers extérieurs. Les escaliers intérieurs s'appuient sur les poutres au niveau de l'étage et sur une poutre palier à mi-étage.

Mécannerie :

- * Murs extérieurs à double cloison d'épaisseur 25 cm avec vide d'air de 5 cm.
- * Murs intérieurs cloisons de séparation en brique creuse de 10 cm d'épaisseur.
- * Murs de la cage d'escaliers cloison en brique creuse de 15 cm d'épaisseur.

Revêtement : carrelage pour les salles, céramique pour les salles d'eau.

Notre bâtiment comporte deux ascenseurs de cinq personnes chacune.

Caractéristiques mécaniques des matériaux.

Béton:

Le béton utilisé doit être conforme aux règles du CCB & G 3, ainsi qu'à tous les règlements en vigueur en Algérie.

Un mètre cube de béton aura la composition suivante :

- 350 kg de ciment CPA 325
- 800 litres de gravillons de grosseur $C_g = 5/15$
- 400 litres de sable propre $D_s \leq 5 \text{ mm}$.
- 175 litres d'eau.
- Contrôle atténué.

Le béton aura comme résistance à 28 jours :

- résistance nominale de compression $\bar{\sigma}_{28}' = \alpha f_{ckm} = 275 \text{ Kg/cm}^2$
- résistance nominale à la traction: $\bar{\sigma}_{28} = f + 0,06 \bar{\sigma}_{28}' = 23,2 \text{ bars}$
 $= 23,6 \text{ Vig/cm}^2$

Contrainte de compression admissible: $\bar{\sigma}_s' = f' \cdot \bar{\sigma}_{28}'$

$$\text{avec } f' = \alpha \cdot \beta \cdot \gamma \cdot \delta \cdot \varepsilon$$

$\alpha, \beta, \gamma, \delta, \varepsilon$: sont des coefficients qui tiennent compte des diverses influences qui agissent sur la sécurité.

α : dépend de la classe du ciment utilisé (CPA 325, $\alpha = 1$)

β : dépend de l'efficacité du contrôle exercé sur la qualité du béton mis en œuvre (pour un contrôle atténué $\beta = 5/6$)

γ : dépend des épaisseurs relatives des éléments et des dimensions des granulats ($h_m > 4 C_g \rightarrow \gamma = 1$)

δ : dépend de la nature des sollicitations :

$\delta = 0,3$: en compression simple

$\delta = 0,6$: en flexion simple

Dans le cas de la flexion simple : $\delta = 0,6$ si l'effort négatif est une traction; et $\delta = \left\{ \begin{array}{l} 0,3 \left(1 + \frac{\epsilon_0}{\epsilon_{c1}} \right) \text{ si } \delta < \delta_0 \\ 0,60 \text{ si } \delta > 0,60 \end{array} \right.$

l'effort normal est une compression.

avec : la : exentricité de la résultante des forces extérieures par rapport au centre de gravité du béton tel.

es : Distance de la limite du moyen central au centre de gravité de la section du béton seul dans le plan de l'assaut par le centre de pression.

Quand il s'agira d'une sollicitation pourbérée du 2^e étage
les valeurs de S sont multipliées par 1,5.

E: dépend de la forme de la section et de la sollicitation qui lui est appliquée.

- $E = 1$: une compression simple quelle soit la forme de la section.
 - en flexion simple ou composée: $E = 1$ pour les sections rectangulaire
 $0,5 \leq E \leq 1$ pour les sections en Té.

Valeurs des Contraintes admissibles :

- Compression simple: SP1: $\bar{\sigma}_{b_0}' = 68,75 \text{ kg/cm}^2$ & SP2: $\bar{\sigma}_{b_0}' = 103,13 \text{ kg/cm}^2$
 - Flexion simple on flexion Compose' avec traction:
 $SP1: \bar{\sigma}_b' = 137,52 \text{ kg/cm}^2$; $SP2: \bar{\sigma}_b' = 1,5 \bar{\sigma}_{sp1}' = 206,25 \text{ kg/cm}^2$

Contrainte de traction de référence du béton :

$$\overline{\sigma_{10}} = f \cdot \overline{\sigma_{28}} = \alpha \cdot \beta \cdot \gamma \cdot \delta \cdot \overline{\sigma_{28}} \cdot \underbrace{\begin{cases} \theta = 9019 + 2,1/\zeta_{28}' & \text{sans SP1} \\ \theta = 1,5(9019 + 2,1/\zeta_{28}') & \text{sans SP2} \end{cases}}$$

$$\bar{J}_b = 5,9 \text{ kg/m}^2 \text{ (SL1)} ; \quad \bar{J}_b = 8,85 \text{ kg/m}^2 \text{ (SL2).} \quad (5'28 \text{ en bras})$$

ACIER : On utilisera 3 catégories d'acier :

ADx ; HA; Et treille's sonde

a/ acier doux - ADx nuance Fe E 14.

limite d'élasticité nominale : $\sigma_{en} = 2350 \text{ bars} = 2400 \text{ kg/cm}^2$

Contrainte admissible : Sp1 : $\bar{\sigma}_a = \frac{2}{3} \sigma_{en} = 1600 \text{ kg/cm}^2$

Sp2 : $\bar{\sigma}_a = \sigma_{en} = 2400 \text{ kg/cm}^2$

b/ acier à haute adhérence - HA . nuance Fe E 40 :

$\sigma_{en} : 4120 \text{ bars} = 4200 \text{ kg/cm}^2 \text{ si } \phi \leq 6 \text{ mm}$ { sans Sp1 } $\bar{\sigma}_a = \frac{2}{3} \sigma_{en}$

$\sigma_{en} : 3920 \text{ bars} = 4000 \text{ kg/cm}^2 \text{ si } \phi > 6 \text{ mm}$ { sans Sp2 } $\bar{\sigma}_a = \sigma_{en}$

c/ treillis soudés :

$\phi \leq 6 \text{ mm} \quad \sigma_{en} = 5200 \text{ bars} = 5300 \text{ kg/cm}^2 ; \bar{\sigma}_{a_{sp1}} = 3533 \text{ kg/cm}^2 ; \bar{\sigma}_{a_{sp2}} = 5300 \text{ kg/cm}^2$

$\phi > 6 \text{ mm} \quad \sigma_{en} = 4410 \text{ bars} = 4500 \text{ kg/cm}^2 ; \bar{\sigma}_{a_{sp1}} = 3000 \text{ kg/cm}^2 ; \bar{\sigma}_{a_{sp2}} = 4500 \text{ kg/cm}^2$

Contrainte admissible de non fissuration CCB4 Art 49

σ_1 : Contrainte de fissuration symétrique.

σ_2 : Contrainte de fissuration accèsuelle.

ϕ : Diamètre de la plus grosse barre (en mm).

γ : Coefficient de fissuration des aciers { $\gamma = 1$. ADx
 $\gamma = 1,6$. HA }

$\bar{\sigma}_a = \min \left\{ \frac{2}{3} \sigma_{en} ; \max(\sigma_1, \sigma_2) \right\}$

avec $\sigma_1 = K \cdot \frac{\gamma}{\phi} \frac{\bar{w}_f}{1 + 10\bar{w}_f}$ et $\sigma_2 = 2,4 \sqrt{\frac{\gamma \cdot K \cdot \sigma_{en}}{\phi}}$

K : Coefficient dépendant du type de fissuration.

$K = \begin{cases} 0,5 \cdot 10^6 & \text{fissuration très visible} \\ 1 \cdot 10^6 & \text{fissuration préjudiciable} \\ 1,5 \cdot 10^6 & \text{fissuration peu préjudiciable} \end{cases}$

\bar{w}_f : Pourcentage de fissuration:

$$\bar{w}_f = \frac{A}{B_f} = \frac{\text{Section d'armature tendues}}{\text{Section du béton relative à l'enrobage des barres tendues}}$$

Évaluation des Charges et Surcharge.

Plancher terrasse :

- Protection gravillen (4cm) - - - - - 80 Kg/m²
- étanchéité multicouche - - - - - 12 -
- joint de fonctionnement
- forme de Pente 1/5% (7cm) - - - - - 20
- feuille de Polyam - - - - - 5
- isolation thermique (5cm) - - - - - 15
- dalle pleine (16cm) - - - - - 400
- enduit platre (2,5cm) - - - - - 20

Charge permanente : $G = 757 \text{ kg/m}^2$

Surcharge d'exploitation : $P = 100 \text{ kg/m}^2$

Etage courant :

- carrelage fl. up - - - - - 44 kg/m²
- mortier de base (2cm) - - - - - 40 -
- sable (2cm) - - - - - 34 -
- dalle pleine (16cm) - - - - - 400 -
- enduit platre - - - - - 20 -
- cloisons légères - - - - - 75 -

Charge permanente $G = 618 \text{ kg/m}^2$

Surcharge d'exploitation 500 kg/m^2

Cloison lourde des façades.

- briques creuses de 15cm - - 220 kg/m²
- Briques creuses de 5cm - - 90.
- platre + enduit ciment - - - 50 .

$G = 360 \text{ kg/m}^2$

en considérant 40% d'ouverture, le point des murs devient $G = 217$

PREDIMENTIONNEMENT

Poutres : on a d'après P. CHARON (P. 364) : $\frac{h_t}{15} \leq h_t \leq \frac{l}{10}$
 h_t : hauteur de la poutre.
 l : la plus grande portée de travée dans la direction considérée.

Sens longitudinal : $l = 4,52\text{m}$

Sens transversal : $l = 5,40$

donc $\frac{540}{15} \leq h_t \leq \frac{540}{10} \Rightarrow 36 \leq h_t \leq 54$; on prend $h_t = 50\text{cm}$

b : largeur de la poutre.

Le RPA 81 préconise que $\begin{cases} b > 20\text{cm} \text{ en zone II} \\ \frac{h_t}{B} \leq 3 \end{cases}$

donc $b > \frac{h_t}{3} = 16,67\text{cm}$ et $b \leq 3 h_t = 150\text{cm}$
 on prend $b = 30\text{cm}$.

Dans les deux sens du bâtiment on prend : $h_t = 50\text{cm}$; $b = 30\text{cm}$

poteaux : Les poteaux seront dimensionnés suivant la formule : $A_{\text{pot}} \geq k^N$ donnée par le RPA 81.

avec $k = 4$ en zone II; N : effort normal.

Après avoir fait une descente de charge, on adopte pour les poteaux une section carré : $(45 \times 45)\text{ cm}^2$

Les 3 conditions du RPA 81 sont vérifiées :

. $A \geq k^N$

$5^{\prime}28$

. $\min(b, h) \geq 25\text{cm}$ en zone II

. $\min(b, h) \geq \frac{H}{20} = 20$; H : hauteur d'étage.

. $\frac{1}{3} \leq \frac{b}{h} \leq 3$.



CALCUL DES ELEMENTS

Calcul de l'acrotière.

L'acrotière est assimilable à une console encastrée dans le plancher. au niveau de la section d'enca斯特ement qui est donc la section dangereuse, on distingue les effets suivants : Lois propres : $G = 2500 \cdot 1 \cdot 0,70 \cdot 0,15 = 262,5 \text{ kg/mel}$

Surcharge : $\bar{P} = 100 \text{ kg/mel}$

en tenant compte de la ponderation, on obtient : $1,2 \bar{P} = 120 \text{ kg/mel}$.

On fera le calcul pour un metre d'acrotière, le moment produit dans la section dangereuse par la charge $1,2 \bar{P}$ est :

$$M = 1,2 \bar{P} \cdot h = 120 \cdot 0,7 = 84 \text{ kg.m/mel}$$

le calcul se fera en flexion composite.

- Centre de pression : $e = \frac{M}{N} = \frac{84}{262,5} = 0,32 \text{ m} > h_r = 0,05 \text{ m}$

la section étant partiellement comprimée. On utilise la méthode du moment fictif (Lierre Charon).

- L'ouvrage étant exposé aux intempéries, on prendra un enduit $d = 2 \text{ cm}$.

$$\Omega_b = M + N \left(\frac{h_r}{2} - d \right) = M e = 262,5 \cdot 37,5 = 9843,5 \text{ kg.cm/mel}$$

calcul en flexion simple :

$$N = \frac{\Omega_b}{\bar{\sigma}_a \cdot b \cdot h^2} = \frac{15 \cdot 9843,5}{2800 \cdot 100 \cdot 13^2} = 0,00312 \Rightarrow \begin{cases} E = 0,9744 \\ K = 180 \end{cases}$$

$$\text{d'où } \Omega_b' = \frac{\bar{\sigma}_a}{K} = 15,55 < \bar{\Omega}_b' \Rightarrow \text{pas d'acier comprimé}$$

$$\text{d'où } A_1 = \frac{\Omega_b}{\bar{\sigma}_a \cdot E \cdot K} = \frac{15 \cdot 9844}{2800 \cdot 100 \cdot 13^2} = 0,28 \text{ cm}^2$$

calcul en flexion composite

$$A = A_1 - \frac{N}{\bar{\sigma}_a} = 0,28 - \frac{262,5}{2800} = 0,19 \text{ cm}^2$$

la section calculée étant très faible, on adoptera une armature minimale imposée par la condition de non fragilité (Art 52. CCBA 68)

$$A \geq 0,69 \cdot b \cdot h \cdot \frac{\bar{\sigma}_b}{\bar{\sigma}_{en}} = 0,69 \cdot 100 \cdot 13 \cdot \frac{5,9}{4700} = 1,26 \text{ cm}^2$$

On prendra donc 5 T6/mel . $A = 1,41 \text{ cm}^2$.

L'espace entre les armatures sera donc : $t = \frac{100}{5} = 20 \text{ cm}$
en plus des armatures calculées on prévoit aussi des armatures de peau dans le sens transversal.

Vérification de la dissertation :

$$w_1 = \frac{A}{P_{\text{ref}}} = \frac{1.41}{100.4} = 0.0135$$

It is also fascination preferable.

$$M = 1.6 \text{ H.A.}$$

$$\phi = 0 \text{ mm}.$$

$$\frac{dI}{dz} = k \frac{m}{\phi} \cdot \frac{w_t}{1 + m w_t} = g_0 L \tan = g_0 L K_F / w^2$$

$$T_2 = 2.4 \sqrt{\frac{K_1}{\phi} \cdot \bar{G}_0} = 3010 \text{ hours} = 3070 \text{ kg/m}^2$$

$$W_{AX}(\sigma_1; \sigma_2) = 3070 \text{ kg/m}^2 > \bar{\sigma_a} = 2800 \text{ kg/m}^2$$

Once it is you joins she risque de frustration.

Vérification au séisme

Sur l'action de tirage, l'acrotie est soumise à l'action de la force horizontale : $F_x = Z \cdot I \cdot c_p \cdot w_p$ (Art 33.9 RERA81)

Wt. Poids propre de l'acétine : 262.5 kg/ale

$Z = \text{valeur du coefficient pour le groupe d'usage des hantines}$.

$$Z = 0.15 / 0.25 = 0.6$$

$$T = \frac{\text{Valeur du coefficient A pour le groupe d'usage du bâtiment}}{0,15} = \frac{0,15}{0,15} = 1$$

$C_L = \text{factor bei freier Röhrenzelle} = 0,8$ (siehe Seite 50 Tabelle 4 RPAB1)

d'au la force bison' que l'on

$$F_0 = 0.6 \cdot 1 \cdot 0.8 \cdot 162.5 = 126 \text{ Vg/ml} < 1.2 \text{ E}$$

la valeur de F_p est inférieure à 1.2 qui est plus défavorable, donc l'acrotère est victime au séisme.

CALCUL DES PLANCHERS

Tous les planchers sont en dalle plane reposant sur les poutres. Les calculs des panneaux se fera sous la sollicitation du premier genre : $G + 1,2 P$.

Epaisseur de la dalle : e .

$$\left\{ \begin{array}{l} \frac{l}{40} \leq e \leq \frac{l}{30} \\ \text{avec } l \geq 16 \text{ cm bonne isolation acoustique.} \end{array} \right.$$

$$l = 4,22 \text{ m} \Rightarrow 10,55 \leq e \leq 14,04 \text{ cm.}$$

on prend $e = 16 \text{ cm}$.

Plancher terrasse : Tous les panneaux reposent sur 4 côtés. on détermine les efforts dans la dalle par la méthode du CCBA 68.

On pourra étudier un seul panneau, le plus sollicité, et puis nous adopterons le même ferrailage pour les autres panneaux.

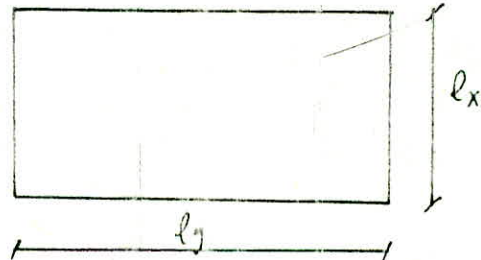
$$G = 457 \text{ kg/m}^2; P = 100 \text{ kg/m}^2.$$

$$q(G + 1,2P) = 877 \text{ kg/m}^2.$$

Les dimensions du panneau sont : $l_x = 4,22 \text{ m}$

$$l_y = 5,1 \text{ m.}$$

$$f = \frac{l_x}{l_y} = \frac{4,22}{5,1} = 0,83 > 0,4.$$



$$M_{ox} = \mu_x \cdot q \cdot l_x^2; M_{oy} = \mu_y \cdot M_{ox}; T_x = \frac{q l_x}{2} \frac{1}{1+f/2}; T_y = \frac{q l_x}{3}$$

Les valeurs de μ_x et μ_y sont tabulées dans CCBA 68. Elles sont données en fonction de f .

A près interpolation, on trouve : $\mu_x = 0,0583; \mu_y = 0,728$

$$M_{ox} = 0,0583 \cdot 877 \cdot (4,22)^2 = 910,53 \text{ kg.m.}$$

$$M_{oy} = 0,728 \cdot 910,53 = 662,86 \text{ kg.m}$$

$$T_x = 1304,75 \text{ kg; } T_y = 1233,65 \text{ kg.}$$

Répartition hyperstatique

- En travée : $M_{x_0} = 0,85 \cdot M_{x_0} = 0,85 \cdot 910,53 = 773,95 \text{ kg.m.}$
 $M_{y_0} = 0,85 \cdot M_{y_0} = 0,85 \cdot 662,86 = 563,43 \text{ kg.m.}$

- Sur appui : $M_{xa} = 0,5 \cdot M_{x_0} = 0,5 \cdot 910,53 = 455,27 \text{ kg.m}$
 $M_{ya} = 0,5 \cdot M_{y_0} = 0,5 \cdot 662,86 = 331,43 \text{ kg.m}$

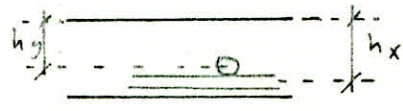
Détermination des armatures : Le calcul se fait par la méthode de Pierre charon.

$$h_t = 16 \text{ cm}.$$

Le diamètre des armatures doit vérifier : $\phi \leq \frac{h_t}{10} = 16 \text{ mm}$
on ferraille avec des T6.

La section de calcul, pour le béton, est rectangulaire
 $(b, h_t) = (100, 16)$.

Les hauteurs utiles :



$$h_x = h_t - \frac{\phi}{2} - 2 \text{ cm} = 13,7 \text{ cm} ; h_y = h_x - \phi = 13,1 \text{ cm}.$$

Armatures suivant h_x

- en travée : $M = 443,95 \text{ kg.m}$; $h_x = 13,7 \text{ cm}$.

$$\mu = \frac{15M}{\bar{\sigma}_a \cdot b \cdot h^2} = \frac{15 \cdot 443,95}{2800 \cdot 100 \cdot (13,7)^2} = 0,0221 \rightarrow \begin{cases} k = 61,5 \\ \varepsilon = 0,9346 \end{cases}$$

$$\bar{\sigma}'_b = \frac{\bar{\sigma}_a}{k} = \frac{2800}{61,5} = 45,53 \text{ kg/cm}^2 < \bar{\sigma}'_b = 137 \text{ kg/cm}^2.$$

Les aciers comprimés ne sont pas nécessaires.

$$\text{Aciers tendus : } A = \frac{M}{\bar{\sigma}_a \cdot \varepsilon \cdot h_x} = \frac{443,95}{2800 \cdot 0,9346 \cdot 13,7} = 2,16 \text{ cm}^2$$

$$\text{Soit } 8 \text{ T6/ml} \quad A = 2,26 \text{ cm}^2$$

- sur appui : $M = 455,27 \text{ kg.m}$.

$$\mu = \frac{15M}{\bar{\sigma}_a \cdot b \cdot h_x^2} = \frac{15 \cdot 455,27}{2800 \cdot 100 \cdot 13,7} = 0,0130 \quad \begin{cases} k = 83,5 \\ \varepsilon = 0,9492 \end{cases}$$

$$\bar{\sigma}'_b = \frac{\bar{\sigma}_a}{k} = \frac{2800}{83,5} = 33,53 \text{ kg/cm}^2 < \bar{\sigma}'_b \Rightarrow A' = 0.$$

$$\text{Aciers tendus. } A = \frac{M}{\bar{\sigma}_a \cdot \varepsilon \cdot h_x} = \frac{455,27}{2800 \cdot 0,9492 \cdot 13,7} = 1,25 \text{ cm}^2$$

$$\text{Soit } 5 \text{ T6/ml} \Rightarrow A = 1,41 \text{ cm}^2$$

Armatures suivant h_y

- en travée : $M = 563,43 \text{ kg.m}$ $h_y = 13,1 \text{ cm}$

$$\mu = \frac{15M}{\bar{\sigma}_a \cdot b \cdot h_y^2} = \frac{15 \cdot 563,43}{2800 \cdot 100 \cdot 13,1^2} = 0,0176 \rightarrow \begin{cases} k = 70,5 \\ \varepsilon = 0,9415 \end{cases}$$

$$\bar{\sigma}'_b = \frac{\bar{\sigma}_a}{k} = \frac{2800}{70,5} = 39,72 \text{ kg/cm}^2 < \bar{\sigma}'_b \Rightarrow A' = 0$$

$$\text{Aciers tendus : } A = \frac{M}{\bar{\sigma}_a \cdot \varepsilon \cdot h} = \frac{563,43}{2800 \cdot 0,9415 \cdot 13,1} = 1,63 \text{ cm}^2$$

$$\text{Soit } 6 \text{ T6/ml} \rightarrow A = 1,70 \text{ cm}^2$$

- sur appui : $M = 331,43 \text{ kg.m}$.

$$\mu = \frac{15M}{\bar{\sigma}_a \cdot b \cdot h_y^2} = \frac{15 \cdot 331,43}{2800 \cdot 100 \cdot (13,1)^2} = 0,0101 \rightarrow \begin{cases} k = 84,5 \\ \varepsilon = 0,9543 \end{cases}$$

$$\bar{\sigma}'_b < \bar{\sigma}'_b \Rightarrow A' = 0$$

$$A = \frac{331,43}{2800 \cdot 0,9543 \cdot 13,1} = 0,95 \text{ cm}^2 \quad \text{Soit } 4 \text{ T6/ml} \rightarrow A = 1,13 \text{ cm}^2$$

Armatures dans le sens longitudinal du bâtiment

	M kgm	$\bar{\omega}$ %	E	K	σ'_b kg/cm ²	σ_a kg/cm ²	A cm ²	A_{min}	A choisi	Nbre/ m	t (cm)	\bar{E} (cm)
brasée	133,95	0,173	0,932	58,5	45,85	39,29	2,16	2,26	2,26	8T6/m	14	33
extérieure	165,72	0,103	0,9462	78	31,93	24,90	1,25	1,41	1,41	5T6/m	25	33

avec $\bar{\omega} = \frac{100A}{b \cdot h}$ $\sigma_a = \frac{M}{A \cdot E \cdot h}$ $\sigma'_b = \frac{\sigma_a}{K}$

$\bar{E} \leq 3h$ et 33 cm .

Armatures dans le sens transversal du bâtiment

	M	$\bar{\omega}$	E	K	σ'_b	σ_a	A cal	A_{min}	A choisi	Nbre/ m	t	\bar{E}
brasée	561,43	0,130	0,9401	68,5	39,29	24,90	1,63	1,70	1,70	6T6/m	20	45
extérieure	331,43	0,0863	0,9505	86	27,39	21,55	0,95	1,13	1,13	4T6/m	30	45

$\bar{E} \leq 4h$ et 45 cm .

* vérification de la condition de non fragilité.

suivant l_x : $A \geq 0,69 \cdot b \cdot h \cdot \frac{\bar{\sigma}_b}{\sigma_{en}} (2-\beta) \frac{1}{2} =$

$$0,69 \cdot b \cdot h \cdot \frac{\bar{\sigma}_b}{\sigma_{en}} (2-\beta) \frac{1}{2} = 0,69 \cdot 100 \cdot 13,7 \cdot \frac{5,9}{4200} (2 - 0,83) \frac{1}{2} = 0,113 \text{ cm}^2$$

(vérifiée)

suivant l_y :

$$A \geq 0,69 \cdot b \cdot h \cdot \frac{\bar{\sigma}_b}{\sigma_{en}} \frac{(1+\beta)}{4} = 0,69 \cdot 100 \cdot 13,1 \cdot \frac{5,9}{4200} \frac{(1+0,83)}{4} = 0,58 \text{ cm}^2$$

(vérifié)

vérification de la fissuration

$$\sigma_1 = \frac{\kappa m}{\phi} \frac{\bar{\omega}^2}{(1+10\bar{\omega}^2)} \quad \sigma_2 = 2,4 \sqrt{\frac{\kappa m \bar{\sigma}_b}{\phi}}$$

$$\phi = 6 \text{ mm}; \quad \kappa = 1,5 \cdot 10^6 \quad (\text{fissuration peu visible})$$

$$\eta = 1,6 \quad \text{Acier H.A.}$$

suivant l_x : $A = 2,26 \text{ cm}^2$.

$$\bar{\omega}_f = \frac{A}{b \cdot 2 \cdot d} = \frac{2,26}{100 \cdot 2 \cdot 2} = 5,65 \cdot 10^{-3}$$

$$\sigma_1 = \frac{1,5 \cdot 10^6 \cdot 1,6}{6} \frac{5,65 \cdot 10^{-3}}{1 + 5,65 \cdot 10^{-2}} = 2139,14 \text{ kg/cm}^2$$

$$\sigma_2 = 2,4 \sqrt{\frac{45 \cdot 10^6 \cdot 1,6 \cdot 5,9}{6}} = 3686,95 \text{ kg/cm}^2$$

$\max(\sigma_1, \sigma_2) = \sigma_2 = 3686,95 \text{ kg/cm}^2 > \bar{\sigma}_a = 2800 \text{ kg/cm}^2$ (vérifié)

Suivant l'y $A = 1,70 \text{ cm}^2$; $\bar{\omega}_p = 4,25 \cdot 10^3$

$$\sigma_1 = \frac{45 \cdot 10^6 \cdot 1,6}{6} \cdot \frac{4,25 \cdot 10^3}{1 + 4,25 \cdot 10^3} = 1630,4 \text{ kg/cm}^2$$

$$\sigma_2 = 2,4 \sqrt{\frac{45 \cdot 10^6 \cdot 1,6 \cdot 5,9}{6}} = 3686,95 \text{ kg/cm}^2$$

(vérifié.)

vérification de l'effort tranchant : $T_x = 1304,75 \text{ kg}$;
 $T_y = 1233,65 \text{ kg}$.

$$\bar{\tau}_{bx} = \frac{T_x}{b \cdot \delta_x} = \frac{1304,75}{100 \cdot \frac{7}{8} \cdot 13,7} = 1,09 \text{ kg/cm}^3 < \bar{\tau}_b = 1,15 \quad \bar{\sigma}_b = 6,79 \text{ kg/cm}^2$$

$$\bar{\tau}_{by} = \frac{T_y}{b \cdot \delta_y} = \frac{1233,65}{100 \cdot \frac{7}{8} \cdot 13,7} = 1,08 \text{ kg/cm}^3 < \bar{\tau}_b = 6,79 \text{ kg/cm}^2$$

vérification de la flèche.

La flèche totale est donnée par : $f_t = f_1 + f_2 \leq \bar{f} = \frac{l}{500}$

$$f_1 = f_{gao} \quad ; \quad f_2 = f_{g_o} - f_{g_o}$$

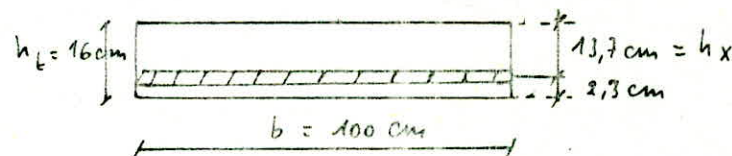
- M_a : moment dû aux charges totales (G et P).
- M_g : moment dû aux charges d'exploitation.

$$M_a = 0,85(M_{g_x} + M_{p_x})$$

$$M_{g_x} = 0,0583 \cdot 7,57 \cdot 4,22^2 = 785,94 \text{ kg.m}$$

$$M_{p_x} = 0,0583 \cdot 100 \cdot 4,22^2 = 103,82 \text{ kg.m}$$

$$M_a = 756,3 \text{ kg.m} ; \quad M_g = 668,05 \text{ kg.m}$$



moment d'inertie total : I_t .

$$\text{centre de gravité} : y_G = \frac{8 \cdot 100 \cdot 16 + 15 \cdot 2,26 \cdot 2,3}{16 \cdot 100 + 2,26 \cdot 15} = 7,88 \text{ cm}$$

$$I_t = \frac{100 \cdot 16^3}{12} + 100 \cdot 16 (8 - 7,88)^2 + 15 \cdot 2,26 (7,88 - 2,3)^2$$

$$I_t = 35211,9 \text{ cm}^4$$

valeurs de μ et λ

a/ charges de faible durée d'application

$$d_i = \frac{\bar{\sigma}_b}{72(2 + 3 \frac{b_o}{b}) \bar{\omega}} \quad \bar{\omega} = \frac{A}{b \cdot h} = \frac{2126}{100 \cdot 13,7} = 1,65 \cdot 10^{-3}$$

$$d_i = \frac{5,9}{42,5 \cdot 1,65 \cdot 10^{-3}} = 9,93$$

b/ charges de longue durée d'application.

$$\Delta \mu = \frac{d_i}{2,5} = \frac{9,93}{2,5} = 3,97$$

c/ charge totale q.

$$\delta_a = \frac{M_a}{3 \cdot A} = \frac{756,3 \cdot 10^2}{77 \cdot 13,7 \cdot 2,26} = 2791,62 \text{ kp/cm}^2$$

$$\mu = 1 - \frac{5 \bar{\sigma}_b}{4 \bar{\omega} \delta_a + 3 \bar{\sigma}_b} = 1 - \frac{5 \cdot 5,9}{4 \cdot 1,65 \cdot 10^{-3} \cdot 2791,62 + 3 \cdot 5,9} = 0,18$$

$$\mu = 0,18$$

d/ charge permanente q.

$$\delta_a = \frac{M_p}{3 \cdot A} = \frac{668,05 \cdot 10^2}{77 \cdot 13,7 \cdot 2,26} = 2465,88 \text{ kp/cm}^2$$

$$\mu = 1 - \frac{5 \cdot 5,9}{4 \cdot 1,65 \cdot 10^{-3} \cdot 2465,88 + 3 \cdot 5,9} = 0,13$$

Calcul de $f_{g_{\infty}}$: $f_{g_{\infty}} = \frac{M_g \cdot l^2}{10 E_i \cdot I_{f_i}}$ avec $I_{f_i} = \frac{I_e}{1 + d_i \mu}$

$$I_{f_i} = \frac{35211,9}{1 + 3,97 \cdot 0,13} = 23225,32 \text{ cm}^4$$

$$f_{g_{\infty}} = \frac{668,05 \cdot 10^2 \cdot 422^2}{10 \cdot 1,26 \cdot 10^5 \cdot 23225,32} = 0,41 \text{ cm.}$$

Calcul de f_{g_0} : $f_{g_0} = \frac{M_g \cdot l^2}{10 E_i \cdot I_{f_i}}$ avec $I_{f_i} = \frac{I_e}{1 + d_i \mu}$

$$I_{f_i} = \frac{35211,9}{1 + 9,93 \cdot 0,13} = 15370,34 \text{ cm}^4$$

$$f_{g_0} = \frac{668,05 \cdot 10^2 \cdot 422^2}{10 \cdot 3,78 \cdot 10^5 \cdot 15370,34} = 0,2 \text{ cm.}$$

Calcul de f_{q_0} : $f_{q_0} = \frac{M_a \cdot l^2}{10 E_i \cdot I_{f_i}}$ avec $I_{f_i} = \frac{I_e}{1 + d_i \mu}$

$$I_{f_i} = \frac{35211,9}{1 + 9,93 \cdot 0,13} = 12632,53 \text{ cm}^4$$

$$f_{q_0} = \frac{756,3 \cdot 10^2 \cdot 422^2}{10 \cdot 3,78 \cdot 10^5 \cdot 12632,53} = 0,28 \text{ cm.}$$

flèche totale :

$$\delta_t = 0,41 + (0,28 - 0,2) = 0,49 \text{ cm} \quad \bar{f} = \frac{422}{500} = 0,84 \text{ cm}$$

(vérifiée).

Plancher RDC et plancher étage courant

Les mêmes types de calculs seront fait, on ne renseigne le calcul dans les tableaux qui suivent.
Toutes les vérifications sont faites.

sous longitudinal

M kg/m	$\bar{\omega}$ %	ε	K	σ_b^t kg/cm ²	σ_a kg/cm ²	Acal.	Amin	Ach.	Nb/ m	t	E
1024,88	0,258	0,9381	46,8	52,35	2449,92	3,05	3,51	3,51	7T8	15	33
632,28	0,148	0,9367	64	38,58	2465,3	1,71	2,01	2,01	4T8	30	33

gravier
appui

Sous transversal

M	$\bar{\omega}$	ε	K	σ_b^t	σ_a	Acal.	Amin	Ach.	Nb/ m	t	E
813,68	0,196	0,9281	54,5	50,07	2428,92	2,44	2,51	2,51	5T8	25	45
478,64	0,157	0,9351	62	19,25	1193,69	1,41	1,5	2,01	4T8	30	45

gravier
appui

Vérification du poinçonnement

La résistance au poinçonnement d'une dalle est très élevée. Le règlement CEB46 P impose que l'on ait :

$$1,5 \varphi \leq 1,2 \bar{\sigma}_b$$

$\bar{\sigma}_b = 5,9 \text{ kg/cm}^2$; $h_b = 16 \text{ cm}$; épaisseur du revêtement = 6 cm
on cherche la charge Q appliquée sur un impact de $(10 \times 10) \text{ cm}^2$

$$P_c = 4 \left(10 + 2 \left(\frac{16+6}{2} \right) \right) = 152 \text{ cm}^2$$

$$\varphi \leq \frac{P_c \cdot h_b \cdot 1,2 \bar{\sigma}_b}{1,5} = \frac{152 \cdot 16 \cdot 1,2 \cdot 5}{1,5} = 11,48 \text{ t.}$$

$$Q \leq 11,48 \text{ t.}$$

On n'a pas si vraiment le poinçonnement dans la dalle.

NB : En cas de présence d'ouvertures dans les dalles il faut disposer des barres de renfort sur les contours de l'ouverture.

ESCALIERS

Notre bâtiment comporte deux types d'escaliers.

* Escaliers intérieurs: Ils sont à paillasse(s) adjacentes avec un palier intermédiaire situé à mi-étage.

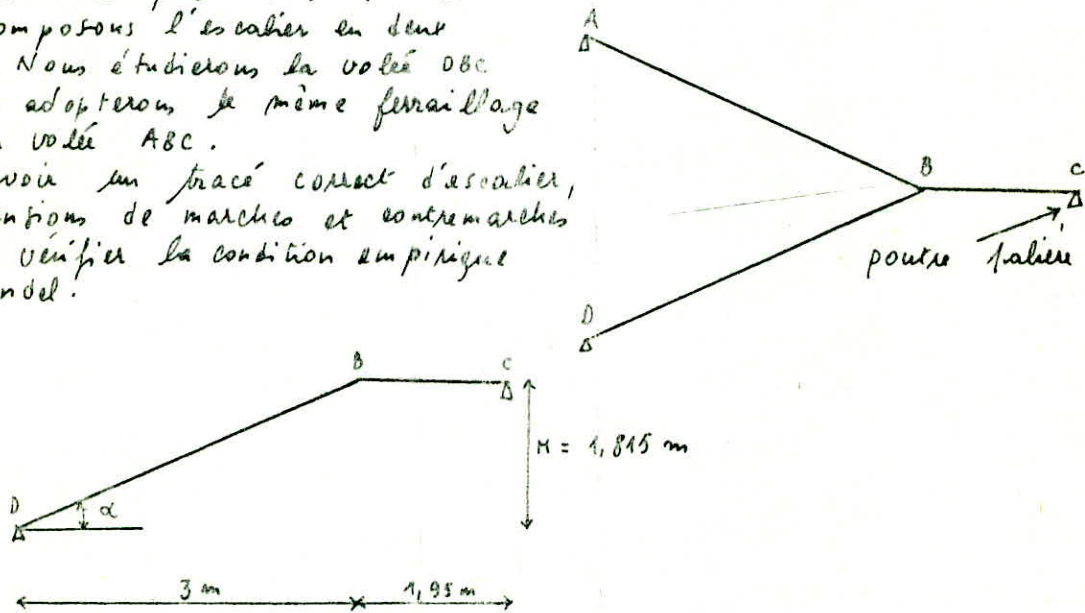
* Escaliers extérieurs: Ils sont à paillasse simple avec un palier situé au niveau du rez-de-chaussée.

Escalier intérieur de l'étage courant

Le schéma adopté est le suivant :

Nous décomposons l'escalier en deux parties. Nous étudierons la volée DBC et nous adopterons le même ferrailage pour la volée ABC.

Pour avoir un tracé correct d'escalier, les dimensions de marches et contremarches doivent vérifier la condition empirique de Blondel.



$$\lg \alpha = \frac{1,815}{3} = 0,605 \Rightarrow \alpha = 31,17^\circ$$

$$h = \frac{1,815 \cdot 10^2}{11} = 16,5 \text{ cm} \quad (11 \text{ contremarches})$$

$$g = \frac{300}{10} = 30 \text{ cm} \quad (10 \text{ marches})$$

Condition de Blondel : $\begin{cases} g > h \\ 59 \leq g + 2h \leq 64 \end{cases}$

$$g + 2h = 30 + 2(16,5) = 63$$

Donc la condition de Blondel est vérifiée.

Détermination de l'épaisseur de la paillasse et du palier :

$$\frac{L}{30} \leq e \leq \frac{L}{20} \quad \text{avec } L = L_{DB} + L_{BC}$$

$$L_{BC} = 1,95 \text{ m} ; \quad L_{DB} = \frac{3}{\cos \alpha} = 3,51 \text{ m} \Rightarrow L = 5,46 \text{ m}.$$

$$18,25 \leq e \leq 27,38 \text{ cm} \quad \text{on prend } e = 20 \text{ cm}.$$

Evaluation des charges et surcharges.

1/ paillasse

- Dalle $\frac{0,120 \times 2500}{\cos \alpha} = 584,36 \text{ kg/m}^2$
 - Poids propre des marches . . . $\frac{0,165 \cdot 2200}{2} = 181,5 \text{ kg/m}^2$
 - Revêtement (2 cm mortier + 2 cm parelage) = 84 kg/m^2
 - garde de corps 50 kg/m^2
charges permanentes $G = 900 \text{ kg/m}^2$
surcharge d'exploitation $P = 400 \text{ kg/m}^2$
 En prenant une bande de 1m de large $\Rightarrow q_2 = 1370 \text{ kg/m l.}$

2/ palier

Dalle :

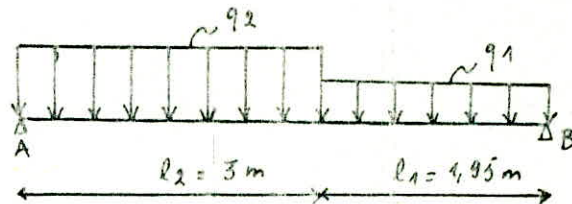
$$2500 \times q_2 = 500 \text{ kg/m}^2$$

Revêtement

$$84 \text{ kg/m}^2$$

Pour une bande de 1m de large, on a : $q_1 = 1064 \text{ kg/m l.}$

Schéma statique :



Détermination des réactions.

$$\sum M/A = 0 \Rightarrow R_B = 2911,58 \text{ kg.}$$

$$\sum F_y = 0 \Rightarrow R_A = 3273,22 \text{ kg}$$

Détermination des efforts.

$$a/ 0 \leq x \leq 3 \quad M(x) = R_A \cdot x - q_2 \cdot \frac{x^2}{2} = 3273,22 \cdot x - 685 \cdot x^2$$

Pour $x=0$ $M(0)=0$ et pour $x=3$ $M(3)=3654,66 \text{ kg.m.}$

$$T(x) = R_A - q_2 \cdot x = 3273,22 - 1370 \cdot x \quad \begin{cases} x=0 & \Rightarrow T(0)=3273,22 \text{ kg} \\ x=3 & \Rightarrow T(3)=-836,78 \text{ kg} \end{cases}$$

b/ $3 \leq x \leq 4,95 \text{ m.}$

$$M(x) = R_A \cdot x - q_1 \cdot \frac{x^2}{2} - (q_2 - q_1) \cdot \frac{3}{2} \cdot (x-3,5) = 1377 + 2355,22 \cdot x - 532 \cdot x^2$$

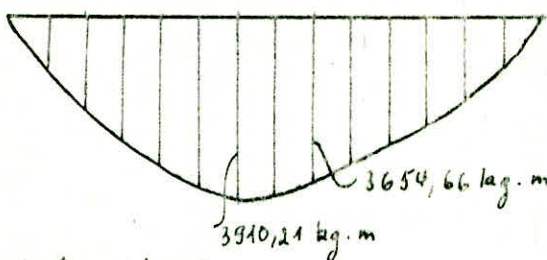
Pour $x=3$, $M(3)=3654,66 \text{ kg}$ et pour $x=4,95 \text{ m.}$; $M(4,95)=0$

$$T(x) = R_A - q_1 \cdot x - (q_2 - q_1) \cdot \frac{3}{2} = 2355,22 - 1064 \cdot x \quad \begin{cases} x=3, & T(3)=-836,78 \text{ kg} \\ x=4,95, & T(4,95)=-2911,58 \text{ kg} \end{cases}$$

Diagrammes du moment fléchissant

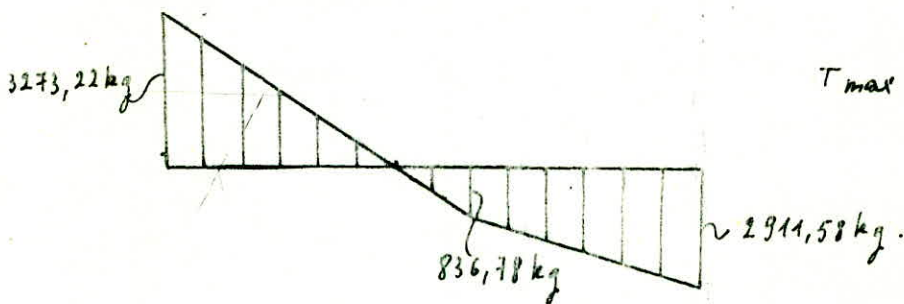
et de l'effort tranchant

a/ Moment fléchissant



$$M_{\max} = 3910,21 \text{ kg.m}$$

b/ Effort tranchant



$$T_{\max} = 3273,22 \text{ kg.}$$

Calcul des armatures

Repartition hydraulique

Moment en travée : $M_t = 0,85 M_o = 0,85 \cdot 3910,21 = 3323,68 \text{ kg.m.}$
 Moment sur appui : $M_a = 0,3 M_o = 0,3 \cdot 3910,21 = 1173,06 \text{ kg.m.}$

Armature en travée $M_t = 3323,68 \text{ kg.m. ; } h = 18 \text{ cm.}$

Le calcul de l'armature se fera par la méthode de Pierre Charnon.

$$\mu = \frac{15 M}{\bar{\delta}_a \cdot b \cdot h^2} = \frac{15 \cdot 3323,68}{2800 \cdot 100 \cdot 18^2} = 0,0550 \Rightarrow \begin{cases} k = 36 \\ \epsilon = 0,9020 \end{cases}$$

Calcul de $\bar{\delta}'_b$: $\bar{\delta}'_b = \frac{\bar{\delta}_a}{k} = \frac{2800}{36} = 74,48 < \bar{\delta}'_b = 137 \text{ kg/cm}^2$

donc les aciers comprimés ne sont pas nécessaires
Aciers tendus : $A = \frac{M}{\bar{\delta}_a \cdot \epsilon \cdot h} = \frac{3323,68}{2800 \cdot 0,9020 \cdot 18} = 7,31 \text{ cm}^2$

on prend 4 T12 $A = 7,92 \text{ cm}^2$

Armatures sur appui : $M_a = 1173,06 \text{ kg.m.}$

$$\mu = \frac{15 M}{\bar{\delta}_a \cdot b \cdot h^2} = \frac{15 \cdot 1173,06}{2800 \cdot 100 \cdot 18^2} = 0,0194 \Rightarrow \begin{cases} k = 66,5 \\ \epsilon = 0,9387 \end{cases}$$

$$A = \frac{M}{\bar{\delta}_a \cdot \epsilon \cdot h} = \frac{1173,06}{2800 \cdot 0,9387 \cdot 18} = 2,48 \text{ cm}^2$$

on prend 4 T10 $A = 3,14 \text{ cm}^2$.

Vérification des contraintes

en travée : $A = 7,92 \text{ cm}^2 ; M_t = 3323,68 \text{ kg.m.}$

$$\bar{\omega} = \frac{100 \cdot A}{b \cdot h} = \frac{100 \cdot 7,92}{100 \cdot 18} = 0,44 \Rightarrow \begin{cases} k = 34,4 \\ \epsilon = 0,8988 \end{cases}$$

$$\sigma_a = \frac{M}{A \cdot E \cdot h} = \frac{332368}{7,92 \cdot 0,8988 \cdot 18} = 2593,93 \text{ kg/cm}^2 < 2800 \text{ kg/cm}^2 = \bar{\sigma}_a$$

$$\sigma'_b = \frac{\sigma_a}{\kappa} = \frac{2593,93}{34,4} = 75,41 \text{ kg/cm}^2 < \bar{\sigma}'_b = 137 \text{ kg/cm}^2$$

sur appui

$$A = 3,14 \text{ cm}^2 ; M_a = 1173,06 \text{ kg.m}$$

$$\bar{\omega} = \frac{100 \cdot A}{b \cdot h} = \frac{100 \cdot 3,14}{100 \cdot 18} = 0,174 \quad \begin{cases} \kappa = 58,5 \\ E = 0,9320 \end{cases}$$

$$\sigma_a = \frac{M}{A \cdot E \cdot h} = \frac{117306}{3,14 \cdot 0,9320 \cdot 18} = 2226,91 \text{ kg/cm}^2 < \bar{\sigma}_a = 2800 \text{ kg/cm}^2$$

$$\sigma'_b = \frac{\sigma_a}{\kappa} = \frac{2226,91}{58,5} = 38,07 \text{ kg/cm}^2 < \bar{\sigma}'_b = 137 \text{ kg/cm}^2$$

Les contraintes sont vérifiées.

Vérification de la condition de non fragilité (CCBA 68, art. 52)

$$A \geq 0,69 \cdot b \cdot h \cdot \bar{\sigma}_b = 0,69 \cdot 100 \cdot 18 \cdot \frac{5,9}{2800} = 1,74 \quad (\text{vérifié})$$

Vérification de la flèche

$$\frac{A}{b \cdot h} < \frac{43}{6 \kappa} ; \frac{A}{b \cdot h} = \frac{7,92}{100 \cdot 18} = 4,4 \cdot 10^{-3} ; \frac{43}{6 \kappa} = 10,24 \cdot 10^{-3} \quad (\text{vérifié})$$

A ciel transversal: $T_{max} = 3273,22 \text{ kg}$.

$$T_{bmax} = \frac{T_{max}}{b \cdot f} = \frac{3273,22}{100 \cdot \frac{7}{8} \cdot 18} = 2,08 \text{ kg/cm}^2 < \bar{\tau}_b = 1,15 \bar{\sigma}_b = 6,79 \text{ kg/cm}^2$$

Les armatures transversales ne sont pas nécessaires ; mais on dispose des armatures constructives.

Vérification de l'effort tranchant

$$A \bar{\sigma}_a \geq T + \frac{q_1}{2} \Rightarrow 3,14 \cdot 2800 \geq 3273,22 - \frac{117306}{7,92 \cdot 18} = - 4174,78 \text{ kg}$$

(vérifié).

Armature de répartition.

$$\frac{A}{4} \leq A_R \leq \frac{A}{3} \quad A_R = 1,01 \text{ cm}^2 \quad 478 / \text{m.l.}$$

Calcul de la poutre sablière:

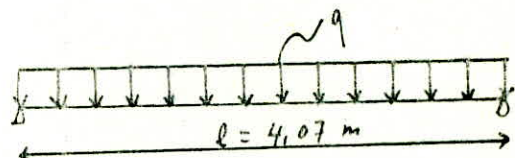
Schéma statique

on adopte une section rectangulaire : $b \times h_f = 40 \times 30$

charges revenant à la poutre.

poids propre :

Réaction



$$\begin{aligned} 0,40 \times 0,30 \times 2500 &= 300 \text{ kg/m.l} \\ 2911,58 \text{ kg/m.l} \end{aligned}$$

$$q = 3211,58 \text{ kg/m.l.}$$

$$\underline{\text{moment isostructique}} : M_0 = \frac{q l^2}{8} = 3211,58 \times \frac{(4,07)^2}{8} = 6649,94 \text{ kg.m}$$

En tenant compte d'un semi-enca斯特rement, on aura :

$$\underline{\text{moment en travée}} : M_t = 0,85 \cdot M_0 = 0,85 \cdot 6649,94 = 5652,45 \text{ kg.m}$$

$$\underline{\text{moment sur appui}} : M_a = 0,3 \cdot M_0 = 0,3 \cdot 6649,94 = 1994,98 \text{ kg.m}$$

$$\underline{\text{effort tranchant}} : T = q \frac{l}{2} = 3211,58 \cdot \frac{4,07}{2} = 6535,57 \text{ kg.}$$

Détermination des armatures

$$\underline{\text{en travée}} : M_t = 5652,45 \text{ kg} ; b = 30 \text{ cm} ; h_t = 40 \text{ cm} ; d = 4 \text{ cm} ;$$

$$\mu = \frac{15M}{\bar{\sigma}_a \cdot b \cdot h^2} = \frac{15 \cdot 5652,45}{2800 \cdot 30 \cdot 36^2} = 0,0779$$

$$K = 29 ; \varepsilon = 0,8864$$

$$\bar{\sigma}'_b = \frac{\bar{\sigma}_a}{K} = \frac{2800}{29} = 96,55 \text{ kg/cm}^2 < \bar{\sigma}'_b = 137 \text{ kg/cm}^2$$

les aciers comprimés ne sont pas sous tension.

$$\underline{\text{Aciers tendus}} : A = \frac{M}{\bar{\sigma}_a \cdot \varepsilon \cdot h} = \frac{5652,45}{2800 \cdot 0,8864 \cdot 36} = 6,33 \text{ cm}^2$$

$$\text{on adoptera } 4T16 \quad A = 8,04 \text{ cm}^2$$

$$\underline{\text{sur appui}} : M_a = 1994,98 \text{ kg.m.}$$

$$\mu = \frac{1994,98}{2800 \cdot 30 \cdot 36^2} = 0,0275 \Rightarrow \begin{cases} K = 54,5 \\ \varepsilon = 0,9281 \end{cases}$$

$$\bar{\sigma}'_b = \frac{\bar{\sigma}_a}{K} = 51,38 \text{ kg/cm}^2 < \bar{\sigma}'_b = 137 \text{ kg/cm}^2 \Rightarrow A' = 0$$

$$A = \frac{M}{\bar{\sigma}_a \cdot \varepsilon \cdot h} = \frac{1994,98}{2800 \cdot 0,9281 \cdot 36} = 2,13 \text{ cm}^2$$

$$\text{on adoptera } 2T14 \quad A = 1,08 \text{ cm}^2.$$

Vérification de la condition de non fragilité

$$A \geq 0,69 \cdot b \cdot h \frac{\bar{\sigma}_b}{\bar{\sigma}_{en}} = 0,69 \cdot 30 \cdot 36 \cdot \frac{51,9}{4200} = 1,05 \text{ cm}^2 \text{ (vérifiée)}$$

Vérification des contraintes

$$\underline{\text{en travée}} \quad M_t = 5652,45 \text{ kg.m} ; \quad A = 8,04 \text{ cm}^2$$

$$\bar{\omega} = \frac{100 \cdot A}{b \cdot h} = \frac{100 \cdot 8,04}{30 \cdot 36} = 0,744 \quad \begin{cases} K = 25,1 \\ \varepsilon = 0,8753 \end{cases}$$

$$\bar{\sigma}_a = \frac{M}{A \cdot \varepsilon \cdot h} = \frac{5652,45}{8,04 \cdot 0,8753 \cdot 36} = 2231,11 \text{ kg/cm}^2 < \bar{\sigma}_a = 2800 \text{ kg/cm}^2$$

$$\bar{\sigma}'_b = \frac{\bar{\sigma}_a}{K} = \frac{2231,11}{25,1} = 88,89 \text{ kg/cm}^2 < \bar{\sigma}'_b = 137 \text{ kg/cm}^2$$

$$\underline{\text{sur appui}} : M_a = 1994,98 \text{ kg.m} ; \quad A = 1,08 \text{ cm}^2.$$

$$\bar{\omega} = \frac{100 \cdot A}{b \cdot h} = \frac{100 \cdot 1,08}{30 \cdot 36} = 0,285 \quad \begin{cases} K = 44,3 \\ \varepsilon = 0,9156 \end{cases}$$

$$\bar{\sigma}_a = \frac{M}{A \cdot \varepsilon \cdot h} = \frac{1994,98}{1,08 \cdot 0,9156 \cdot 36} = 1965,08 \text{ kg/cm}^2 < \bar{\sigma}_a = 2800 \text{ kg/cm}^2$$

$$\bar{\sigma}'_b = \frac{\bar{\sigma}_a}{K} = \frac{1965,08}{44,3} = 44,36 \text{ kg/cm}^2 < \bar{\sigma}'_b = 137 \text{ kg/cm}^2$$

Vérification de l'effort tranchant

$$A \bar{\sigma}_a \geq T + \frac{M}{z} ; \quad T = 6535,57 \text{ kg} ; \quad M = 1994,98 \text{ kg.m} ; \quad A = 3,08 \text{ cm}^2$$

$$T + \frac{M}{z} = 6535,57 - \frac{1994,98}{\frac{7}{8} \cdot 36} = 202,3 < A \cdot \bar{\sigma}_a = 8624 \text{ kg} \quad (\text{vérifié})$$

Vérification de la flèche

$$1/ \frac{A}{b \cdot h} < \frac{43}{\sigma_{en}} ; \quad \frac{A}{b h} = \frac{3,08}{30 \cdot 36} = 4,44 \cdot 10^{-3} < 10,24 \cdot 10^{-3} = \frac{43}{\sigma_{en}}$$

$$2/ h_t \geq \frac{l}{16} ; \quad h_t = 36 > \frac{l}{16} = \frac{40,7}{16} = 25,44$$

$$3/ h_t \geq \frac{M_e}{10 M_o} \cdot \frac{l}{l} ; \quad h_t = 36 > \frac{l}{10} \cdot \frac{M_e}{M_o} = 0,85 \cdot 40,7 = 34,6$$

Les 3 conditions sont vérifiées, il est inutile de finir tâcher la flèche.

Armatures transversales

$$\tau_{bmax} = \frac{T_{max}}{b \cdot z} = \frac{6535,57}{30 \cdot \frac{7}{8} \cdot 36} = 6,92 \text{ kg/cm}^2 < \bar{\tau}_b = 3,5 \bar{\sigma}_b = 20,65 \text{ kg/cm}^2$$

Les armatures droite suffisent.
Mit en cadre $\phi 8$; $A_t = 1,01 \text{ cm}^2$

$$\sigma_{at} = p_{at} \cdot \sigma_{en} = \left[\max \left(\frac{2}{3} ; 1 \cdot \frac{\tau_b}{3 \bar{\sigma}_b} \right) \right] \cdot \sigma_{en} = 0,87 \cdot 2400 = 2087,23 \text{ kg/cm}^2$$

Espacement des armatures transversales

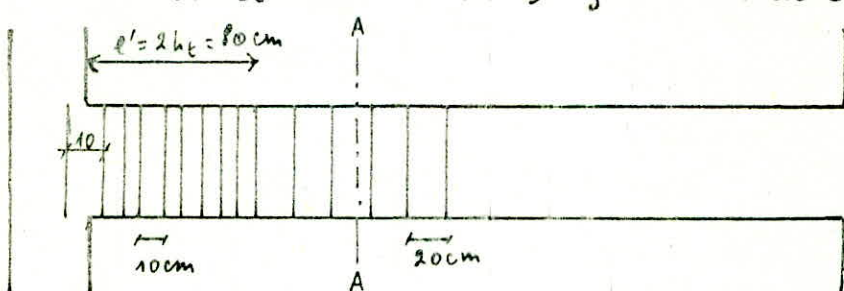
$$t \leq \frac{A_t \cdot \bar{\sigma}_{at} \cdot \beta}{T} = \frac{1,01 \cdot 2087,23 \cdot \frac{7}{8} \cdot 16}{6535,57} = 10,16 \text{ cm} .$$

$$\bar{t} = \max \left[0,2h = 7,2 \text{ cm} ; h \left(1 - \frac{0,3 \bar{\tau}_b}{\bar{\sigma}_b} \right) = 23,33 \text{ cm} \right] = 23,33 \text{ cm} .$$

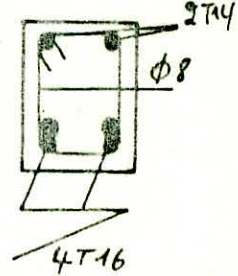
Espacement RPA 81

$$s = \min \left(\frac{h_t}{4} ; 12\phi \right) = 10 \text{ cm} ; \quad s' = \frac{h_t}{2} = 20 \text{ cm} .$$

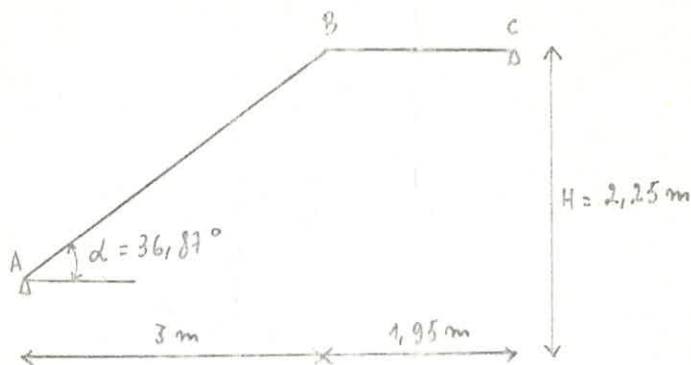
on adoptera un espacement de 10 cm dans la zone modale et de 20 cm dans la zone courante.



coupe A-A



Escalier du rez-de-chaussée

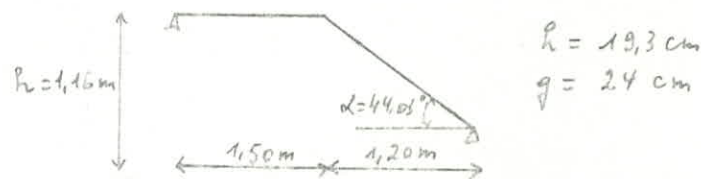


$$h = \frac{2,25}{13} = 17,3 \text{ cm} \quad (13 \text{ contremarches})$$

$$q = \frac{300}{12} = 25 \text{ cm} \quad (12 \text{ marches})$$

on adoptera le même ferrailage que l'escalier de l'étage courant. Toutes les conditions sont vérifiées.

Escalier extérieur :



on adoptera une épaisseur de la paillasse de 12 cm.

Le calcul se fera de la même manière que les escaliers intérieurs.

Le ferrailage adopté sera : 4 T 10 en travée
2 T 10 sur appui

Les armatures de répartition : 2 T 8

ETUDE AU
SEISME

Méthode de Muto

La méthode de Muto est une méthode approchée qui nous permet d'analyser une structure constituée de poutres sollicitées par des efforts horizontaux. Elle est basée sur les rigidités de niveau (qui est le rapport entre l'effort tranchant de niveau et le déplacement relatif de niveau).

Son domaine d'application :

- elle s'applique aux bâtiments à étage rigides, constitués de planchers monolithiques, ayant une assise autostable représentant la réalité des charges horizontales et verticales.
- les charges sont supposées concentrées au niveau des planchers. La raideur (I/l) des poutres ne doit pas être trop faible par rapport à celle des poteaux ($K \geq 0,2$ pour tous les niveaux)
- les raideurs (I/l) des travées adjacentes d'une même poutre ne doivent pas être trop différentes (rapport compris entre 0,5 et 3,0)
- La raideur I/l d'un même poteau ne doit pas trop varier entre étages adjacents (rapport compris entre 0,5 et 2)

Le schéma de répartition des charges en élévation est soit rectangulaire (cas du vent) soit triangulaire (cas du séisme).

- Le calcul par la méthode de Muto se fait en 2 étapes :
 1^{er} étape : 1/ Calcul des rigidités linéaires des poteaux et des poutres. 2/ Calcul des coefficients \bar{K} et des coefficients de correction a_j dans les deux. 3/ Calcul des rigidités corrigées R_{ij} des poteaux dans les deux. 4/ Calcul de $D_j = \sum_{i=1}^{n_w} a_j \cdot R_{ij}$. Pour chaque niveau du portique considéré. 5/ Calcul de la rigidité relative de niveau corrigée du portique considéré. $R_j = \frac{12}{l^2} E \cdot D_j$; $E = 345000 \text{ kg/cm}^2$

6/ Calcul de la rigidité relative d'étage j dans les deux

$$\left\{ R_{ix} = \sum_{e=1}^{l=\infty} R_{ix}^{(e)} ; R_{iy} = \sum_{e=1}^{l=\infty} R_{iy}^{(e)} \right.$$

- 7/ Détermination du centre de tension et du centre de masse. 8/ Calcul de la rigidité à la torsion $R_{j\alpha}$ de chaque étage.

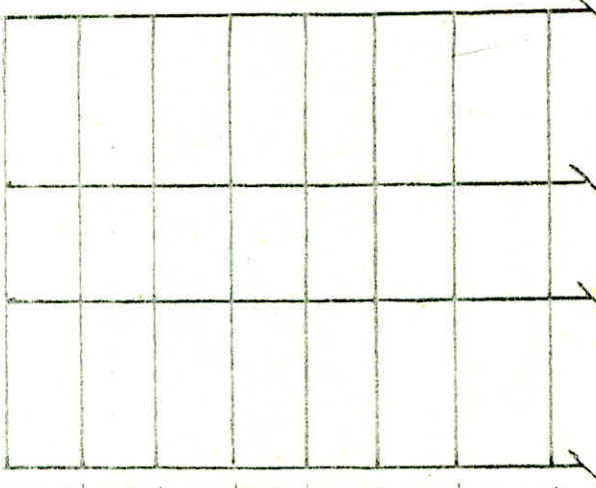
Portique transversal

niveau	poutres	$l_0 \text{ (m)}$	$h/2$	a	$l_0 + h/2$	$l_0 + a$	$T \cdot 10^6$	$U \cdot 10^6$
RDC à 7	AB ; CD	4,95	0,35	0,35	5,2	5,40	3125	600,96
RDC à 7	BC	2,30	0,4	0,45	2,55	2,75	3125	1225,49

niveau	poteaux	R_o	$a/2$	R_p	$h_0 + a/2$	$h_0 + h/2$	$T \cdot 10^6$	$U \cdot 10^6$
RDC - 1	A, B, C, D	4,00	0,225	0,70	4,225	4,5	3417,19	1018,54
1 - 7	A, B, C, D	3,13	0,225	0,70	3,355	3,63	3417,19	808,8

niveau	$\frac{l_0 + h}{2}$	W	a	$R_o \cdot 10^6$	$\Delta_{\text{rigidité}}$	$D_i = \Sigma R_o$	$R_j^r (\text{kg})$	$(R_j^r)^2 (\text{kg}^2)$
1 - 2 ; 2 - 3	A	0,59	0,23	1018,54	234,26			
3 - 4 ; 4 - 5	B	1,49	0,47	11	479,71	5429,71		
5 - C - 6 - 7	C	1,79	0,47	4	4,79,71			
	D	0,53	0,23	11	234,26			
	A	0,74	0,45	808,9	363,96			
	B	2,16	0,85	11	687,48	8108,68	5393,09	43144,64
	C	2,26	0,85	11	687,48			
	D	0,74	0,45	11	363,96			

Portique transversal



Portique transversal

Portique longitudinal

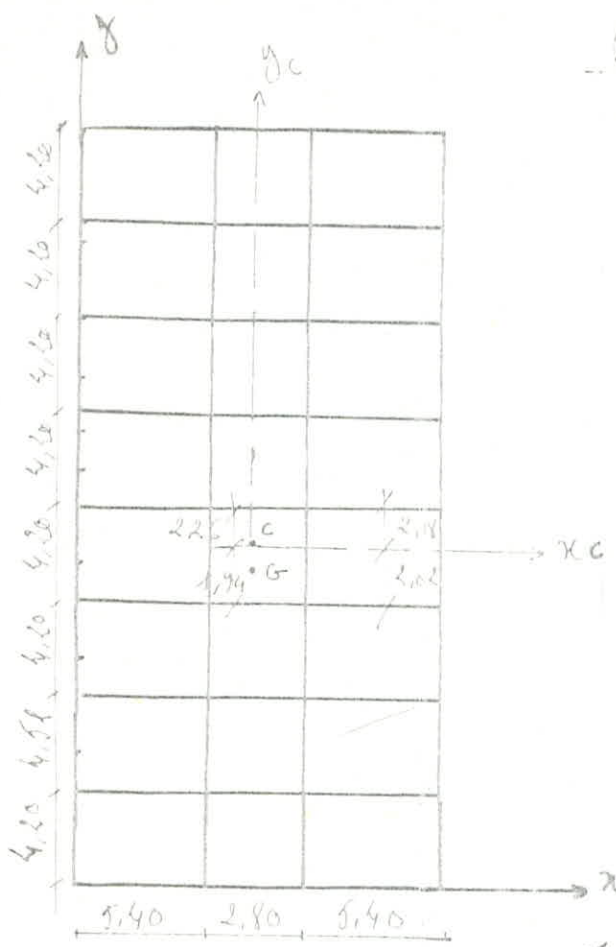


Partiques longitudinale.

niveau	Porte	l_0	$w_{1/2}$	a	$l_0 + w_{1/2}$	$l_0 + a$	$T \cdot 10^6$	$W \cdot 10^6$
1 à 7 RDC	1-2; 2-3; 3-4; 4-5; 5-6; 7-8	3,75	0,95	0,95	4	4,2	3125	781,25
1 à 7 RDC	6-7	4,07	0,95	0,95	4,32	4,52	3125	783,38

niveau	porte	a/l	R_a	w_e	$h_0 + a/l$	$h_0 + w_e$	$I \cdot 10^6$	$W \cdot 10^6$
RDC-1	1 à 8	0,185	4	0,5	4,185	4,5	3417,19	808,8
1 - 7	1 à 8	0,185	3,13	0,5	3,335	3,63	3417,19	1018,54

niveau	$\frac{h_0}{2}$ et 2ème	\bar{w}	a	w_2	a/w_2	$D_b \cdot \Sigma a_k$	R_j^2	R_i^2
1	4	0,43	0,23	1018,54	235,19			
2	4	0,53	0,43	11	437,97			
3	3	4	11	11	11	3198,2	13004,58	62030,32
4	3	4	11	11	11			
5	4	4	11	11	11			
6	4	4,8	11	11	11			
7	4	4,8	11	11	11			
8	3	2,2	0,23	11	11	235,19		
9	1	0,97	0,43	357,8	396,31			
10	1	3,3	3,03	11	531,46			
11	3	4	4	11	11			
12	4	11	11	11	11	3785,2	9737,59	69829,34
13	5	11	11	11	11			
14	6	1,86	0,64	11	493,37			
15	7	1,86	0,64	11	11			
16	8	0,47	0,49	11	396,31			



Centre de masse :

$$x_G = 6,8 \text{ m}$$

$$y_G = 14,86 \text{ m}$$

Centre de torsion

$$x_{Cj} = \frac{\sum_{\ell=1}^{t=u} R_{j\ell}^{(e)} x_j^{(\ell)}}{\sum_{\ell=1}^{t=u} R_{j\ell}^{(e)} y}$$

$$y_{Cj} = \frac{\sum_{\ell=1}^{t=u} R_{j\ell}^{(e)} y_j^{(\ell)}}{\sum_{\ell=1}^{t=u} R_{j\ell}^{(e)} x}$$

a/ Centre de torsion pour les niveaux t+6; T; 4; 3; 2.

$$x_C = \frac{13007,58}{56030,38} [0 + 5,4 + 8,2 + 13,6] = 6,8 \text{ m}$$

$$y_C = \frac{5799,51}{46396,09} [0 + 4,2 + 8,72 + 16,92 + 17,12 + 21,32 + 25,52 + 29,72] \\ = 14,94.$$

b/ Centre de torsion pour le niveau 1.

$$x_C = \frac{9707,59}{38830,34} [0 + 5,4 + 8,2 + 13,6] = 6,8 \text{ m}$$

$$y_C = \frac{5393,08}{43144,64} [0 + 4,2 + 8,72 + 16,92 + 17,12 + 21,32 + 25,52 + 29,72] = 14,94$$

Rigidité à la torsion $R_{j\ell}:$

$$R_{j\ell} = \sum_{\ell=1}^{t=u} R_{j\ell}^{(e)} \cdot [x_j^{(\ell)}]^2 + \sum_{\ell=1}^{t=u} R_{j\ell}^{(e)} [y_j^{(\ell)}]^2$$

a/ niveau t+6

$$R_{j\ell} = 5645096,98 \text{ t/m}$$

b/ niveau 1:

$$R_{j\ell} = 5019244,76 \text{ t/m}$$

Étude du Disme

Pour l'étude de cette ouvrage on a fait appel à la méthode statique équivalente et ayant bénéficié au préalable les conditions d'application de cette méthode (fig. 3.2.1).

Pour le calcul de la pente on a utilisé la méthode de Holzer (voir Conception et Calcul des Structures soumises au Disme). Cette méthode consiste à la détermination de pulsations qui sont les formes propres correspondantes aux ω_i ; en raisonant par approximation successive sur ω_i . On calculera le coefficient d'équivalence ε , pour le 1^{er} mort, si ε est supérieur à 80 %, il sera utile de passer aux autres modes le 1^{er} mort étant prépondérant.

les masses sont considérées concentrées au niveau du plancher, reliées entre elles par des ressorts qui représentent les structures (éléments verticaux l'encastrement de la couverte est pris au niveau du sol (P.D.C))

zone Dismiquée : $V = A \cdot D \cdot B \cdot Q \cdot W$.

a) coefficient d'accélération de la zone A.

$$A = 0,15 g \left\{ \begin{array}{l} \text{groupe d'usage 2} \\ \text{zone Dismique II} \end{array} \right.$$

b) facteur d'amplification dynamique moyen D .

$$\text{Cas du sol ferme} : D = 2 \sqrt{\frac{0,3}{T}}$$

c) facteur de comportement de la structure structure extensible $B = 1/4$

d) facteur de qualité Q : $Q = 1 + \sum_{q=1}^6 P_q$

sous transversal $P_1 = 1,3$

sous longitudinale $P_2 = 1,9$.

w_1

$$W_1 = 495,533 \text{ t}$$

w_2

$$W_2 = 391,563 \text{ t}$$

w_3

$$W_3 = W_4 = W_5 = W_6 = 400,014 \text{ t}$$

w_7

$$W_7 = 407,316 \text{ t.}$$



On a tenu compte de 50 % des charges d'exploitation.

Sens transversal : $w^t = 40/50/45; 65$

λ	$m \cdot k$	$m \cdot w^t$	x_2	$m \cdot w^t \cdot x_2$	$\sum m \cdot w^t \cdot x_2$	$R_{w^t} / 10^4$	$\sum w^t \cdot R_{w^t}$
4	495540	19321600 474747900	1	19321600 474747900	19321600 474747900	463396,01	0,04 0,05
6	391500	195624500 19548000	0,92 0,95	391500 195624500 19548000	391500 195624500 19548000	391500 195624500 19548000	0,05 0,05
5	400020	20031500 19563913	0,95 0,96	14330704 17205350 15234350	14330704 17205350 15234350	11	0,03 0,03
4	11	6,73 3,74	0,77 0,74	12323716 14900738 13715875 1370572	12323716 14900738 13715875 1370572	11	0,11 0,13
3	11	6,54 6,54	0,72 0,72	1370572 1140055+0 137+3237	1370572 1140055+0 137+3237	11	0,12 0,12
2	11	—	0,73	—	—	11	0,13
1	407340	—	0,73	—	—	407340	0,13

Sens longitudinal : $w^l = 40/50/55/53$

λ	w^l	$m \cdot w^l$	x_2	$m \cdot w^l \cdot x_2$	$\sum m \cdot w^l \cdot x_2$	$R_{w^l} / 10^4$	$\sum w^l \cdot R_{w^l}$
4	495540	—	1	—	—	52030,34	0,09
6	391580	—	0,96	—	—	0,05	0,05
5	400020	—	0,95	—	—	0,07	0,03
4	11	—	0,79	—	—	11	0,12
3	11	—	0,79	—	—	11	0,15
2	11	—	0,75	—	—	11	0,16
1	407340	—	0,73	—	—	38830,34	0,19

la force latérale totale V pour être distribuée sur la hauteur de la structure selon les formules suivantes :

$$V = F_t + \sum_{i=1}^n F_i \quad \text{avec } F_t = 0,07 T \cdot V$$

$$F_t = 0,07 \cdot 0,93 \cdot 162,09 = 10,55 \text{ t. (sans trans)}$$

$$F_t^P = 0,07 \cdot 0,90 \cdot 176,57 = 11,12 \text{ t. (des engins)}$$

$$F_u = \frac{(V - F_t) w_u \cdot h_u}{\sum_{i=1}^n w_i \cdot h_i}$$

* Calcul de la période exacte : $T = \frac{2}{\sqrt{g}} \sqrt{\frac{\sum w_i \cdot s_i}{\sum f_i \cdot s_i}}$

$$T^t = 0,93 \Delta ; \quad T^l = 0,90 \Delta .$$

$$\text{d'où } D^t = 2 \sqrt{\frac{0,3}{0,93}} = 1,14 ; \quad D^l = 2 \sqrt{\frac{0,3}{0,90}} = 1,16$$

$$\text{d'où } V_t = 0,15 \cdot 1,14 \cdot 0,95 \cdot 1,3 \cdot w = 0,0576 w = 162,09 \text{ t.}$$

$$V_l = 0,15 \cdot 1,16 \cdot 0,95 \cdot 1,4 \cdot w = 0,061 w = 176,57 \text{ t.}$$

Sous transversal.

métre	h (m)	$w_u(t)$	$w_u \cdot h_u$	F_u (t)	F_u^t (t)	R_j^t (t/m)	δ_j (m)	δ_j^c (m)
VII	26,28	495,54	13022,79	43,43	43,43	46396,08	0,094	1,85
VI	22,65	391,56	8868,83	29,57	29,57	11	0,16	1,76
V	19,02	400,02	7608,38	25,37	25,37	11	0,21	1,6
IV	15,39	11	6156,31	22,53	22,53	11	0,26	1,39
III	11,76	11	4704,24	17,13	17,13	11	0,29	1,13
II	8,13	11	3252,16	13,85	13,85	11	0,31	0,84
I	4,5	607,32	1832,94	6,11	6,11	43144,64	0,53	0,53

Sous longitudinal.

métre	h (m)	$w_u(t)$	$w_u \cdot h_u$	F_u	F_u^c	R_j^c	δ_j	δ_j^c
VII	26,28	495,54	13022,79	47,11	47,41	52030,32	0,09	1,72
VI	22,65	391,56	8868,83	38,29	39,7	11	0,15	1,63
V	19,02	400,02	7608,38	34,70	34,74	11	0,21	1,48
IV	15,39	11	6156,31	22,41	22,81	11	0,25	1,27
III	11,76	11	4704,24	17,13	17,13	11	0,28	1,02
II	8,13	11	3252,16	13,84	13,84	11	0,31	0,74
I	4,5	607,32	1832,94	6,67	6,67	165,45	0,43	0,43

coefficients d'équivalence: $\varepsilon = \frac{(\sum m_K \cdot x_K)^2}{\sum m_K \cdot \sum m_K \cdot x_K^2}$

$$\sum m_K = 2894,56$$

Sous transversal:

$$\begin{aligned} \sum m_K \cdot x_K &= 495,54 \cdot 1,85 + 391,56 \cdot 1,76 + 400,02 (1,6 + 1,39 + 1,13 + 0,74) \\ &\quad + 407,38 \cdot 0,53 = 3805,87 \text{ t.cm.} \end{aligned}$$

$$\sum m_K \cdot x_K^2 = 5613,27 + \frac{m^2}{d'm} \quad \varepsilon^t = 89,15 \% \quad \text{dans 1er mode prépondérant}$$

Sous longitudinal:

$$\sum m_K \cdot x_K = 3469,81 \text{ t.cm} ; \sum m_K \cdot x_K^2 = 4738,28 \text{ t.cm}^2$$

$$\varepsilon^s = 87,78 \% \quad \text{dans 1er mode prépondérant}$$

Déformations horizontales (Art 3371 RIA 81)

les déplacements calculés à partir des forces latérales spécifiée doit être multiplié par $\frac{1}{2}B$ pour obtenir le déplacement relatif.

(B : facteur de compression de la structure, zone II: B=0,25)

les déplacements relatifs latéraux d'un étage % aux étages qui lui sont adjacents ne doivent pas dépasser $0,0075 \times \text{hauteur de l'étage}$.

$$\delta_{ij} \leq \frac{0,0075 \text{ h}_j}{2} \quad \text{Pour } \begin{cases} h=3,63 \text{ m} \rightarrow \delta_{ad} = 2,723 \text{ cm} \\ h=4,50 \text{ m} \rightarrow \delta_{ad} = 3,375 \text{ cm} \end{cases}$$

ce qui est vérifié pour notre bâtiment.

Répartition des forces transversales sur les portiques

- Excentricité entre centre de tension et centre de masse: $x_E - x_G = 0$
 $x_G = 6,8 ; x_C = 6,8 / y_G = 14,86 ; y_C = 14,94 \quad y_C - y_G = 0,08$
- D'après le RIA 81, on prend une excentricité accidentelle égale à la plus grande des 2 valeurs: $\max 5\% (L, l)$
 L est la dimension du bâtiment en plan.

On prend $e_x = e_y = 1,510 \text{ m}$

L'effort tranchant de l'étage T_{ijy} s'applique au centre de gravité de l'étage j si on a:

Pour portique longitudinale:

$$T_{ijy} = R_{ijy} \frac{R_{ijx}}{R_{ijy}} + T_{ijy} \cdot \frac{R_{ijx} \cdot x_j}{R_{ijy}} \cdot e_y$$

Pour portique transversale:

$$T_{iju} = R_{iju} \cdot \frac{R_{ijx}}{R_{iju}} + T_{iju} \cdot \frac{R_{ijx} \cdot y_j}{R_{iju}} \cdot e_y$$

- Effort tranchant revenant à chaque poteau :

$$t_j^i = \frac{a_j^i \cdot u_j^i}{D_j} \cdot T_0$$

Partie longitudinale C					
mir	$T_{Sj}(t)$	S_j (m)	file	$\frac{a_j^i u_j^i}{D_j}$	$t_j^i(t)$
7	16,09	0,93	1 et 8	0,09	1,09
			2 et 7	0,14	1,59
6	20,31	1,56	1 et 8	0,09	1,13
			2 et 7	0,14	1,74
5	27,37	2,10	1 et 8	0,09	2,46
			2 et 7	0,14	3,83
4	33,08	2,54	1 et 8	0,09	2,94
			2 et 7	0,14	4,63
3	37,44	2,88	1 et 8	0,09	3,37
			2 et 7	0,14	5,84
2	40,46	3,11	1 et 8	0,09	3,64
			2 et 7	0,14	5,66
1	42,03	4,33	1 et 8	0,09	4,64
			2 et 7	0,13	5,46

Partie longitudinale D					
mir	$T_{Sj}(t)$	S_j (m)	file	$\frac{a_j^i u_j^i}{D_j}$	$t_j^i(t)$
7	12,96	1,00	1 et 8	0,09	1,17
			2 et 7	0,14	1,81
6	21,79	1,68	1 et 8	0,09	1,96
			2 et 7	0,14	3,05
5	29,36	1,26	1 et 8	0,09	2,64
			2 et 7	0,14	4,11
4	35,49	1,73	1 et 8	0,09	3,19
			2 et 7	0,14	4,97
3	40,17	3,09	1 et 8	0,09	3,68
			2 et 7	0,14	5,68
2	43,40	3,34	1 et 8	0,09	3,91
			2 et 7	0,14	6,08
1	44,50	4,59	1 et 8	0,11	4,91
			2 et 7	0,13	5,80

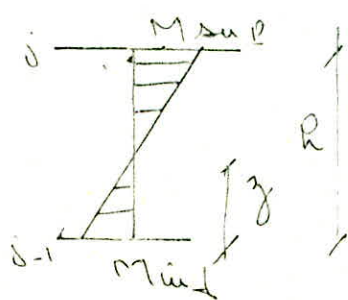
Partie transversale A					
mir	$T_{Sx}(t)$	S_j	file	$\frac{a_j^i u_j^i}{D_j}$	$t_{xj}(t)$
7	6,41	1,11	A, D	0,16	1,03
			B, C	0,34	2,19
6	10,78	1,66	A, D	0,16	1,73
			B, C	0,34	3,57
5	14,52	2,50	A, D	0,16	2,38
			B, C	0,34	4,94
4	17,55	3,03	A, D	0,16	2,81
			B, C	0,34	5,37
3	19,87	3,43	A, D	0,16	3,18
			B, C	0,34	6,76
2	21,47	3,70	A, D	0,16	3,44
			B, C	0,34	7,30
1	22,56	4,18	A, D	0,17	3,55
			B, C	0,33	7,44

Partie transversale E					
mir	$T_{Sx}(t)$	S_j	file	$\frac{a_j^i u_j^i}{D_j}$	$t_{xj}(t)$
7	6,13	1,06	A, D	0,16	0,98
			B, C	0,34	2,08
6	10,31	1,78	A, D	0,16	1,65
			B, C	0,34	3,51
5	13,89	1,40	A, D	0,16	2,22
			B, C	0,34	4,72
4	16,79	1,89	A, D	0,16	2,69
			B, C	0,34	5,71
3	19	3,28	A, D	0,16	3,04
			B, C	0,34	6,46
2	20,54	3,54	A, D	0,16	3,29
			B, C	0,34	6,98
1	21,51	3,99	A, D	0,17	3,67
			B, C	0,33	7,10

- Détermination de la position du point de moment nul.

$y = y_0 h^2$ avec $y = y_0 + y_1 + y_2 + y_3 / (y_0 + y_1 + y_2 + y_3)$; donnée dans les tableaux du tableau LTC n° 5).

- Calcul des moments dans les poteaux :



$$M_{Sup}^E = t_j^{(i)} (h - z)$$

$$M_{Ind} = t_j^{(i)} \cdot z$$

$t_j^{(i)}$: effort tranchant revenant au poteau considéré.

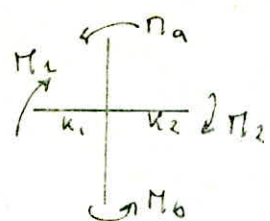
Moment en tête et à la base des Poteaux.

pièce	x_0	y_0	y_{x_1}	y_{x_2}	y_{x_3}	y_g	$\delta = \gamma_b$	$R - \delta$	t_g	$M_{tête}$	M_{base}	t_g	$M_{tête}$	M_{base}
7	A, D	0,693	0	0	0	0,693	0,93	1,11	-1,13	0,95	1,18	0,98	0,90	2,17
	B, C	0,395	0	0	0	0,395	1,12	2,03	2,18	2,40	4,23	1,08	2,29	4,79
6	A, D	0,395	0	0	0	0,395	0,92	1,12	1,13	1,59	3,82	1,65	1,52	3,65
	B, C	0,495	0	0	0	0,495	1,14	1,83	3,67	4,55	6,24	3,51	4,35	6,63
5	A, D	0,435	0	0	0	0,435	1,16	1,71	2,32	3,16	4,11	2,23	3,02	3,93
	B, C	0,49	0	0	0	0,49	1,13	1,6	4,94	7,56	7,90	4,76	7,22	7,55
4	A, D	0,45	0	0	0	0,45	1,11	1,76	2,81	3,95	4,83	2,69	3,79	4,63
	B, C	0,49	0	0	0	0,49	1,03	1,60	3,97	9,13	9,55	5,11	8,74	9,14
3	A, D	0,50	B	0	0	0,50	1,07	1,56	3,18	4,99	4,96	3,84	4,77	4,74
	B, C	0,50	0	0	0	0,50	1,01	1,56	4,76	10,63	10,85	6,46	10,14	10,08
2	A, D	0,55	0	0	-0,60	0,33	1,10	2,08	3,44	3,78	6,98	3,29	3,66	6,68
	B, C	0,55	0	B	0	0,50	1,07	1,52	7,80	11,46	11,39	6,98	10,96	10,92
1	A, D	0,60	0	-0,65	0	0,65	2,16	1,40	3,83	9,96	5,36	3,67	9,54	5,14
	B, C	0,587	0	0	0	0,587	2,15	1,65	7,44	17,48	16,68	4,10	16,69	11,72
	Portiques transversaux									1			2	

Portique longitudinale

pièce	x_0	y_0	y_{x_1}	y_{x_2}	y_{x_3}	y_g	$\delta = \gamma_b$	$R - \delta$	t_x	$M_{tête}$	M_{base}	t_x	$M_{tête}$	M_{base}
7	1,08	0,365	0	0	0	0,365	1,05	1,05	1,09	1,15	2,87	1,17	1,83	2,43
	2,3,4,5	0,403	-	-	-	0,403	1,25	1,67	1,69	2,13	3,16	1,81	2,38	3,39
	6,7	0,398	-	-	-	0,398	1,25	1,68	11	2,11	3,18	1,81	2,26	3,40
	1,8	0,40	0	-	-	0,40	1,25	1,88	1,83	2,89	3,44	1,96	2,45	3,69
6	2,3,4,5	0,45	-	-	-	0,45	1,45	1,68	2,84	4,00	4,89	3,05	4,30	5,30
	6,7	0,45	-	-	-	0,45	11	11	11	11	11	11	11	11
	1,8	0,45	-	-	-	0,45	11	11	2,46	3,47	4,23	6,64	3,72	4,59
5	2,3,4,5	0,477	-	-	-	0,477	1,49	1,69	2,83	5,71	6,28	1,11	2,12	6,74
	6,7	0,474	-	-	-	0,474	1,46	1,65	11	5,67	6,32	1,11	6,08	6,78
	1,8	0,45	-	-	-	0,45	1,41	1,72	2,98	4,20	3,13	3,19	4,50	3,49
4	2,3,4,5	0,477	-	-	-	0,477	1,59	1,64	4,63	2,90	7,52	4,94	4,61	8,15
	6,7	0,474	-	-	-	0,474	1,48	1,65	11	6,85	7,64	4,97	7,36	8,20
	1,8	0,50	-	-	-	0,50	1,54	1,56	3,37	5,29	5,26	3,56	5,65	5,65
3	2,3,4,5	0,50	-	-	-	0,50	1,54	1,56	3,24	8,63	8,17	5,62	8,82	8,77
	6,7	0,50	-	-	-	0,50	1,54	1,56	11	7,71	11	11	11	11
	1,8	0,50	-	-	-0,3	0,20	0,63	2,30	3,64	2,29	9,10	3,91	2,46	9,78
2	2,3,4,5	0,50	-	-	0	0,50	1,54	1,56	5,66	8,69	8,83	6,68	9,55	9,49
	6,7	0,50	-	-	0	0,50	1,54	11	11	11	11	11	11	11
	1,8	0,65	-	-0,05	0	0,60	1,46	1,50	4,68	16,09	7,59	4,91	11,78	7,86
1	2,3,4,5	0,597	-	0	0	0,597	2,59	1,21	5,46	13,05	8,79	6,80	13,86	9,34
	6,7	0,593	-	0	0	0,593	2,56	1,23	5,46	18,94	8,98	5,80	13,75	9,45

- Calcul des moments dans les poutres et effort normal des barres



$$M_1 = \frac{K_1}{K_1 + K_2} (M_a + M_b)$$

$$M_2 = \frac{K_2}{K_1 + K_2} (M_a + M_b)$$

Si $K_1 = 0 \Rightarrow M_1 = 0$ et $M_2 = M_a + M_b$

Si $K_2 = 0 \Rightarrow M_2 = 0$ et $M_1 = M_a + M_b$.

- moment en travée :



Position transversale A								
numéro	poutre	M_w	M_e	M_T	T	poutre	N	N calculé
7	A-B	2,28	1,39	0,93	-0,74	A	-0,74	-0,74
	B-C	2,84	2,84	0	-2,92	B	-1,68	-1,68
	C-D	1,39	2,28	-0,93	-0,74	C	1,68	1,68
6	A-B	3,82	3,07	0,38	-1,39	A	-1,39	-2,13
	B-C	6,27	6,27	0	-5,34	B	-3,95	-5,63
	C-D	3,07	3,82	-0,38	-1,39	C	3,95	5,63
5	A-B	4,11	4,1	0,01	-1,66	D	1,39	2,13
	B-C	8,35	8,35	0	-7,11	A	-1,66	-3,72
	C-D	4,10	4,11	-0,01	-1,66	B	-5,95	-11,08
4	A-B	4,83	5,63	-0,6	-2,11	C	5,95	11,08
	B-C	11,48	11,48	0	-9,77	D	1,66	3,72
	C-D	5,63	4,83	0,6	-2,11	A	-2,11	-5,95
3	A-B	4,96	6,49	-0,76	-2,31	B	-7,66	-18,4
	B-C	13,81	13,81	0	-11,24	C	7,66	18,4
	C-D	6,49	4,96	0,76	-2,31	D	2,31	5,95
2	A-B	6,98	7,14	-0,13	-2,07	A	-2,87	-11,08
	B-C	14,76	14,76	0	-12,56	B	-9,69	-37,56
	C-D	7,14	6,98	0,13	-2,07	C	9,69	37,56
1	A-B	5,36	7,81	-1,43	-2,66	D	2,87	11,08
	B-C	15,93	15,93	0	13,56	A	-2,66	-13,72
	C-D	7,81	5,36	1,43	-2,66	B	-10,9	-48,26
						C	10,9	48,26
						D	2,66	13,72

- effort tranchant dans les poutres :

$$T = -\frac{M_e + M_w}{l}$$

l : longueur de la travée.

- Moments et effort tranchant sur les poutres, effort normaux dans les poteaux

		Portique Transversale				$\Sigma \cdot f$		
niveau	poutre	Mw	Mc	Mz	T(e)	poteau	N(G)	N (complé)
							(f)	(f)
7	A-B	2.14	1.51	0.6	-0.76	A	-0.76	-0.76
	B-C	3.21	2.21	0	-2.73	B	-1.97	-1.97
	C-D	1.57	2.11	-0.3	-0.76	C	1.97	1.97
6	A-B	3.65	2.87	0.39	-1.32	A	-1.32	-2.08
	B-C	5.84	5.84	0	-4.97	B	-3.69	-5.62
	C-D	2.67	3.65	-0.39	-1.32	C	3.65	5.62
5	A-B	3.93	3.64	0.15	-1.53	A	-1.53	-3.61
	B-C	7.48	7.48	0	-6.32	B	-4.79	-10.41
	C-D	3.64	3.23	-0.15	-1.53	C	4.79	10.41
4	A-B	4.63	4.56	0.04	-1.86	A	-1.86	-5.47
	B-C	9.30	9.30	0	-7.32	B	-6.64	-16.47
	C-D	4.56	4.63	-0.04	-1.86	C	6.64	16.47
3	A-B	4.74	5.20	-0.23	-2.01	A	-2.01	-7.48
	B-C	10.6	10.6	0	-9.02	B	-7.01	-23.48
	C-D	5.20	4.74	0.23	-2.01	C	7.01	23.48
2	A-B	6.68	5.71	0.49	-2.50	A	-2.50	-9.98
	B-C	11.64	11.64	0	-9.91	B	-7.41	-30.89
	C-D	5.71	6.68	-0.49	-2.50	C	7.41	30.89
1	A-B	5.14	6.15	-0.51	-2.28	A	-2.28	-12.26
	B-C	12.55	12.55	0	-10.66	B	-8.40	-39.29
	C-D	6.15	5.14	0.51	-2.28	C	8.40	39.29
						D	2.28	12.26

- Moments et effets tranchants pour les portes, effet normaux dans les portes

Portique transversale L.									
niveau	Porte	M _w	M _c	M _i	T _(e)	Porteau	N ₍₊₎	N ₍₋₎	
7	A-B	2.14	1.51	0.3	-0.76	A	-0.76	-0.76	
	B-C	3.21	2.21	0	-2.73	B	-1.97	-1.97	
	C-D	1.57	2.17	-0.3	-0.76	C	1.97	1.97	
6	A-B	3.65	2.87	0.39	-1.32	A	-1.32	-2.08	
	B-C	5.84	5.84	0	-4.97	B	-3.65	-5.62	
	C-D	2.67	3.65	-0.39	-1.32	C	3.65	5.62	
5	A-B	3.93	3.64	0.15	-1.53	A	-1.53	-3.51	
	B-C	7.48	7.42	0	-6.32	B	-4.73	-10.41	
	C-D	3.64	3.93	-0.15	-1.53	C	4.73	10.41	
4	A-B	4.63	4.52	0.04	-1.86	A	-1.86	-5.47	
	B-C	9.30	9.23	0	-7.82	B	-6.06	-16.47	
	C-D	4.50	4.63	-0.04	-1.86	D	6.06	16.47	
3	A-B	4.74	5.20	-0.23	-2.81	A	-2.01	-7.48	
	B-C	10.6	10.6	0	-9.02	B	-7.01	-23.48	
	C-D	5.20	4.74	0.23	-2.81	C	7.01	23.48	
2	A-B	6.67	5.71	0.49	-2.50	A	-2.50	-9.37	
	B-C	11.64	11.64	0	-9.91	B	-7.41	-38.89	
	C-D	5.71	6.67	-0.49	-2.50	C	7.41	38.89	
1	A-B	5.14	6.15	-0.31	-2.28	N	-2.28	-12.26	
	B-C	12.55	12.55	0	-10.66	B	-8.40	-39.29	
	C-D	6.15	5.14	0.31	-2.28	C	8.40	39.29	
						D	2.28	12.26	

Moments et efforts tranchants dans les Poutres & efforts normaux dans les Poteaux.

Portique longitudinale C								
mécan	Poutre	M _w	M ₁₂	M ₁₁	T	Poteau	N	N calculé
4	1-2	4,12	1,64	0,38	-1,04	1	-1,04	-1,04
	2-3	1,52	1,22	0	-0,75	2	0,29	0,29
	3-4	1,64	1,22	0,13	0,80	3	-0,11	-0,11
	4-5	1,58	1,1	0,13	-0,84	4	0,02	0,02
	5-6	1,1	1,50	-0,51	-0,85	5	-0,01	-0,01
	6-7	1,59	1,59	0	0	6	0	0
	7-8	1,59	2,21	-10,34	-1,03	7	-0,18	-0,18
6	1-2	4,59	3,64	0,16	-2,00	1	-2,00	-3,24
	2-3	3,38	3,38	0	-1,66	2	0,54	0,63
	3-4	3,64	3,52	0,07	-1,71	3	-0,65	-0,36
	4-5	3,52	1,1	0	-1,87	4	0,04	0,06
	5-6	1,1	3,20	0,04	1,1	5	0	-0,01
	6-7	3,50	1,1	0	1,1	6	0	0
	7-8	3,50	4,59	-0,55	-2,16	7	-0,29	-0,47
5	1-2	6,52	5,34	0,19	-3,16	1	-3,16	-6,40
	2-3	4,96	4,96	0	-2,43	2	0,73	1,56
	3-4	5,34	5,14	0,10	-2,80	3	-0,37	-0,73
	4-5	5,40	1,1	0,13	-2,61	4	-0,01	0,05
	5-6	1,1	1,1	0	1,1	5	0	-0,01
	6-7	1,1	1,1	0	1,1	6	0	0
	7-8	1,1	6,52	-0,56	-3,18	7	-0,37	-0,84
4	1-2	8,60	6,91	0,85	-4,14	1	-4,14	-10,54
	2-3	6,39	6,39	0	-3,14	2	1	2,86
	3-4	6,91	6,63	0,13	-3,02	3	-0,48	-1,21
	4-5	6,65	1,1	0	-3,55	4	0,04	0,12
	5-6	1,1	6,66	-0,08	-3,55	5	0	-0,01
	6-7	6,66	1,1	0	1,1	6	0	0
	7-8	1,1	8,60	-0,97	-4,07	7	-0,56	-1,36
3	1-2	9,41	7,83	0,82	-4,61	1	-4,61	-15,15
	2-3	7,25	7,25	0	-3,76	2	1,08	3,61
	3-4	7,83	7,54	0,15	-4,10	3	-0,54	-1,75
	4-5	7,54	1,1	0	-4,02	4	0,03	0,20
	5-6	1,1	7,51	0,02	-4,01	5	0,01	0
	6-7	7,51	1,1	0	-4,01	6	0	0
	7-8	1,1	9,41	-0,98	-4,53	7	-0,52	-1,88
2	1-2	14,39	8,66	2,77	-6,20	1	-6,20	-21,35
	2-3	8,20	8,20	0	-4,03	2	2,17	5,78
	3-4	8,86	8,53	0,17	-4,64	3	-0,61	-2,36
	4-5	8,53	1,1	0	-4,55	4	0,09	0,29
	5-6	1,1	8,50	0	1,1	5	0	0
	6-7	1,1	8,50	0	1,1	6	0	0
	7-8	1,1	14,39	-2,93	-6,11	7	-1,56	-3,44
1	1-2	9,68	9,19	0,65	-5,03	1	-5,03	-26,36
	2-3	8,50	8,50	0	-4,18	2	0,65	6,63
	3-4	9,19	9,04	0,14	-4,81	3	-0,63	-2,99
	4-5	9,04	1,1	0	-4,72	4	0,09	0,38
	5-6	1,1	8,90	-0,03	-4,83	5	-0,01	-0,01
	6-7	8,90	1,1	0	-4,75	6	-0,06	-0,02
	7-8	1,1	9,68	-0,39	-4,96	7	-0,21	-3,05
						8	4,96	26,36

Partie longitudinal D

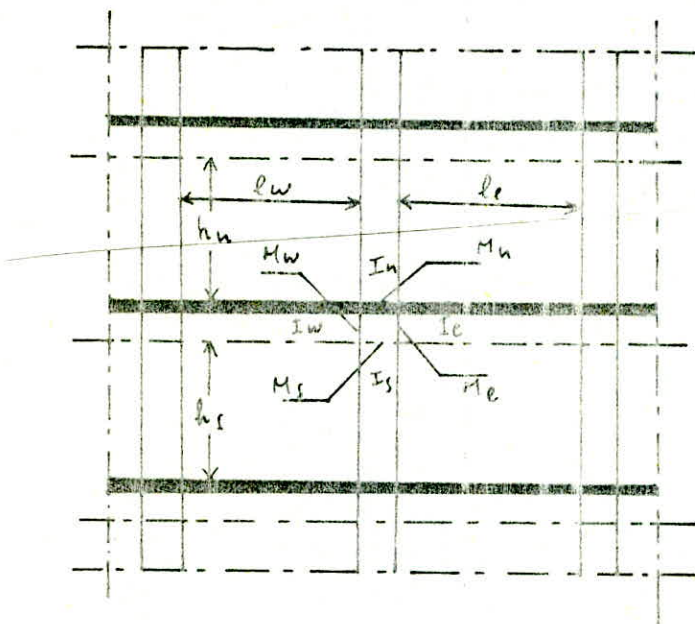
Niveau	Partie	Mus	M7	M6	T	Pocheau	N	N finale
4	1-2	2.43	1.75	0.34	-1.13	1	-1.12	-1.12
	2-3	1.63	1.13	0	-0.88	2	0.32	0.32
	3-4	1.76	1.20	0.33	-0.92	3	-0.12	-0.12
	4-5	1.76	11	0	-0.91	4	0.01	0.61
	5-6	11	11	0	11	5	0	0
	6-7	1.76	11	0	11	6	0	0
	7-8	11	2.43	-0.37	-1.10	7	-0.19	-0.19
						8	1.10	1.10
6	1-2	4.93	3.91	0.54	-2.36	1	-2.36	-3.48
	2-3	3.03	3.82	0	-1.78	2	0.58	0.58
	3-4	3.91	3.74	0.07	-2.09	3	-0.27	-0.29
	4-5	3.74	11	0	-2.01	4	0.04	0.65
	5-6	11	3.16	0.81	11	5	0	0
	6-7	3.16	11	0	11	6	0	0
	7-8	11	4.92	-0.58	-2.32	7	-0.31	-0.50
						8	2.32	3.42
5	1-2	6.99	5.73	0.63	-3.39	1	-3.59	-6.67
	2-3	5.31	5.51	0	-2.61	2	0.78	1.68
	3-4	5.73	3.23	0.11	-3	3	-0.32	-0.38
	4-5	5.73	11	0	-3.93	4	0.03	0.10
	5-6	11	5.73	-0.01	11	5	0	0
	6-7	5.73	1	0	-2.96	6	-0.01	-0.01
	7-8	11	6.30	-0.73	-3.54	7	-0.38	-0.88
						8	3.34	6.76
4	1-2	9.23	7.41	0.90	-4.43	1	-4.43	-11.30
	2-3	6.86	6.36	0	-3.34	2	1.06	2.74
	3-4	7.41	7.14	0.14	-3.36	3	-0.51	-1.29
	4-5	7.14	11	0	-3.81	4	0.01	0.17
	5-6	11	7.14	0	11	5	0	0
	6-7	7.14	11	0	11	6	0	-0.01
	7-8	11	9.23	-1.04	-4.36	7	-0.55	-1.43
						8	4.36	11.12
3	1-2	10.15	6.40	0.68	-5.04	1	-5.04	-16.34
	2-3	7.78	7.76	0	-3.82	2	1.22	3.96
	3-4	8.40	8.09	0.11	-4.40	3	-0.56	-1.87
	4-5	8.09	11	0	-4.32	4	0.04	0.23
	5-6	11	8.09	0.01	-4.31	5	0.01	0.01
	6-7	8.09	11	0	-4.30	6	0.01	0
	7-8	11	10.15	-1.04	-4.86	7	-0.56	-1.99
						8	14.36	15.98
2	1-2	15.46	9.53	2.98	-6.66	1	-6.66	-28.3
	2-3	9.80	8.36	0	-4.32	2	2.34	2.30
	3-4	9.53	9.56	0.18	-4.96	3	-0.66	-2.53
	4-5	9.56	11	0	-4.89	4	0.09	0.34
	5-6	11	9.56	0	11	5	0	0.01
	6-7	9.56	11	0	11	6	0	0
	7-8	11	15.46	-3.15	-6.57	7	-1.69	-3.67
						8	6.57	22.55
1	1-2	10.33	9.81	0.16	-5.37	1	-5.37	-23.37
	2-3	9.09	9.39	0	-4.46	2	0.91	7.21
	3-4	9.81	9.45	0.18	-5.14	3	-0.68	-3.21
	4-5	9.45	11	0	-5.04	4	0.10	0.44
	5-6	11	9.45	-0.03	-5.05	5	-0.01	0
	6-7	9.45	11	0	-5.07	6	-0.02	-0.02
	7-8	11	10.33	-0.91	-5.29	7	-0.22	-3.89
						8	5.29	27.84

'CHURGES' VERTIC'LES'

CALCUL DES PORTIQUES SOUS LES CHARGES VERTICALES

Le calcul des portiques sous les charges verticales sera fait par la méthode de Cagnot exposée en annexe A₁ du CCRA 68. Les portiques constituant l'ossature sont soumis :

- * à leur poids propre.
- * au poids propre des planchers qu'ils supportent.
- * aux charges transmises par les planchers.



Soient : q_w : charge uniformément répartie par unité de longueur sur la travée de gauche (q_e sur la travée de droite) on pose : $M'_w = q_w \cdot \frac{l_w^2}{8,5}$; $M'_e = q_e \cdot \frac{l_e^2}{8,5}$

I_w , I_e , I_s et I_n désignant respectivement les moments d'inertie de la travée de gauche, de la travée de droite, du poteau inférieur et du poteau supérieur.

$$\text{on pose : } k_w = \frac{I_w}{l_w}; \quad k_e = \frac{I_e}{l_e}; \quad k_s = \frac{I_s}{l_s}; \quad k_n = \frac{I_n}{l_n}$$

$$\text{et } D = k_w + k_e + k_s + k_n.$$

Les moments dans les sections d'appui (nus de l'appui) sont en valeur absolue.

* Au nu de l'appui de la travée de gauche :

$$M_w = M'_w \cdot \frac{k_w}{D} + M'_w \left(1 - \frac{k_w}{D}\right)$$

* Au nu de l'appui de la travée de droite :

$$M_e = M'_e \cdot \frac{k_e}{D} + M'_e \left(1 - \frac{k_e}{D}\right)$$

* Au nu inférieur des poutres dans le poteau inférieur :

$$M_s = \frac{k_s}{D} \left(M'_e - M'_w \right)$$

* Au nu supérieur du plancher dans le poteau supérieur :

$$M_n = \frac{k_n}{D} (M'_e - M'_w)$$

on considère des hauteurs fictives des poteaux :

- $h'_n = 0,9 h_n$ si le nœud considéré appartient à l'avant dernier plancher avec h_n : hauteur libre.
- $h'_n = 0,8 h_n$ pour les autres cas.
- $h'_s = 0,8 h_s$.

on considère également des travées fictives l'_w et l'_e :

pour les travées intermédiaires :

$$l'_w = 0,8 l_w$$

$$l'_e = 0,8 \cdot l_e$$

l'_w : portée libre de la travée de gauche.

l'_e : portée libre de la travée de droite.

Travée de rive

- Noeud de rive (pas de console)

$$M_{e_1} = M'_{e_1} \left(1 - \frac{K_{e_1}}{D_1}\right) \quad ; \quad M_{S_1} = M'_{e_1} \frac{K_{S_1}}{D_1} \quad ; \quad M_h = M'_{e_1} \cdot \frac{K_{h_1}}{D_1}$$

- Noeud voisin du noeud de rive

La longueur $l'w_2$ de la travée fictive de rive est prise égale à $x_1 \cdot l'w_2$, x_1 étant un coefficient compris entre 0,8 et 1, avec $x_1 = 0,8$ pour $K_{S_1} + K_{h_1} \geq 1,5 K_{e_1}$ et $x_1 = 1 - \frac{K_{S_1} + K_{h_1}}{7,5 K_{e_1}}$ pour $K_{S_1} + K_{h_1} < 1,5 K_{e_1}$

Moment dans les poteaux : on admet que les points de moment nul dans les poteaux se trouvent à h_n au dessus du plancher et h_j au dessous du niveau inférieur des poutres.

Effort tranchant dans les poteaux - Effort normant dans les poutres

Par simplification, on ne fait pas état, dans les calculs, des efforts tranchants dans les poteaux ni des efforts normant dans les poutres.

Effort tranchant dans les poutres : Conformément à l'annexe A.7 du CCBA 68, les efforts tranchants sont calculés en considérant la travée jindépendante et en faisant état des moments de continuité et de la charge qui lui est appliquée.

$$\text{on aura : } T_e = -q \frac{l}{2} + \frac{M_w - M_e}{l} ; \quad T_w = q \frac{l}{2} + \frac{M_w - M_e}{l}$$

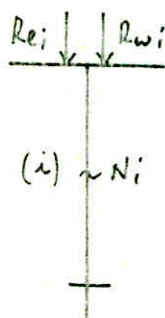
M_w et M_e sont en valeur absolue.

Effort normant dans les poteaux : Ils sont calculés à partir des efforts tranchant dans les poutres.

avec : $R_{ei} = -T_{ei}$ effort tranchant dans la travée de gauche

$R_{wi} = T_w$ effort tranchant dans la travée de droite

P_p : poids propre du poteau au dessus du niveau considéré



$$N_i = R_{ei} + R_{wi};$$

L'effort normal cumulé au niveau (i)

$$\text{sera : } N = \sum_{i=1}^m N_i + P_p.$$

Caractéristiques géométriques du portique transversal

$I_{\text{poteau}} = I_s = I_m = 3417,19 \cdot 10^6 \text{m}^4$; $I_{\text{poutre}} = I_e = I_w = 3125 \cdot 10^6 \text{m}^4$.

Niveau	Noeud	l_w	l_e	h_n	h_s	l'_w	l'_e	h'_n	h'_s	$k_w \cdot 10^6$	$k_e \cdot 10^6$	$k_n \cdot 10^6$	$k_s \cdot 10^6$	$D \cdot 10^6$	
VII	1		4,95			3,13			3,96		2,504	289,14		1364,69	2153,83
	2	4,95	2,35			3,13	3,96	1,88			2,504	789,14	162,23	1364,69	3816,06
	3	2,35	4,95			3,13	1,88	3,96			2,504	162,23	289,14	1364,69	3816,06
	4	4,95				3,13	3,96				2,504	289,14		1364,69	2153,83
VI	1		4,95	3,13	3,13			3,96	3,817	2,504		289,14		1364,69	3366,89
	2	4,95	2,35	3,13	3,13	3,96	1,88	3,817	2,504		289,14	162,23	123,06	1364,69	5029,12
	3	2,35	4,95	3,13	3,13	1,88	3,96	3,817	2,504		162,23	289,14	123,06	1364,69	5029,12
	4	4,95		3,13	3,13	3,96		3,817	2,504		289,14		123,06	1364,69	3366,89
V	1		4,95	3,13	3,13			3,96	2,504	2,504		289,14		1364,69	3518,52
	2	4,95	2,35	3,13	3,13	3,96	1,88	2,504	2,504		289,14	162,23	1364,69	5180,75	
	3	2,35	4,95	3,13	3,13	1,88	3,96	2,504	2,504		162,23	289,14	1364,69	5180,75	
	4	4,95		3,13	3,13	3,96		2,504	2,504		289,14		1364,69	3518,52	
IV	1		4,95	3,13	4			3,96	2,504	3,2		289,14		1067,87	3221,70
	2	4,95	2,35	3,13	4	3,96	1,88	2,504	3,2		289,14	162,23	1364,69	4883,93	
	3	2,35	4,95	3,13	4	1,88	3,96	2,504	3,2		162,23	289,14	1364,69	4883,93	
	4	4,95		3,13	4	3,96		2,504	3,2		289,14		1364,69	1067,87	3221,70

l_w , l_e , h_n et h_s sont en mètre.

k_w , k_e , k_n et k_s sont m^3 .

Caractéristiques géométriques du portique longitudinal.

$$I_{poteau} = 3417,19 \cdot 10^6 \text{ m}^4; I_{poutre} = 3125 \cdot 10^6 \text{ m}^4$$

Niv.	Noeud	$l_w(m)$	$l_e(m)$	h_n	h_s	l'_w	l'_e	h_n'	h_s'	$K_w \cdot 10^6$	$K_e \cdot 10^6$	$K_n \cdot 10^6$	$K_s \cdot 10^6$	$D \cdot 10^6$	
VII	1		3,75		3,11		3,1		2,504		1008,06	1008,06		1364,69	2372,75
	2	3,75	4,07		3,11	3,10	3,256		2,504	1008,06	959,77			1364,69	3332,52
	3	4,07	3,75		3,11	3,256	3		2,504	959,77	1041,67			1364,69	3366,13
	4	3,75	3,75		3,11	3	3		2,504	1041,67	1041,67			1364,69	3448,03
	5	3,75	3,75		3,11	3	3		2,504	1041,67	1041,67			1364,69	3348,03
	6	3,75	3,75		3,11	3	3		2,504	1041,67	1041,67			1364,69	3348,03
	7	3,75	3,75		3,11	3	3,1		2,504	1041,67	1008,06			1364,69	3348,03
	8	3,75			3,11	3,1			1,504	1008,06				1364,69	2406,36
VI	1		3,75	3,13	3,13		3	2,817	2,504		1041,67	1041,67	1233,06	1364,69	1619,42
	2	3,75	4,07	3,13	3,13	3	3,256	2,817	2,504	1041,67	959,77		1233,06	1364,69	4579,19
	3	4,07	3,75	3,13	3,13	3,256	3	2,817	2,504	959,77	1041,67		1233,06	1364,69	4579,19
	4	3,75	3,75	3,13	3,13	3	3	2,817	2,504	1041,67	1041,67		1233,06	1364,69	4661,09
	5	3,75	3,75	3,13	3,13	3	3	2,817	2,504	1041,67	1041,67		1233,06	1364,69	4661,09
	6	3,75	3,75	3,13	3,13	3	3	2,817	2,504	1041,67	1041,67		1233,06	1364,69	4661,09
	7	3,75	3,75	3,13	3,13	3	3	2,817	2,504	1041,67	1041,67		1233,06	1364,69	4661,09
	8	3,75		3,13	3,13	3		2,817	2,504	1041,67			1233,06	1364,69	3619,42
V	1		3,75	3,13	3,13		3	2,504	2,504		1041,67	1041,67	1364,69	1364,69	3771,05
	2	3,75	4,07	3,13	3,13	3	3,256	2,504	2,504	1041,67	959,77		1364,69	1364,69	4310,82
	3	4,07	3,75	3,13	3,13	3,256	3	2,504	2,504	959,77	1041,67		1364,69	1364,69	4730,82
	4	3,75	3,75	3,13	3,13	3	3	2,504	2,504	1041,67	1041,67		1364,69	1364,69	4812,72
	5	3,75	3,75	3,13	3,13	3	3	2,504	2,504	1041,67	1041,67		1364,69	1364,69	4812,72
	6	3,75	3,75	3,13	3,13	3	3	2,504	2,504	1041,67	1041,67		1364,69	1364,69	4812,72
	7	3,75	3,75	3,13	3,13	3	3	2,504	2,504	1041,67	1041,67		1364,69	1364,69	4812,72
	8	3,75		3,13	3,13	3		2,504	2,504	1041,67			1364,69	1364,69	3771,05
I	1		3,75	3,13	4		3	2,504	3,2		1041,67	1041,67	1364,69	1067,87	3474,23
	2	3,75	4,07	3,13	4	3	3,256	2,504	3,2	1041,67	959,77		1067,87	4434	
	3	4,07	3,75	3,13	4	3,256	3	2,504	3,2	959,77	1041,67		1067,87	4434	
	4	3,75	3,75	3,13	4	3	3	2,504	3,2	1041,67	1041,67		1067,87	4515,9	
	5	3,75	3,75	3,13	4	3	3	2,504	3,2	1041,67	1041,67		1067,87	4515,9	
	6	3,75	3,75	3,13	4	3	3	2,504	3,2	1041,67	1041,67		1067,87	4515,9	
	7	3,75	3,75	3,13	4	3	3	2,504	3,2	1041,67	1041,67		1067,87	4515,9	
	8	3,75	3,75	3,13	4	3		2,504	3,2	1041,67			1067,87	3474,23	

Portique transversal intermédiaire

n°	Nom	q _w	q _e	M _w	M _e													
VII	1		2,72		5,02		3,18		3,18		0,34		0,57		0,24		0,36	
	2	2,72	1,57	5,02	0,65	4,12	2,55		1,57	0,34	0,16	0,57	0,07	0,47	0,29		-0,18	
	3	1,57	2,72	0,65	5,02	2,55	4,12		1,57	0,16	0,31	0,07	0,57	0,29	0,47		0,18	
	4	2,72		5,02		3,18			-3,18	0,34		0,57		0,24			-0,36	
VI	1		2,29		4,23		3,24	1,52	1,72		1,55		2,86		2,19	1,03	1,16	
	2	2,29	1,35	4,23	0,56	3,65	1,73	-0,99	-0,99	1,55	0,79	2,86	0,33	2,46	1,17	-0,61	-0,69	
	3	1,35	2,29	0,56	4,23	1,73	3,65	0,99	0,99	0,79	1,55	0,33	2,86	1,17	2,46	0,64	0,69	
	4	2,29		4,23		3,24		1,52	1,72	1,55		2,86		2,19		-1,03	-1,16	
V	1		2,29		4,23		3,28	1,64	1,64		1,55		2,86		2,22	1,11	1,11	
	2	2,29	1,35	4,23	0,56	3,67	1,74	-0,97	-0,97	1,55	0,79	2,86	0,33	2,48	1,14	-0,67	-0,67	
	3	1,35	2,29	0,56	4,23	1,74	3,67	0,97	0,97	0,79	1,55	0,33	2,86	1,14	2,48	0,67	0,67	
	4	2,29		4,23		3,28		-1,64	-1,64	1,55		2,86		2,22		-1,11	-1,11	
IV	1		2,29		4,23		3,19	1,79	1,10		1,55		2,86		2,16	1,21	0,95	
	2	2,29	1,35	4,23	0,56	3,64	1,81	-1,03	-0,80	1,55	0,79	2,86	0,33	2,45	1,19	-0,71	-0,55	
	3	1,35	2,29	0,56	4,23	1,81	3,64	1,03	0,80	0,79	1,55	0,33	2,86	1,19	2,45	0,71	0,55	
	4	2,29		4,23		3,19		-1,79	-1,40	1,55		2,86		2,16		-1,21	-0,95	
sous G				sous P														

Optique longitudinal intermédiaire.

N°O.	Noire	qW	qE	M'W	M'E	Mw	Me	Mn	Ms	qW	qE	M'W	M'E	Mw	Me	Mn	Ms
VII	1		2,1		2,37		1,36		1,36		0,23		0,26		0,15		0,15
	2	2,1	2,2	2,37	2,74	2,48	2,63		0,15	0,23	0,24	0,26	0,30	0,27	0,29		0,02
	3	2,2	2,1	2,74	2,22	2,59	2,38		-0,21	0,24	0,23	0,30	0,24	0,28	0,26		-0,01
	4	2,1	2,1	2,22	2,22	2,22	2,22		0	0,23	0,23	0,24	0,24	0,24	0,24		0
	5	2,1	2,1	2,22	2,22	2,22	2,22		0	0,23	0,23	0,24	0,24	0,24	0,24		0
	6	2,1	2,1	2,22	2,22	2,22	2,22		0	0,23	0,23	0,24	0,24	0,24	0,24		0
	7	2,1	2,1	2,22	2,22	2,22	2,22		0	0,23	0,23	0,24	0,24	0,24	0,24		0
	8	2,1		2,22		0,96			-1,16	0,23		0,24		0,14			-0,14
VI	1		1,78		1,89		1,35	0,63	0,71		1,14		1,21		0,86	0,41	0,46
	2	1,78	1,86	1,89	2,32	1,99	2,23	0,41	0,43	1,14	1,12	1,21	1,50	1,28	1,44	0,08	0,09
	3	1,78	1,78	2,32	1,89	2,23	1,99	-0,11	-0,13	1,2	1,14	1,50	1,21	1,44	1,28	-0,08	-0,09
	4	1,78	1,78	1,89	1,89	1,99	1,89	0	0	1,14	1,14	1,21	1,21	1,21	1,21	0	0
	5	1,78	1,78	1,89	1,89	1,89	1,89	0	0	1,14	1,14	1,21	1,21	1,21	1,21	0	0
	6	1,78	1,78	1,89	1,89	1,89	1,89	0	0	1,14	1,14	1,21	1,21	1,21	1,21	0	0
	7	1,78	1,78	1,89	1,89	1,89	1,89	0	0	1,14	1,14	1,21	1,21	1,21	1,21	0	0
	8	1,78		1,89		1,35			-0,63	-0,71	1,14		1,21		0,86		-0,41
V	1		1,79		1,89		1,37	0,68	0,68		1,14		1,21		0,88	0,44	0,44
	2	1,78	1,86	1,89	2,32	1,95	2,23	0,12	0,12	1,14	1,12	1,21	1,50	1,27	1,44	0,08	0,08
	3	1,78	1,78	2,32	1,89	2,23	1,95	-0,12	-0,12	1,2	1,14	1,50	1,21	1,44	1,27	-0,08	-0,08
	4	1,78	1,78	1,89	1,89	1,89	1,89	0	0	1,14	1,14	1,21	1,21	1,21	1,21	0	0
	5	1,78	1,78	1,89	1,89	1,89	1,89	0	0	1,14	1,14	1,21	1,21	1,21	1,21	0	0
	6	1,78	1,78	1,89	1,89	1,89	1,89	0	0	1,14	1,14	1,21	1,21	1,21	1,21	0	0
	7	1,78	1,78	1,89	1,89	1,89	1,89	0	0	1,14	1,14	1,21	1,21	1,21	1,21	0	0
	8	1,78		1,89		1,37			-0,68	-0,68	1,14		1,21		0,88		-0,44
IV	1		1,78		1,89		1,32	0,74	0,58		1,14		1,21		0,85	0,48	0,37
	2	1,78	1,86	1,89	2,32	1,99	2,23	0,13	0,10	1,14	1,12	1,21	1,50	1,28	1,44	0,09	0,07
	3	1,78	1,77	2,32	1,89	2,23	1,99	-0,13	-0,10	1,2	1,14	1,50	1,21	1,44	1,28	-0,09	-0,07
	4	1,78	1,78	1,89	1,89	1,89	1,89	0	0	1,14	1,14	1,21	1,21	1,21	1,21	0	0
	5	1,78	1,78	1,89	1,89	1,89	1,89	0	0	1,14	1,14	1,21	1,21	1,21	1,21	0	0
	6	1,78	1,78	1,89	1,89	1,89	1,89	0	0	1,14	1,14	1,21	1,21	1,21	1,21	0	0
	7	1,78	1,78	1,89	1,89	1,89	1,89	0	0	1,14	1,14	1,21	1,21	1,21	1,21	0	0
	8	1,78		1,89		1,32			-0,74	-0,58	1,14		1,21		0,85		-0,48
sous G								sous P									

Effort tranchant dans les poutres du portique transversal interm.

Niv.	travée	l	q	Mw	Me	T(x=0)	T(x=0)	q	Mw	Me	T(x=0)	T(x=0)
VII	1-2	4,95	2,72	3,18	4,12	-6,54	6,92	0,39	0,21	0,47	-0,72	0,82
	2-3	2,35	1,57	2,55	2,55	-1,85	1,85	0,16	0,29	0,29	-0,19	0,19
	3-4	4,95	2,72	4,12	3,18	-6,54	6,54	0,39	0,47	0,21	-0,82	0,32
VI	1-2	4,95	2,29	3,24	3,65	-5,59	5,75	1,55	2,19	2,46	-3,78	3,89
	2-3	2,35	1,35	1,77	1,77	-1,59	1,59	0,79	1,17	1,17	-0,93	0,93
	3-4	4,95	2,29	3,65	3,24	-5,75	5,59	1,55	2,46	2,19	-3,89	3,78
V	1-2	4,95	2,29	3,28	3,67	-5,59	5,75	1,55	2,22	2,48	-3,78	3,89
	2-3	2,35	1,35	1,74	1,74	-1,59	1,59	0,79	1,14	1,14	-0,93	0,93
	3-4	4,95	2,29	3,67	3,28	-5,75	5,59	1,55	2,48	2,22	-3,89	3,78
IV	1-2	4,95	2,29	3,19	3,64	-5,59	5,76	1,56	2,16	2,45	-3,78	3,89
	2-3	2,35	1,35	1,81	1,81	-1,59	1,59	0,79	1,19	1,19	-0,93	0,93
	3-4	4,95	2,29	3,64	3,19	-5,76	5,58	1,55	2,45	2,16	-3,90	3,78
sous G							sous P					

Effort tranchant dans les poutres du portique transversal de rue.

Niv.	travée	l	q	Mw	Me	T(x=0)	T(x=0)	q	Mw	Me	T(x=0)	T(x=0)
III	1-2	4,95	1,82	2,13	2,75	-4,38	4,63	0,15	0,18	0,23	-0,36	0,38
	2-3	2,35	0,97	1,69	1,69	-1,14	1,14	0,08	0,14	0,14	-0,09	0,09
	3-4	4,95	1,82	2,75	2,13	-4,63	4,38	0,15	0,23	0,18	-0,38	0,36
II	1-2	4,95	1,31	1,95	2,10	-3,19	3,29	0,76	1,07	1,21	-1,85	1,91
	2-3	2,35	0,86	1,04	1,04	-1,01	1,01	0,39	0,57	0,57	-0,46	0,46
	3-4	4,95	1,31	2,10	1,85	-3,29	3,19	0,76	1,21	1,07	-1,91	1,85
III	1-2	4,95	1,31	1,88	2,11	-3,20	3,29	0,76	1,09	1,21	-1,86	1,91
	2-3	2,35	0,86	1,02	1,02	-1,01	1,01	0,39	0,56	0,56	-0,46	0,46
	3-4	4,95	1,31	2,11	1,88	-3,29	3,20	0,76	1,21	1,09	-1,91	1,86
II	1-2	4,95	1,31	1,83	2,09	-3,19	3,30	0,76	1,06	1,20	-1,85	1,91
	2-3	2,35	0,86	1,06	1,06	-1,01	1,01	0,39	0,58	0,58	-0,46	0,46
	3-4	4,95	1,31	2,09	1,83	-3,30	3,19	0,76	1,20	1,06	-1,91	1,85
sous G							sous P					

Effort tranchant dans les poutres du pontique longitudinal intermédiaire

N°	tronçon	l	q	Mw	Mz	T(x=0)	T(x=0)	q	Mw	Mz	T(x=l)	T(x=0)
VII	1-2	3,75	2,1	1,36	2,48	-3,14	4,24	0,23	0,15	0,27	-0,40	0,46
	2-3	4,07	2,2	2,63	2,59	-4,19	4,47	0,24	0,29	0,28	-0,49	0,49
	3-4	3,75	2,1	2,38	2,22	-3,38	3,90	0,23	0,26	0,24	-0,44	0,43
	4-5	3,75	2,1	2,22	2,22	-3,14	3,94	0,13	0,24	0,24	-0,43	0,43
	5-6	3,75	2,1	2,22	2,22	-3,34	3,94	0,23	0,24	0,24	-0,43	0,43
	6-7	3,75	2,1	2,22	2,22	-3,34	3,94	0,23	0,24	0,24	-0,43	0,43
	7-8	3,75	2,1	2,22	0,96	-3,34	3,94	0,23	0,24	0,14	-0,46	0,41
	8-9	3,75	1,78	1,35	1,99	-1,17	3,51	1,14	0,86	1,28	-2,03	2,26
VI	1-2	4,07	1,86	2,23	2,23	-3,79	3,79	1,2	1,44	1,44	-2,44	2,44
	2-3	3,75	1,78	1,99	1,89	-3,36	3,31	1,14	1,28	1,21	-2,16	2,12
	3-4	3,75	1,78	1,89	1,89	-3,34	3,34	1,14	1,21	1,21	-2,14	2,14
	4-5	3,75	1,78	1,89	1,89	-3,34	3,34	1,14	1,21	1,21	-2,14	2,14
	5-6	3,75	1,78	1,89	1,89	-3,34	3,34	1,14	1,21	1,21	-2,14	2,14
	6-7	3,75	1,78	1,89	1,89	-3,34	3,34	1,14	1,21	1,21	-2,14	2,14
	7-8	3,75	1,78	1,89	1,35	-3,48	3,19	1,14	1,21	0,86	-2,23	2,04
	8-9	3,75	1,78	1,37	1,95	-3,18	3,49	1,14	0,88	1,27	-2,03	2,24
V	1-2	4,07	1,86	2,23	2,23	-3,79	3,79	1,2	1,44	1,44	-2,44	2,44
	2-3	3,75	1,78	1,95	1,89	-3,35	3,32	1,14	1,27	1,21	-2,15	2,12
	3-4	3,75	1,78	1,99	1,89	-3,34	3,34	1,14	1,21	1,21	-2,14	2,14
	4-5	3,75	1,78	1,89	1,89	-3,34	3,34	1,14	1,21	1,21	-2,14	2,14
	5-6	3,75	1,78	1,89	1,89	-3,34	3,34	1,14	1,21	1,21	-2,14	2,14
	6-7	3,75	1,78	1,89	1,89	-3,34	3,34	1,14	1,21	1,21	-2,14	2,14
	7-8	3,75	1,78	1,89	1,37	-3,48	3,20	1,14	1,21	0,88	-2,23	2,05
	8-9	3,75	1,78	1,89	1,89	-3,16	3,52	1,14	0,85	1,28	-2,02	2,25
IV	1-2	4,07	1,86	2,23	2,23	-3,79	3,79	1,2	1,44	1,44	-2,44	2,44
	2-3	3,75	1,78	1,99	1,89	-3,36	3,31	1,14	1,28	1,21	-2,16	2,12
	3-4	3,75	1,78	1,89	1,89	-3,34	3,34	1,14	1,21	1,21	-2,14	2,14
	4-5	3,75	1,78	1,89	1,89	-3,34	3,34	1,14	1,21	1,21	-2,14	2,14
	5-6	3,75	1,78	1,89	1,89	-3,34	3,34	1,14	1,21	1,21	-2,14	2,14
	6-7	3,75	1,78	1,89	1,89	-3,34	3,34	1,14	1,21	1,21	-2,14	2,14
	7-8	3,75	1,78	1,89	1,37	-3,48	3,20	1,14	1,21	0,88	-2,23	2,05
	8-9	3,75	1,78	1,89	1,32	-3,49	3,19	1,14	1,21	0,85	-2,23	2,04
sous 6												
sous P												

Portique transversal (de rive)

N° ^o	N° ^o	q _w	q _e	M _w	M _e	M _s											
VII	1		1,82		3,36		2,13		2,13		0,15		0,128		0,118		0,118
	2	1,82	0,97	3,36	0,140	2,75	1,69		1,66	0,15	0,108	0,119	0,103	0,123	0,114		-0,109
	3	0,98	1,82	0,140	3,36	1,69	2,75		1,66	0,108	0,115	0,103	0,128	0,114	0,123		0,109
	4	1,82		3,36		2,13		2,13	0,15		0,128		0,118				-0,118
VI	1		1,31		2,42		1,95	0,17	0,98		0,176		1,140		1,107	0,50	0,157
	2	1,31	0,86	2,42	0,136	2,10	1,04	-0,150	0,16	0,176	0,139	1,140	0,116	1,121	0,157	-0,130	-0,134
	3	0,86	1,31	0,136	2,42	1,04	2,10	0,150	0,16	0,139	0,176	0,146	1,140	0,157	1,121	0,130	0,134
	4	1,31		2,42		1,95		-0,18	0,16	0,176		1,140		1,107		-0,150	-0,157
V	1		1,31		2,42		1,99	0,194	0,94		0,176		1,140		1,109	0,54	0,154
	2	1,31	0,86	2,42	0,136	2,11	1,02	-0,164	0,16	0,176	0,139	1,140	0,116	1,121	0,156	-0,133	-0,133
	3	0,86	1,31	0,136	2,42	1,02	2,11	0,154	0,16	0,139	0,176	0,146	1,140	0,156	1,121	0,133	0,133
	4	1,31		2,42		1,99		-0,19	0,16	0,176		1,140		1,109		-0,154	-0,154
IV	1		1,31		2,42		1,93	1,03	0,92		0,176		1,140		1,106	0,159	0,146
	2	1,31	0,86	2,42	0,136	2,09	1,06	-0,158	0,16	0,176	0,139	1,140	0,116	1,120	0,158	-0,135	-0,127
	3	0,86	1,31	0,136	2,42	1,06	2,09	0,159	0,16	0,139	0,176	0,146	1,140	0,158	1,120	0,135	0,127
	4	1,31		2,42		1,93		-0,19	0,16	0,176		1,140		1,106		-0,159	-0,146
sous G				sous P													

Portique longitudinal de rive

N°	Noeud	q _w	q _e	M' _w	M' _e	M _w	M _e	M _n	M _s	q _w	q _e	M' _w	M' _e	M _w	M _e	M _n	M _s
III	1	/	1,15	/	1,30	0,75	/	0,75	/	0,19	0,19	0,11	0,11	0,16	0,16	0,16	0,16
	2	1,15	1,16	1,30	1,45	1,35	1,44	/	0,16	0,19	0,19	0,19	0,14	0,12	0,13	0,13	0,13
	3	1,16	1,15	1,46	1,22	1,39	1,29	/	0,1	0,11	0,1	0,14	0,11	0,13	0,12	0,12	0,12
	4	1,15	1,15	1,22	1,22	1,22	1,22	/	0	0,1	0,1	0,11	0,11	0,11	0,11	0,11	0
	5	1,15	1,15	1,22	1,22	1,22	1,22	/	0	0,1	0,1	0,11	0,11	0,11	0,11	0,11	0
	6	1,15	1,15	1,22	1,22	1,22	1,22	/	0	0,1	0,1	0,11	0,11	0,11	0,11	0,11	0
	7	1,15	1,15	1,22	1,30	1,24	1,28	/	0,13	0,1	0,1	0,11	0,11	0,11	0,11	0,11	0
	8	1,15	/	1,30	/	0,76	/	0,17	0,1	/	0,11	/	0,16	/	0,16	0,16	0,16
IV	1	/	1,01	/	1,07	/	0,76	0,16	0,16	/	0,51	0,54	/	0,39	0,18	0,20	0,20
	2	1,01	1,02	1,07	1,27	1,12	1,23	0,15	0,16	0,51	0,52	0,54	0,65	0,57	0,63	0,53	0,53
	3	1,01	1,01	1,27	1,07	1,23	1,12	0,15	0,16	0,52	0,51	0,65	0,54	0,63	0,57	0,53	0,53
	4	1,01	1,01	1,07	1,07	1,07	1,07	0	0	0,51	0,51	0,54	0,54	0,54	0,54	0,54	0
	5	1,01	1,01	1,07	1,07	1,07	1,07	0	0	0,51	0,51	0,54	0,54	0,54	0,54	0,54	0
	6	1,01	1,01	1,07	1,07	1,07	1,07	0	0	0,51	0,51	0,54	0,54	0,54	0,54	0,54	0
	7	1,01	1,01	1,07	1,07	1,07	1,07	0	0	0,51	0,51	0,54	0,54	0,54	0,54	0,54	0
	8	1,01	/	1,07	/	0,76	/	0,17	0,14	0,51	/	0,54	/	0,39	/	0,18	0,20
V	1	/	1,01	/	1,07	/	0,77	0,16	0,16	/	0,51	0,54	/	0,39	0,18	0,20	0,20
	2	1,01	1,02	1,07	1,27	1,11	1,23	0,16	0,16	0,51	0,52	0,54	0,65	0,56	0,63	0,53	0,53
	3	1,02	1,01	1,27	1,07	1,23	1,11	0,15	0,16	0,52	0,51	0,65	0,54	0,63	0,56	0,53	0,53
	4	1,01	1,01	1,07	1,07	1,07	1,07	0	0	0,51	0,51	0,54	0,54	0,54	0,54	0,54	0
	5	1,01	1,01	1,07	1,07	1,07	1,07	0	0	0,51	0,51	0,54	0,54	0,54	0,54	0,54	0
	6	1,01	1,01	1,07	1,07	1,07	1,07	0	0	0,51	0,51	0,54	0,54	0,54	0,54	0,54	0
	7	1,01	1,01	1,07	1,07	1,07	1,07	0	0	0,51	0,51	0,54	0,54	0,54	0,54	0,54	0
	8	1,01	/	1,07	/	0,77	/	0,17	0,14	0,51	/	0,54	/	0,39	/	0,18	0,20
VI	1	/	1,01	/	1,07	/	0,75	0,14	0,13	/	0,51	0,54	/	0,38	0,18	0,19	0,19
	2	1,01	1,02	1,07	1,27	1,12	1,23	0,16	0,15	0,51	0,52	0,54	0,65	0,57	0,63	0,54	0,53
	3	1,02	1,01	1,27	1,07	1,23	1,12	0,15	0,16	0,52	0,51	0,65	0,54	0,63	0,57	0,54	0,53
	4	1,01	1,01	1,07	1,07	1,07	1,07	0	0	0,51	0,51	0,54	0,54	0,54	0,54	0,54	0
	5	1,01	1,01	1,07	1,07	1,07	1,07	0	0	0,51	0,51	0,54	0,54	0,54	0,54	0,54	0
	6	1,01	1,01	1,07	1,07	1,07	1,07	0	0	0,51	0,51	0,54	0,54	0,54	0,54	0,54	0
	7	1,01	1,01	1,07	1,07	1,07	1,07	0	0	0,51	0,51	0,54	0,54	0,54	0,54	0,54	0
	8	1,01	/	1,07	/	0,75	/	0,17	0,13	0,51	/	0,54	/	0,38	/	0,18	0,19
I	1	/	1,01	/	1,07	/	0,75	0,14	0,13	/	0,51	0,54	/	0,38	0,18	0,19	0,19
	2	1,01	1,02	1,07	1,27	1,12	1,23	0,16	0,15	0,51	0,52	0,54	0,65	0,57	0,63	0,54	0,53
	3	1,02	1,01	1,27	1,07	1,23	1,12	0,15	0,16	0,52	0,51	0,65	0,54	0,63	0,57	0,54	0,53
	4	1,01	1,01	1,07	1,07	1,07	1,07	0	0	0,51	0,51	0,54	0,54	0,54	0,54	0,54	0
	5	1,01	1,01	1,07	1,07	1,07	1,07	0	0	0,51	0,51	0,54	0,54	0,54	0,54	0,54	0
	6	1,01	1,01	1,07	1,07	1,07	1,07	0	0	0,51	0,51	0,54	0,54	0,54	0,54	0,54	0
	7	1,01	1,01	1,07	1,07	1,07	1,07	0	0	0,51	0,51	0,54	0,54	0,54	0,54	0,54	0
	8	1,01	/	1,07	/	0,75	/	0,17	0,13	0,51	/	0,54	/	0,38	/	0,18	0,19
Sous S									Sous P								

Effort tranchant dans les poutres du portique
longitudinal de pise.

Niveau	Travée	l	q	Mw	Me	T($x=0$)	T($x=l$)	q	Mw	Me	T($x=l$)	T($x=0$)
III	1-2	3,75	1,15	0,75	1,35	-2	2,32	0,11	0,06	0,12	-0,17	0,20
	2-3	4,07	1,16	1,41	1,39	-2,17	2,36	0,11	0,13	0,13	-0,22	0,22
	3-4	3,75	1,15	1,29	1,22	-2,18	2,14	0,1	0,12	0,11	-0,19	0,19
	4-5	3,75	1,15	1,22	1,22	-2,16	2,16	0,1	0,11	0,11	-0,19	0,19
	5-6	3,75	1,15	1,22	1,22	-2,16	2,16	0,11	0,11	0,11	-0,19	0,19
	6-7	3,75	1,15	1,22	1,24	-2,15	2,16	0,1	0,11	0,11	-0,19	0,19
	7-8	3,75	1,15	1,28	0,76	-2,30	2,02	0,1	0,11	0,06	-0,20	0,17
	1-2	3,75	1,01	0,76	1,12	-1,80	1,99	0,51	0,39	0,57	-0,91	1
IV	2-3	4,07	1,02	1,23	1,23	-2,08	2,08	0,52	0,63	0,63	-1,06	1,06
	3-4	3,75	1,01	1,12	1,07	-1,91	1,88	0,51	0,57	0,54	-0,96	0,95
	4-5	3,75	1,01	1,07	1,07	-1,89	1,89	0,51	0,54	0,54	-0,96	0,96
	5-6	3,75	1,01	1,07	1,07	-1,89	1,89	0,51	0,54	0,54	-0,96	0,96
	6-7	3,75	1,01	1,07	1,07	-1,89	1,89	0,51	0,54	0,54	-0,96	0,96
	7-8	3,75	1,01	1,07	0,76	-1,38	1,81	0,51	0,54	0,39	-1	0,92
	1-2	3,75	1,01	0,77	1,11	-1,80	1,98	0,51	0,39	0,56	-0,91	1
	2-3	4,07	1,02	1,23	1,23	-2,08	2,08	0,52	0,63	0,63	-1,06	1,06
V	3-4	3,75	1,01	1,11	1,07	-1,90	1,88	0,51	0,56	0,54	-0,96	0,95
	4-5	3,75	1,01	1,07	1,07	-1,89	1,89	0,51	0,54	0,54	-0,96	0,96
	5-6	3,75	1,01	1,07	1,07	-1,89	1,89	0,51	0,54	0,54	-0,96	0,96
	6-7	3,75	1,01	1,07	1,07	-1,89	1,89	0,51	0,54	0,54	-0,96	0,96
	7-8	3,75	1,01	1,07	0,77	-1,37	1,81	0,51	0,54	0,39	-1	0,92
	1-2	3,75	1,01	0,75	1,12	-1,80	1,99	0,51	0,38	0,57	-0,91	1,01
	2-3	4,07	1,02	1,23	1,23	-2,08	2,08	0,52	0,63	0,63	-1,06	1,06
	3-4	3,75	1,01	1,12	1,07	-1,91	1,88	0,51	0,57	0,54	-0,96	0,95
VI	4-5	3,75	1,01	1,07	1,07	-1,89	1,89	0,51	0,54	0,54	-0,96	0,96
	5-6	3,75	1,01	1,07	1,07	-1,89	1,89	0,51	0,54	0,54	-0,96	0,96
	6-7	3,75	1,01	1,07	1,07	-1,89	1,89	0,51	0,54	0,54	-0,96	0,96
	7-8	3,75	1,01	1,07	0,76	-1,38	1,81	0,51	0,54	0,39	-1	0,92
	1-2	3,75	1,01	0,75	1,12	-1,80	1,99	0,51	0,38	0,57	-0,91	1,01
	2-3	4,07	1,02	1,23	1,23	-2,08	2,08	0,52	0,63	0,63	-1,06	1,06
	3-4	3,75	1,01	1,12	1,07	-1,91	1,88	0,51	0,57	0,54	-0,96	0,95
	4-5	3,75	1,01	1,07	1,07	-1,89	1,89	0,51	0,54	0,54	-0,96	0,96
VII	5-6	3,75	1,01	1,07	1,07	-1,89	1,89	0,51	0,54	0,54	-0,96	0,96
	6-7	3,75	1,01	1,07	1,07	-1,89	1,89	0,51	0,54	0,54	-0,96	0,96
	7-8	3,75	1,01	1,07	0,76	-1,38	1,81	0,51	0,54	0,39	-1	0,92
	1-2	3,75	1,01	0,75	1,12	-1,80	1,99	0,51	0,38	0,57	-0,91	1,01
	2-3	4,07	1,02	1,23	1,23	-2,08	2,08	0,52	0,63	0,63	-1,06	1,06
	3-4	3,75	1,01	1,12	1,07	-1,91	1,88	0,51	0,57	0,54	-0,96	0,95
	4-5	3,75	1,01	1,07	1,07	-1,89	1,89	0,51	0,54	0,54	-0,96	0,96
	5-6	3,75	1,01	1,07	1,07	-1,89	1,89	0,51	0,54	0,54	-0,96	0,96
VIII	6-7	3,75	1,01	1,07	1,07	-1,89	1,89	0,51	0,54	0,54	-0,96	0,96
	7-8	3,75	1,01	1,07	0,76	-1,38	1,81	0,51	0,54	0,39	-1	0,92
	1-2	3,75	1,01	0,75	1,12	-1,80	1,99	0,51	0,38	0,57	-0,91	1,01
	2-3	4,07	1,02	1,23	1,23	-2,08	2,08	0,52	0,63	0,63	-1,06	1,06
	3-4	3,75	1,01	1,12	1,07	-1,91	1,88	0,51	0,57	0,54	-0,96	0,95
	4-5	3,75	1,01	1,07	1,07	-1,89	1,89	0,51	0,54	0,54	-0,96	0,96
	5-6	3,75	1,01	1,07	1,07	-1,89	1,89	0,51	0,54	0,54	-0,96	0,96
	6-7	3,75	1,01	1,07	1,07	-1,89	1,89	0,51	0,54	0,54	-0,96	0,96
IX	7-8	3,75	1,01	1,07	0,76	-1,38	1,81	0,51	0,54	0,39	-1	0,92
	1-2	3,75	1,01	0,75	1,12	-1,80	1,99	0,51	0,38	0,57	-0,91	1,01
	2-3	4,07	1,02	1,23	1,23	-2,08	2,08	0,52	0,63	0,63	-1,06	1,06
	3-4	3,75	1,01	1,12	1,07	-1,91	1,88	0,51	0,57	0,54	-0,96	0,95
	4-5	3,75	1,01	1,07	1,07	-1,89	1,89	0,51	0,54	0,54	-0,96	0,96
	5-6	3,75	1,01	1,07	1,07	-1,89	1,89	0,51	0,54	0,54	-0,96	0,96
	6-7	3,75	1,01	1,07	1,07	-1,89	1,89	0,51	0,54	0,54	-0,96	0,96
	7-8	3,75	1,01	1,07	0,76	-1,38	1,81	0,51	0,54	0,39	-1	0,91
Sous 6							Sous 8					

Efforts normaux dans les poteaux des portiques transv.

Niveau	poteau	N (+)	N cumulé	N	Nc	N	Nc	N	Nc
VI	1	6,92	6,92	0,82	0,82	4,63	4,63	0,38	0,38
	2	8,39	8,39	0,91	0,91	5,52	5,52	0,45	0,45
	3	8,39	8,39	0,91	0,91	5,52	5,52	0,45	0,45
	4	6,92	6,92	0,82	0,82	4,63	4,63	0,38	0,38
V	1	5,75	14,26	3,89	4,71	3,29	4,51	1,91	2,29
	2	7,18	17,16	4,71	5,62	4,2	11,31	2,31	2,76
	3	7,18	17,16	4,71	5,62	4,2	11,31	2,31	2,76
	4	5,75	14,26	3,89	4,71	3,29	4,51	1,91	2,29
IV	1	5,75	21,6	3,89	8,6	3,29	14,39	1,91	4,2
	2	7,18	25,93	4,71	10,33	4,2	17,11	2,31	5,08
	3	7,18	25,93	4,71	10,33	4,2	17,11	2,31	5,08
	4	5,75	21,6	3,89	8,6	3,29	14,39	1,91	4,2
III	1	5,75	28,94	3,89	12,49	3,29	19,27	1,91	6,11
	2	7,18	34,7	4,71	15,04	4,2	22,91	2,31	7,4
	3	7,18	34,7	4,71	15,04	4,2	22,91	2,31	7,4
	4	5,75	28,94	3,89	12,49	3,29	19,27	1,91	6,11
II	1	5,75	36,28	3,89	16,38	3,29	24,15	1,91	8,02
	2	7,18	43,47	4,71	19,75	4,2	28,71	2,31	9,72
	3	7,18	43,47	4,71	19,75	4,2	28,71	2,31	9,72
	4	5,75	36,28	3,89	16,38	3,29	24,15	1,91	8,02
I	1	5,75	43,62	3,89	20,27	3,29	29,03	1,91	9,93
	2	7,18	52,24	4,71	24,46	4,2	34,51	2,31	12,04
	3	7,18	52,24	4,71	24,46	4,2	34,51	2,31	12,04
	4	5,75	43,62	3,89	20,27	3,29	29,03	1,91	9,93
I	1	3,43	49,64	3,89	24,16	3,30	33,92	1,91	11,84
	2	5,94	59,77	4,71	29,17	4,2	40,3	2,31	14,35
	3	5,94	59,77	4,71	29,17	4,2	40,3	2,31	14,35
	4	3,43	49,64	3,90	24,16	3,30	33,92	1,91	11,84
sous 6		sous P		sous 6		sous P			
portique intermédiaire					portique de rive.				

Effort normal dans les poteaux du portique longitudinal intermédiaire

N°	poteau	N	Nc	N°	poteau	N	Nc
III	1	4,24	4,24	IV	1	3,49	24,28
	2	8,11	8,11		2	6,97	43,34
	3	8,39	8,39		3	7,11	43,38
	4	7,92	7,92		4	6,69	49,05
	5	7,88	7,88		5	6,68	49,96
	6	7,88	7,88		6	6,68	49,96
	7	7,88	7,88		7	6,54	49,39
	8	3,94	3,94		8	3,48	24,22
V	1	3,57	9,04	VI	1	3,49	29,16
	2	6,96	16,66		2	6,97	50,9
	3	7,1	17,08		3	7,11	51,88
	4	6,7	16,21		4	6,69	49,33
	5	6,68	16,15		5	6,68	49,23
	6	6,68	16,15		6	6,68	49,23
	7	6,53	16		7	6,54	48,52
	8	3,48	9,01		8	3,48	29,19
VII	1	3,49	14,12	VIII	1	3,52	24,47
	2	6,97	25,22		2	6,95	59,44
	3	7,11	25,78		3	7,1	60,57
	4	6,69	24,49		4	6,7	57,62
	5	6,68	24,42		5	6,68	57,50
	6	6,68	24,42		6	6,68	57,50
	7	6,54	24,13		7	6,53	56,64
	8	3,48	14,08		8	3,49	34,37
IX	1	3,49	19,2	X	1	3,24	7,2
	2	6,97	33,78		2	4,47	14,3
	3	7,11	34,48		3	4,56	14,6
	4	6,69	32,77		4	4,29	13,75
	5	6,68	32,69		5	4,28	13,7
	6	6,68	32,69		6	4,28	13,7
	7	6,54	32,26		7	4,19	13,4
	8	3,48	19,15		8	2,23	7,15
Sous G							

N°	poteau	N	Nc	N°	poteau	N	Nc
III	1	0,46	0,46	IV	1	2,24	9,44
	2	0,89	0,89		2	4,47	18,77
	3	0,92	0,92		3	4,56	19,16
	4	0,87	0,87		4	4,29	18,04
	5	0,86	0,86		5	4,28	17,98
	6	0,86	0,86		6	4,28	17,98
	7	0,84	0,84		7	4,19	17,59
	8	0,46	0,46		8	2,23	9,38
V	1	2,26	2,72	VI	1	2,24	11,68
	2	4,47	5,36		2	4,47	23,24
	3	4,56	5,48		3	4,56	23,72
	4	4,30	5,17		4	4,29	22,33
	5	4,28	5,14		5	4,28	22,26
	6	4,28	5,14		6	4,28	22,26
	7	4,18	5,02		7	4,19	21,78
	8	2,23	2,69		8	2,23	11,61
VII	1	2,24	4,96	VIII	1	2,25	13,93
	2	4,47	9,83		2	4,46	27,7
	3	4,56	10,04		3	4,56	28,18
	4	4,29	9,46		4	4,30	26,63
	5	4,28	9,42		5	4,28	26,54
	6	4,28	9,42		6	4,28	26,54
	7	4,19	9,21		7	4,18	25,96
	8	2,23	4,92		8	2,23	13,94
IX	1	3,24	7,2	X	1	3,24	7,2
	2	4,47	14,3		2	4,47	14,3
	3	4,56	14,6		3	4,56	14,6
	4	4,29	13,75		4	4,29	13,75
	5	4,28	13,7		5	4,28	13,7
	6	4,28	13,7		6	4,28	13,7
	7	4,19	13,4		7	4,19	13,4
	8	2,23	7,15		8	2,23	7,15
Sous P							

Effort normal dans les poteaux du portique longitudinal de rive.

N° ^s	pot.	N	Nc	N° ^s	pot.	N	Nc
III	1	2,32	2,32	III	1	3,98	16,61
	2	4,36	4,36		2	3,88	26,84
	3	4,51	4,51		3	3,96	26,71
	4	4,34	4,34		4	3,79	25,87
	5	4,32	4,32		5	3,78	25,8
	6	4,32	4,32		6	3,78	25,8
	7	4,17	4,17		7	3,7	25,33
	8	2,30	2,30		8	1,97	16,85
IV	1	1,99	5,9	IV	1	1,98	20,18
	2	3,88	9,83		2	3,88	31,21
	3	3,96	10,06		3	3,96	32,26
	4	3,8	9,73		4	3,79	31,95
	5	3,78	9,69		5	3,78	31,97
	6	3,78	9,69		6	3,78	31,97
	7	3,7	9,46		7	3,7	30,62
	8	1,98	5,87		8	1,97	20,14
V	1	1,98	9,47	V	1	1,99	21,76
	2	3,88	15,3		2	1,97	15,3
	3	3,78	15,06		4	3,8	16,64
	5	3,78	15,06		5	3,78	16,54
	6	3,78	15,06		6	3,78	16,54
	7	3,7	14,75		7	3,7	15,91
	8	1,97	9,43		8	1,98	23,68
	1	1,98	13,04		1	1	3,2
VI	2	3,88	20,77	SOUS G	2	1,97	6,13
	3	3,96	21,16		3	1,01	6,44
	4	3,79	20,49		4	1,92	6,14
	5	3,78	20,49		5	1,92	6,14
	6	3,78	20,49		6	1,92	6,14
	7	3,7	20,04		7	1,88	6
	8	1,97	12,99		8	1	3,20

N° ^s	pot.	N	Nc	N° ^s	pot.	N	Nc
III	1	0,20	0,20	III	1	1	4,12
	2	0,39	0,39		2	1,97	8,27
	3	0,41	0,41		3	2,01	8,45
	4	0,38	0,38		4	1,92	8,06
	5	0,38	0,38		5	1,92	8,06
	6	0,38	0,38		6	1,92	8,06
	7	0,36	0,36		7	1,88	7,88
	8	0,20	0,20		8	1	4,20
IV	1	1	1,2	IV	1	1	5,20
	2	1,97	2,36		2	1,97	10,24
	3	2,01	2,42		3	2,01	10,46
	4	1,92	2,13		4	1,92	9,98
	5	1,92	2,13		5	1,92	9,98
	6	1,92	2,13		6	1,92	9,98
	7	1,88	2,24		7	1,88	9,76
	8	1	1,90		8	1	5,20
V	1	1	2,2	V	1	1,01	6,27
	2	1,97	4,33		2	1,97	12,21
	3	2,01	4,43		3	2,01	12,47
	4	1,92	4,22		4	1,92	11,9
	5	1,92	4,22		5	1,92	11,9
	6	1,92	4,22		6	1,92	11,9
	7	1,88	4,12		7	1,88	11,68
	8	1	2,20		8	1	6,20
VI	1	1	3,2	SOUS P	1	1	3,2
	2	1,97	6,13		2	1,97	6,13
	3	2,01	6,44		3	2,01	6,44
	4	1,92	6,14		4	1,92	6,14
	5	1,92	6,14		5	1,92	6,14
	6	1,92	6,14		6	1,92	6,14
	7	1,88	6		7	1,88	6
	8	1	3,20		8	1	3,20

**SUPERPOSITION
DES
SOLICITATIONS**

SUPERPOSITION DES SOLlicitations

Dans la justification du calcul relatif à l'équilibre statique, à la résistance et à la stabilité de forme, on prend en compte les sollicitations dites sollicitations totales pondérées :
 La sollicitation pondérée du 1^{er} genre à considérer sera : $G + 1,2 P$
 La sollicitation du 2^e genre à considérer sera : $G + P + S_I$

Dont les quels :

G : sollicitation due à la charge permanente.

P : sollicitation due aux surcharges d'exploitation, y compris la majoration éventuelle pour les effets dynamiques.

S_I : sollicitation due au Seisme.

Les combinaisons à considérer sont les suivantes :

pour les poutres : $\begin{cases} G + 1,2 P & 1^{\text{er}} \text{ genre} \\ G + P \pm (S_I) \text{ et } 0,8 G \pm S_I & 2^{\text{e}} \text{ genre} \end{cases}$

pour les poteaux : $\begin{cases} G + 1,2 P & 1^{\text{er}} \text{ genre} \\ G + P \pm 1,2 S_I \text{ et } 0,8 G \pm S_I & 2^{\text{e}} \text{ genre} \end{cases}$

Remarque : les combinaisons du 2^e genre sont données par le R.P.A 81.

Moment en travée (Art. A12 du CCBA 68)

Pour déterminer les moments en travée, on trace la courbe des moments de la travée indépendante complète de portée 2 avec les charges permanentes G , puis avec les charges permanentes et les surcharges et puis on prend comme ligne de fermeture.

pour les moments positifs celle qui joint les moments d'appuis minimisant les valeurs absolues.

pour les moments négatifs celle qui joint les moments d'appuis maximisant les valeurs absolues.

et ceci dans chaque cas. Si les charges sont supposées que les surcharges peuvent être indépendantes des autres.

EXEMPLE : soit à calculer le moment en travée sous $G + 1,2 P$.

on commence à calculer le moment iso-statique

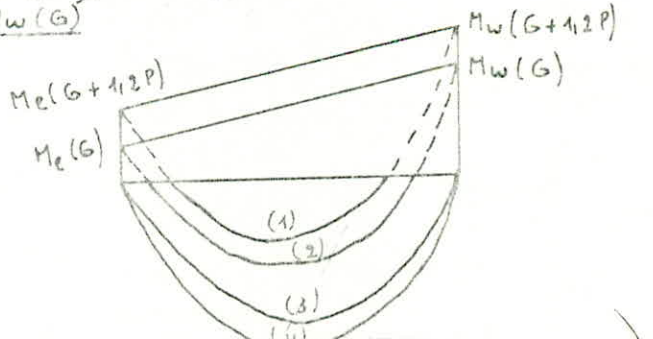
M_o sous $G + 1,2 P$, le moment en travée sera :

$$M_t = M_o(G + 1,2 P) - \frac{M_e(G) + M_w(G)}{2}$$

moment en appui :

$$M_a = M_a(G) + M_a(1,2 P)$$

Tous les calculs seront fait sous forme de tableau.



- (1) : $M_o(G) + M_a(G + 1,2 P)$
- (2) : $M_o(G + 1,2 P) + M_a(G)$
- (3) : $M_o(G)$
- (4) : $M_o(G + 1,2 P)$

Moment en travée sous G+1,2P
poutres des portiques transversaux.

Niv.	travée	$M_e + M_w$	q	M_o	M_t	Niv.	travée	$M_e + M_w$	q	M_o	M_t
		2	G+1,2P	G+1,2P	G+1,2P			2	G+1,2P	G+1,2P	G+1,2P
III	1-2	2,44	2	6,13	3,69	VII	1-2	3,65	3,09	9,46	5,81
	2-3	1,69	1,07	0,74	-0,95		2-3	2,55	1,76	1,22	-1,33
	3-4	2,44	2	6,13	3,69		3-4	3,65	3,09	9,46	5,81
IV	1-2	1,98	2,22	6,80	4,82	VI	1-2	3,45	4,15	12,71	9,26
	2-3	1,04	1,33	0,92	-0,12		2-3	1,77	2,30	1,59	-0,18
	3-4	1,98	2,22	6,80	4,82		3-4	3,45	4,15	12,71	9,26
V	1-2	2	2,22	6,80	4,82	V	1-2	3,48	4,15	12,71	9,23
III	2-3	1,02	1,33	0,92	-0,11	III	2-3	1,74	2,30	1,59	-0,15
II	3-4	2	2,22	6,80	4,82	IV	3-4	3,48	4,15	12,71	9,23
I	1-2	1,96	2,22	6,80	4,84	I	1-2	3,42	4,15	12,71	9,29
	2-3	1,06	1,33	0,92	-0,14		2-3	1,81	2,30	1,59	-0,22
	3-4	1,96	2,22	6,80	4,84		3-4	3,42	4,15	12,71	9,29
portique transversal de rive				portique transversal interm.							

Moment en travée sous G+1,2P des poutres du portique longitudinal intermédiaire

Niv.	travée	$M_e + M_w$	q	M_o	M_t	Niv.	travée	$M_e + M_w$	q	M_o	M_t
		2						2			
VII	1-2	1,92	2,38	4,18	3,26	V	1-2	1,66	3,15	5,54	3,38
	2-3	2,61	2,49	5,16	2,55		2-3	2,23	3,3	6,83	4,6
	3-4	2,3	2,38	4,18	3,88		3-4	1,92	3,15	5,54	3,62
	4-5	2,22	"	"	3,65		4-5	1,89	"	"	3,65
	5-6	"	"	"	"		5-6	"	"	"	"
	6-7	"	"	"	"		6-7	"	"	"	"
	7-8	1,59	"	"	3,59		7-8	1,63	"	"	3,91
	8-9	"	"	"	"		8-9	"	"	"	"
VI	1-2	1,67	3,15	5,54	3,87	I	1-2	1,66	"	"	3,88
	2-3	2,23	3,13	6,83	4,6		2-3	2,23	3,3	6,83	4,6
	3-4	1,94	3,15	5,54	3,6		3-4	1,94	3,15	5,54	3,6
	4-5	1,89	4	4	3,65		4-5	1,89	4	4	3,65
	5-6	"	"	"	"		5-6	4	"	"	"
	6-7	"	"	"	"		6-7	"	"	"	"
	7-8	1,62	4	4	3,92		7-8	1,61	4	4	3,93

Moment en travée pour G+1,2 P des poutres du pontique
longitudinal de rive

N.o.	travée n°	$M_e + M_w$ kg	q	M_o	M_t	N.o.	travée n°	$M_e + M_w$ kg	q	M_o	M_t
VII	1-2	1,05	1,27	2,23	1,18	IV	1-2	0,94	1,62	2,85	1,91
	2-3	1,4	1,29	2,67	1,37		2-3	1,23	1,65	3,42	2,19
	3-4	1,96	1,27	2,23	0,97		3-4	1,09	1,62	2,85	1,76
	4-5	1,22	"	"	1,01		4-5	1,07	"	"	1,79
	5-6	4	"	"	"		5-6	"	"	"	4
	6-7	1,23	"	"	1		6-7	"	"	"	0
	7-8	1,02	4	"	1,21		7-8	0,92	4	"	1,93
VI	1-2	0,94	1,62	2,85	1,91	I	1-2	0,94	1,62	"	1,91
	2-3	1,23	1,65	3,42	2,19		2-3	1,23	1,65	3,42	2,19
	3-4	1,1	1,62	2,85	1,75		3-4	1,1	1,62	2,85	1,75
	4-5	1,07	"	"	1,78		4-5	1,07	"	"	1,78
	5-6	1,07	4	"	"		5-6	"	4	"	4
	6-7	"	4	"	"		6-7	4	4	"	4
	7-8	0,92	"	"	1,93		7-8	0,94	4	"	1,94

moment fléchissant dans les poutres du portique transversal intermédiaire

Secteur.	G	P	G+P	$\bar{S}H$	$\bar{S}H$	0,8G + $\bar{S}H$	0,8G + $\bar{S}H$	G+P + $\bar{S}H$	G+P + $\bar{S}H$	
VIO. 2,00	M _E	M _w	M _E	M _w	M _E	M _w	M _E	M _w	M _E	
III	1-2	-4,12	3,18	-0,47	-0,21	-4,68	-3,43	1,57	2,17	0,13
	2-3	-9,55	2,55	-0,23	-0,79	-2,9	-2,1	3,21	3,21	0
	3-4	-3,19	-4,12	-0,21	-0,47	-3,43	-4,68	2,17	1,57	-0,13
II	1-2	-3,65	3,24	-2,46	-2,19	-6,6	-5,87	2,93	3,65	0,39
	2-3	-1,77	-1,77	-1,17	-1,17	-3,18	-5,84	5,84	0	-5,84
	3-4	-3,24	3,65	-2,19	-2,46	-5,87	-6,6	3,65	-2,93	-3,65
I	1-2	3,67	3,28	-2,18	-2,22	-6,65	-5,95	3,61	3,93	0,15
	2-3	-1,84	-1,74	-1,14	-1,14	-3,11	-3,11	3,42	3,42	0
	3-4	-3,29	3,67	-2,22	-2,18	-5,95	-6,65	3,93	3,61	-0,15
II	1-2	3,67	3,28	-2,49	-2,22	-6,65	-5,95	4,56	4,63	0,04
	2-3	-1,84	-1,74	-1,14	-1,14	-3,11	-3,11	3,30	3,30	0
	3-4	-3,29	3,67	-2,22	-2,49	-5,95	-6,65	4,63	4,56	-0,04
III	1-2	3,67	3,28	-2,49	-1,22	-6,65	-5,95	5,12	4,24	0,23
	2-3	-1,84	-1,74	-1,14	-1,14	-3,11	-3,11	3,61	10,6	0
	3-4	-3,29	3,67	-2,22	-2,49	-5,95	-6,65	4,74	5,12	-0,23
II	1-2	3,67	3,28	-2,49	-2,22	-6,65	-5,95	5,71	6,68	0,19
	2-3	-1,84	-1,74	-1,14	-1,14	-3,11	-3,11	11,66	11,64	0
	3-4	-3,29	3,67	-2,22	-2,49	-5,95	-6,65	6,68	5,71	-0,19
I	1-2	3,64	3,19	-2,49	-2,16	-6,59	-5,78	6,15	5,14	-0,51
	2-3	-1,81	-1,81	-1,19	-1,19	-3,24	-3,24	12,55	12,58	0
	3-4	-3,19	3,64	-2,16	-2,49	-5,78	-6,59	5,14	6,15	0,51

Moment fléchissant dans les poutres du portique transversal de rive

Solidification		G			P			G+1.2P			SH			SH			0.8G + SH			0.8G + SH			G + P + SH			G + P + SH		
No.	Time	M ₀	M _w	M _e	M ₀	M _w	M _e	M ₀	M _w	M _e	M ₀	M _w	M _e	M ₀	M _w	M _e	M ₀	M _w	M _e	M ₀	M _w	M _e	M ₀	M _w	M _e			
I	1-2	-2.75	9.13	-0.23	-0.18	-3.03	-2.35	1.39	-2.28	0.45	-1.39	2.28	-0.45	-0.81	-3.98	2.95	-3.59	0.58	2.05	-1.59	-4.59	4.04	-4.37	-0.03	3.14			
	2-3	-1.69	-1.69	-0.14	-0.14	-1.86	-1.86	2.84	-2.84	0	-2.84	2.84	0	1.49	-4.19	-4.82	-4.19	1.49	-0.82	1.01	-4.67	-0.96	-4.67	1.01	-0.46			
	3-4	-2.13	-2.75	-0.18	-0.23	-2.35	-3.03	2.28	-1.39	-0.45	-2.28	1.39	0.45	0.58	-3.59	2.05	-3.19	-0.81	2.95	-0.03	-4.37	3.14	-4.59	-1.59	-0.04			
II	1-2	-2.1	-1.85	-1.21	-1.07	-3.55	-3.14	3.07	-3.82	0.38	-3.07	3.82	-0.38	1.39	-5.30	1.62	-4.75	2.34	1.24	-0.24	-6.74	4.74	-6.38	6.9	3.98			
	2-3	-1.04	-1.04	-0.57	-0.57	-1.73	-1.73	6.27	-6.27	0	-6.27	6.27	0	5.44	-7.10	-0.36	-7.10	5.44	-0.36	4.66	-7.88	-0.18	-7.88	4.66	-0.18			
	3-4	-1.85	-2.1	-1.07	-1.21	-3.14	-3.55	3.82	-3.07	-0.38	-3.82	3.07	0.38	2.34	-4.75	1.24	-5.30	1.39	1.62	-0.94	-6.38	3.98	-6.74	-0.51	4.74			
III	1-2	-2.11	-1.88	-1.21	-1.09	-3.56	-3.19	4.10	-4.41	0.01	-4.10	4.11	0.01	2.41	-5.61	1.62	-5.79	2.61	1.60	0.78	-7.08	4.35	-7.42	1.14	-1.33			
	2-3	-1.02	-1.02	-0.56	-1.69	-1.69	8.35	-8.35	0	-8.35	8.35	0	7.53	-9.17	-0.34	-9.17	7.53	-0.34	6.77	-9.93	-0.16	-9.93	6.77	-0.16				
	3-4	-1.88	-2.11	-1.09	-1.21	-3.19	-3.56	4.11	-4.1	-0.01	-4.11	4.11	0.01	2.61	-5.79	1.60	-5.61	2.41	1.62	1.14	-7.42	4.33	-7.08	0.78	1.33			
IV	1-2	-2.11	-1.88	-1.21	-1.09	-3.56	-3.19	5.63	-4.89	-0.14	-6.63	4.89	0.14	3.94	-6.39	1.21	-7.32	3.39	2.01	2.31	-7.86	3.94	-8.95	1.92	4.74			
	2-3	-1.02	-1.02	-0.56	-0.56	-1.69	-1.69	4.48	-4.48	0	-4.48	4.48	0	10.66	-12.30	-0.34	-12.30	10.66	-0.34	9.90	-13.06	-0.16	-13.06	9.90	-0.16			
	3-4	-1.88	-2.11	-1.09	-1.21	-3.19	-3.56	4.83	-5.63	0.14	-4.83	5.63	0.14	3.39	-7.32	2.01	-6.39	3.94	1.21	1.92	-8.95	4.74	-7.95	2.31	3.94			
V	1-2	-2.11	-1.88	-1.21	-1.09	-3.56	-3.19	5.63	-4.89	-0.14	-6.63	4.89	0.14	3.94	-6.39	1.21	-7.32	3.39	2.01	2.31	-7.86	3.94	-8.95	1.92	4.74			
	2-3	-1.02	-1.02	-0.56	-0.56	-1.69	-1.69	4.48	-4.48	0	-4.48	4.48	0	10.66	-12.30	-0.34	-12.30	10.66	-0.34	9.90	-13.06	-0.16	-13.06	9.90	-0.16			
	3-4	-1.88	-2.11	-1.09	-1.21	-3.19	-3.56	4.83	-5.63	0.14	-4.83	5.63	0.14	3.39	-7.32	2.01	-6.39	3.94	1.21	1.92	-8.95	4.74	-7.95	2.31	3.94			
VI	1-2	-2.11	-1.88	-1.21	-1.09	-3.56	-3.19	6.48	-4.86	-0.76	-6.48	4.86	-0.76	4.79	-6.36	0.85	-8.70	3.36	2.7	3.16	-7.83	3.58	-9.80	1.89	5.7			
	2-3	-1.02	-1.02	-0.56	-0.56	-1.69	-1.69	4.31	-4.31	0	-4.31	4.31	0	12.39	-14.03	-0.34	-14.03	12.39	-0.34	11.63	-14.79	-0.16	-14.79	11.63	-0.16			
	3-4	-1.88	-2.11	-1.09	-1.21	-3.19	-3.56	4.96	-6.48	-0.76	-4.96	6.48	-0.76	3.36	-8.70	2.37	-6.36	4.79	0.85	1.89	-9.80	5.1	-7.83	3.16	3.58			
VII	1-2	-2.11	-1.88	-1.21	-1.09	-3.56	-3.19	7.24	-6.98	-0.13	-7.24	6.98	0.13	5.53	-8.48	1.48	-8.93	5.48	1.74	3.92	-9.95	4.21	-10.56	1.41	4.42			
	2-3	-1.02	-1.02	-0.56	-0.56	-1.69	-1.69	4.76	-4.76	0	-4.76	4.76	0	13.94	-15.58	-0.34	-15.58	13.94	-0.34	13.18	-16.34	-0.16	-16.34	13.18	-0.16			
	3-4	-1.88	-2.11	-1.09	-1.21	-3.19	-3.56	6.98	-7.24	0.13	-6.98	7.24	-0.13	5.48	-8.93	1.74	-8.48	5.55	1.48	4.01	-10.56	4.47	-9.95	3.52	4.21			
VIII	1-2	-2.09	-1.83	-1.20	-1.06	-3.53	-3.14	7.74	-5.36	-0.13	-7.74	5.36	-0.13	6.14	-6.82	0.41	-9.48	3.90	2.82	4.52	-8.25	3.15	-9.15	2.47	5.61			
	2-3	-1.06	-1.06	-0.58	-0.58	-1.76	-1.76	4.59	-4.59	0	-4.59	4.59	0	15.08	-16.78	-0.38	-16.78	15.08	-0.38	14.29	-15.57	-0.18	-15.57	14.29	-0.18			
	3-4	-1.83	-2.09	-1.06	-1.20	-3.10	-3.53	5.36	-7.74	0.13	-5.36	7.74	-0.13	5.48	-9.48	2.87	-6.82	6.14	0.41	2.47	-14.16	3.49	-8.25	4.52	3.95			

clément fléchissant dans les poutres du portique longitudinal de pise.

Secteur	S		P		G+1,2P		SH ²		SH		0,8G + SH ²		0,8G + SH		G + P + SH		G + P + SH ²					
	NID	Me	Mz	Mz	Mw	Me	Mw	Me	Mw	Mz	Mw	Me	Mz	Mw	Me	Mz	Mw	Me	Mz	Mw		
III	1-2	-1,35	-0,75	-0,12	-0,06	-1,49	-0,82	1,76	-2,43	0,39	-1,76	2,43	-0,39	0,68	-3,03	1,12	-2,84	1,83	0,44	0,29	-3,24	
	2-3	-1,39	-1,41	-0,13	-0,13	-1,55	-1,57	1,63	-1,63	0	-1,63	1,63	0	0,52	-2,76	0,8	-2,74	0,50	0,18	0,11	-3,17	
	3-4	-1,22	-1,23	-0,11	-0,12	-1,35	-1,43	1,7	-1,76	0,03	-1,7	1,76	-0,03	0,72	-2,79	0,78	-2,63	0,73	0,72	0,37	"	
	4-5	"	-1,22	"	-0,11	"	-1,35	"	-1,7	0	"	1,7	0	"	-2,63	0,64	"	0,72	0,64	"	-3,03	
	5-6	"	11	"	"	"	"	0	0	"	4	0	"	4	4	"	0,72	4	"	"	4	"
	6-7	1,29	"	"	"	-1,37	"	4	4	0	"	4	0	0,79	"	"	-2,69	"	"	0,35	"	"
	7-8	-0,70	1,28	-0,06	"	-0,83	-1,44	2,43	"	-0,37	-2,43	"	0,37	1,82	-2,72	0,43	-3,04	0,68	1,17	1,61	-3,09	0,84
	1-2	-1,12	-0,36	0,57	0,39	-1,18	-1,23	3,91	-4,92	0,51	-1,91	4,92	-0,51	3,01	-5,53	1,18	-4,89	0,31	0,16	2,22	-6,07	2,24
IV	2-3	-1,2	-1,23	-0,03	-0,03	-1,99	-1,99	3,68	-3,68	0	-3,62	3,68	0	2,60	-4,6	0,70	-4,6	2,64	0,70	1,76	-5,48	1,76
	3-4	-1,07	-1,12	-0,15	-0,15	-1,22	-1,18	3,77	-3,91	0,03	-3,77	3,91	0,03	2,34	-4,81	0,68	-4,63	3,01	0,47	2,16	-5,6	1,84
	4-5	"	-1,07	"	-0,15	"	-1,22	"	-3,77	0	"	3,77	0	"	-4,63	0,57	"	2,31	0,57	"	-5,38	1,60
	5-6	"	"	"	"	3,76	"	0,01	-3,76	"	0,01	2,90	"	"	-4,62	"	"	2,15	"	1,69	-5,37	1,59
	6-7	"	"	"	"	3,76	"	0	0	3,76	0	"	"	-4,62	"	"	2,30	"	"	-5,37	1,60	
	7-8	-0,70	"	-0,37	"	-1,23	"	4,92	"	-0,63	-4,92	0	0,58	4,31	"	0,12	-5,53	"	1,27	3,77	"	1,17
	1-2	-1,11	-0,77	-0,56	-0,39	-1,76	-1,24	3,73	-6,99	0,63	-5,73	6,99	-0,63	4,89	-7,61	1,30	-6,62	6,17	0,04	4,06	-8,15	2,56
	2-3	-1,23	-1,23	-0,63	-0,63	-1,99	-1,99	5,31	-5,31	0	-5,31	5,31	0	4,33	-6,29	0,70	-6,29	4,33	0,70	3,45	-7,17	3,45
V	3-4	-1,07	-1,11	-0,54	-0,56	-1,72	-1,78	5,52	-5,73	0,11	-5,52	5,73	0,11	4,66	-6,62	0,65	-6,38	4,84	0,43	3,91	-7,4	1,69
	4-5	"	-1,07	"	-0,54	"	-1,72	"	-5,52	0	"	5,52	0	"	-6,38	0,57	"	4,66	0,57	"	-7,13	1,67
	5-6	"	"	"	"	5,54	"	-0,01	5,54	"	0,01	4,68	"	"	-6,14	"	"	3,93	"	1,59	-7,15	1,64
	6-7	"	"	"	"	5,54	"	0	0	5,54	0	"	"	-6,14	"	"	4,68	"	"	-7,15	1,6	
	7-8	-0,77	"	-0,39	"	-1,24	"	6,99	"	9,73	-6,99	"	0,73	6,77	4	0,04	-7,61	"	1,42	5,83	"	1,02
	1-2	-1,11	-0,77	-0,56	-0,39	-1,77	-1,24	7,41	-9,21	0,9	-7,41	9,21	-0,19	6,52	-9,83	1,57	-8,30	8,59	-0,23	5,74	-10,37	2,63
	2-3	-1,23	-1,23	-0,63	-0,63	-1,99	-1,99	6,86	-6,86	0	-5,88	6,86	0	5,88	-7,84	0,70	-7,84	5,88	0,70	5	-8,32	1,96
	3-4	-1,07	-1,11	-0,56	-0,56	-1,72	-1,78	7,14	-7,41	0,14	-7,14	7,41	-0,14	6,28	-8,3	0,68	-8	6,52	0,40	5,53	-9,08	1,72
VI	4-5	"	-1,07	"	-0,54	"	-1,72	"	-7,14	0	"	7,14	0	"	-8	0,57	"	6,28	0,57	"	-8,75	1,61
	5-6	"	"	"	"	"	"	0	0	7,14	0	"	"	0	"	"	7,14	0	"	5,53	1,6	
	6-7	"	"	"	"	"	"	0	0	7,14	0	"	"	0	"	"	7,14	0	"	1,6	1,6	
	7-8	-0,77	"	-0,39	-0,54	-1,24	"	9,21	"	-1,04	-9,21	"	3,04	8,59	4	-0,35	-9,83	"	1,73	8,05	"	0,71
	1-2	-1,11	-0,77	-0,56	-0,39	-1,77	-1,24	9,21	"	-1,04	-9,21	"	3,04	8,59	4	-0,35	-9,83	"	1,73	8,05	"	2,48

moment fléchissant dans les poutres du portique longitudinal de pise
(suite)

sollicit.	G			P			G+1/2P			SH			SH			0,8G + SH			0,8G + SH			G + P + SH			G + P + SH				
	M _x	H _w	H _e	M _x	H _w	H _e	M _x	H _w	H _e	M _x	H _w	H _e	M _x	H _w	H _e	M _x	H _w	H _e	M _x	H _w	H _e	M _x	H _w	H _e	M _x	H _w	H _e		
III	1-2	-1,11	-0,77	-0,56	-0,39	-1,78	-1,24	8,14	-1,07	0,89	-8,14	10,15	-0,89	7,51	-10,77	1,55	-9,23	9,53	-0,21	6,73	-11,31	2,61	-10,07	8,99	0,85				
	2-3	-1,23	-1,25	-0,63	-0,53	-1,99	-1,99	7,78	-7,78	0	-7,78	7,78	0	6,8	-8,76	0,70	-8,76	6,80	0,44	5,92	-9,64	1,96	-9,64	5,92	1,96				
	3-4	-1,07	-1,11	-0,54	-0,56	-1,72	-1,72	8,09	0	0,11	-8,09	8,09	0,11	7,23	-9,29	0,65	-8,95	7,51	0,43	6,48	-10,07	1,59	-9,7	6,73	1,47				
	4-5	"	-1,07	"	-0,54	"	-1,72	"	-8,09	0	"	8,09	0	"	-8,95	0,57	"	7,23	0,57	"	-9,7	4,6	"	6,48	1,6				
	5-6	"	"	"	"	"	"	8,07	"	0,01	-8,07	"	-9,01	7,21	"	9,58	-8,93	"	0,56	6,46	"	"	-9,68	"	"				
	6-7	"	"	"	"	"	"	-8,07	0	"	8,07	0	"	-8,93	0,57	"	7,21	0,57	"	-9,68	"	"	6,46	"					
	7-8	-0,77	"	-0,59	"	-1,34	"	10,15	"	-1,04	-10,15	"	1,04	9,53	"	-10,35	-1,07	"	1,73	8,33	"	0,21	-11,34	"	2,79				
	1-2	-1,11	-0,77	-0,56	-0,39	-1,78	-1,24	9,51	-15,16	2,98	-9,51	15,16	-2,98	8,62	-16,08	3,65	8,62	-16,07	2,81	7,84	-16,62	4,24	-16,18	4,20	-9,18				
II	2-3	-1,23	-1,23	-0,63	-0,63	-1,99	-1,99	8,8	-8,8	0	-8,8	8,8	0	7,82	-9,78	0,70	7,82	-9,78	0,70	6,94	-10,06	1,26	-10,06	5,94	1,96				
	3-4	-1,07	-1,11	-0,54	-0,56	-1,72	-1,72	9,16	-9,16	0,18	-9,16	9,16	0,18	8,30	-10,4	0,72	8,30	-10,4	0,36	7,55	-10,18	1,26	-10,32	1,94	1,4				
	4-5	"	-1,07	"	-0,54	"	-1,72	"	-9,16	0	"	9,16	0	8,30	-10,02	0,57	"	-10,02	0,57	"	-10,22	1,6	"	7,55	1,6				
	5-6	"	"	"	"	"	"	"	0	"	8,0	"	11	"	"	"	"	"	"	"	"	"	"	"	"				
	6-7	"	"	"	"	"	"	"	0	"	8,0	"	11	"	"	"	"	"	"	"	"	"	"	"	"				
	7-8	-0,77	"	-0,59	"	-1,24	"	15,46	"	-3,15	-15,46	"	3,15	14,84	"	"	14,84	"	4	14,13	"	-9,14	-16,68	"	4,19				
	1-2	-1,12	-0,75	-0,57	-0,38	-1,8	-1,21	9,81	-10,32	0,26	-9,81	10,32	-0,26	8,91	-10,92	0,93	8,91	-10,92	0,49	8,12	-10,5	1,89	-10,5	9,49	1,42				
	2-3	-1,23	-1,23	-0,63	-0,63	-1,99	-1,99	9,08	-9,08	0	-9,08	9,08	0	8,10	-10,06	0,70	8,10	-10,06	0,70	7,22	-10,34	1,96	-10,94	7,22	1,96				
I	3-4	-1,07	-1,12	-0,54	-0,57	-1,72	-1,8	9,45	-9,45	0,18	-9,45	9,45	0,18	8,59	-10,71	0,72	8,59	-10,71	0,36	7,84	-11,5	1,75	-11,06	8,12	1,33				
	4-5	"	-1,07	"	-0,54	"	-1,72	"	-9,45	0	"	9,45	0	"	-10,31	0,57	"	-10,31	0,57	4	-10,6	1,6	"	7,34	1,6				
	5-6	"	"	"	"	"	"	"	9,5	"	0,03	-9,15	"	0,03	8,64	"	0,55	8,64	"	0,60	7,89	"	1,57	-11,11	"	1,63			
	6-7	"	"	"	"	"	"	"	9,5	"	0	"	11	9,5	"	-10,36	0,57	"	-10,36	0,57	"	-11,11	"	"	7,83	"			
	7-8	-0,75	"	-0,58	"	-1,40	"	10,12	"	-0,41	10,12	"	0,41	9,81	"	0,27	9,81	"	1,11	9,30	"	1,35	-11,54	"	2,17				

élément fléchissant dans les poutres du portique longitudinal intermédiaire

référat.	G	P	$G+1,2P$	$\bar{S}H$	$\bar{S}H$	$0,8G + \bar{S}H$	$0,8G + \bar{S}H$	$G+P+\bar{S}H$	$G+P+\bar{S}H$
Nij.	M _x	M _y	M _x	M _y	M _x	M _x	M _y	M _x	M _y
1-2	-2,48	-1,36	-0,27	-0,45	-2,13	-1,74	-1,64	-2,23	0,32
2-3	-2,59	-2,63	-0,28	-0,29	-2,9	-2,98	-1,52	-1,7	-1,52
3-4	-2,22	-2,33	-0,24	-0,26	-2,51	-2,69	-1,58	-1,64	-0,03
4-5	"	-2,22	"	-0,24	"	-2,81	"	-1,58	"
5-6	"	"	"	"	"	-1,59	4	0	-1,59
6-7	"	"	"	"	"	-1,59	0	"	-1,59
7-8	-0,96	"	-0,44	"	-1,93	"	2,27	"	-0,34
1-2	-1,99	-1,35	-1,23	-0,36	-3,53	-2,38	3,64	-4,59	0,43
2-3	-2,23	-1,44	-1,44	-1,44	-3,96	-3,96	3,38	-3,38	0
3-4	-1,99	-1,99	-1,21	-1,28	-3,34	-3,53	3,51	-3,64	0,07
4-5	"	-1,89	"	-1,91	"	-3,34	"	-3,51	0
5-6	"	"	"	"	"	3,5	4	0,09	-3,5
6-7	"	"	"	"	"	-3,5	0	"	-3,5
7-8	-1,35	"	-0,86	"	-2,38	"	1,59	"	-0,53
1-2	-1,85	-1,37	-1,27	-0,88	-3,47	-2,43	5,34	-6,52	0,59
2-3	-2,23	-2,23	-1,44	-1,44	-3,96	-3,96	4,94	-4,94	0
3-4	-1,89	-1,35	-1,21	-1,27	-3,34	-3,47	5,14	-5,34	0,10
4-5	"	-1,89	"	-1,21	4	-3,34	4	-5,4	0,13
5-6	"	"	"	"	"	4	4	0	4
6-7	"	"	"	"	"	4	4	0	4
7-8	-1,37	"	-0,88	"	-2,43	4	6,52	0	-0,56
1-2	-1,85	-1,37	-1,27	-0,88	-3,47	-2,43	6,94	-8,6	0,85
2-3	-2,23	-2,23	-1,44	-1,44	-3,96	-3,96	6,39	-6,39	0
3-4	-1,89	-1,85	-1,21	-1,27	-3,34	-3,47	6,65	-6,91	0,13
4-5	"	-1,89	"	-1,21	4	-3,34	4	-6,65	0
5-6	"	"	"	"	"	6,65	0	"	6,65
6-7	"	"	"	"	"	6,66	11	-0,01	-6,66
7-8	-1,37	"	-0,88	"	-2,43	4	6,66	0	-6,66

moment fléchissant dans les poutres du portique longitudinal intermédiaire
(suite)

sollicit.	G		P		G+1,2P		$\bar{S}H$		$\sigma_1 8G + \bar{S}H$		$\sigma_1 8G + \bar{S}H$		$G+P+\bar{S}H$		$G+P+\bar{S}H$											
	M _e	M _w	M _e	M _w	M _e	M _w	M _e	M _w	M _e	M _w																
III	1-2	-1,95	-1,37	-1,27	-0,88	-3,47	-2,43	7,83	-9,46	0,82	-7,83	9,46	-0,82	6,27	-10,56	2,00	-9,39	8,36	0,36	4,61	-11,71	4,29	-11,05	7,21	2,65	
	2-3	-2,23	-2,23	-1,44	-1,44	-3,96	-3,96	7,25	-7,25	0	-7,25	7,25	0	5,47	-9,03	1,30	-9,03	5,47	1,30	3,58	-10,92	4,11	-10,92	3,58	4,11	
	3-4	-1,89	-1,95	-1,21	-1,27	-3,34	-3,47	7,54	-7,83	0,15	-7,54	7,83	-0,15	6,03	-9,39	1,12	-9,05	6,97	0,82	4,44	-11,05	3,06	-10,64	4,61	3,36	
	4-5	"	-1,89	"	-1,21	"	-3,34	"	-7,54	0	"	7,54	0	"	-9,05	0,99	"	6,03	0,99	"	-10,64	3,24	"	4,44	3,24	
	5-6	"	"	"	"	"	7,51	"	0,82	-7,51	"	-0,82	6	"	1,1	-9,02	"	0,97	4,41	"	3,26	-10,61	"	"	3,22	
	6-7	"	"	"	"	"	"	"	-7,51	0	"	7,51	0	"	-9,02	0,99	"	6	0,99	"	-10,61	3,24	"	4,41	3,24	
	7-8	-1,37	"	-0,88	"	-2,43	"	9,46	"	-0,88	-9,46	4	0,98	8,36	"	0,22	-10,56	"	2,18	7,21	"	2,52	-11,71	"	"	4,48
	1-2	-1,95	-1,37	-1,27	-0,88	-3,47	-2,43	8,86	-14,39	2,77	-8,86	14,39	-2,77	7,30	-15,49	-3,95	-10,42	13,29	-1,59	5,64	-16,64	6,24	-12,08	12,14	0,70	
IV	2-3	-2,23	-2,23	-1,44	-1,44	-3,96	-3,96	8,20	-8,2	0	-8,2	8,2	0	6,42	-9,98	1,30	-9,98	6,42	1,30	4,53	-11,87	4,11	-11,87	4,53	4,11	
	3-4	-1,89	-1,95	-1,21	-1,27	-3,34	-3,47	8,53	-8,86	0,17	-8,53	8,86	-0,17	7,02	-10,42	1,14	-10,04	7,30	0,80	5,43	-12,08	3,04	-11,63	5,64	3,38	
	4-5	"	-1,89	"	-1,21	"	-3,34	"	-8,53	0	"	8,53	0	"	-10,04	0,99	"	7,02	0,99	"	-11,63	3,24	"	5,43	3,24	
	5-6	"	"	4	"	"	"	"	0	"	0	"	"	"	"	"	"	7,02	0,99	"	-11,63	3,24	"	5,43	3,24	
	6-7	"	"	"	"	"	"	"	0	"	0	"	"	"	"	"	"	7,02	0,99	"	-11,63	3,24	"	5,43	3,24	
	7-8	-1,37	"	-0,88	"	-2,43	"	14,39	"	-2,83	-14,39	11	2,93	13,29	"	-1,73	-15,49	"	4,13	12,14	"	0,57	-16,64	"	"	6,43
	1-2	-1,99	-1,32	-1,28	-0,85	-3,53	-2,34	9,18	-9,68	0,25	-9,18	9,68	-0,25	7,59	-10,74	1,43	-10,73	8,62	0,93	5,91	-11,85	3,72	-12,45	7,51	3,22	
	2-3	-2,23	-2,23	-1,44	-1,44	-3,96	-3,96	8,5	-8,50	0	-8,5	8,5	0	6,72	-10,28	1,30	-10,28	6,72	1,30	4,83	-18,27	4,11	-12,45	4,83	4,11	
V	3-4	-1,89	-1,99	-1,21	-1,28	-3,34	-3,53	8,84	-9,18	0,17	-8,84	9,18	-0,17	7,33	-10,77	1,12	-10,35	7,59	0,78	5,74	-12,45	3,36	-11,94	5,91	3,02	
	4-5	"	-1,89	"	-1,21	"	-3,34	"	-8,84	0	"	8,84	0	"	-10,35	0,99	"	7,33	0,99	"	-11,94	3,24	"	5,74	3,24	
	5-6	"	"	4	"	"	"	8,9	"	-0,03	-8,9	11	0,03	7,39	"	0,95	-10,41	"	1,02	5,8	"	3,21	-12	"	3,97	
	6-7	"	"	4	"	"	"	"	-8,90	0	"	8,9	0	"	-10,41	0,99	"	7,39	0,99	"	-12	3,24	"	5,80	3,24	
	7-8	-1,32	"	-0,85	"	-2,34	"	9,68	"	-0,39	-9,68	11	0,39	8,62	"	0,81	-10,74	"	1,59	7,51	"	3,13	-11,85	"	"	3,91

Combinaison 2 des efforts tranchants dans les poutres

Poutre transversale 1												Poutre transversale 2													
G + 1.2 P				G + Q + S				0.8 G + S				G + 1.2 Q + S				G + Q + S				0.9 G + S					
S	T _E (-)	T _W	T _E	T _W	T _E	T _W	T _E	T _W	T _E	T _W	T _E	T _W	T _E												
1-2	1.81	5.09	5.48	4.24	4.00	5.45	4.84	4.96	2.76	4.44	7.41	4.02	6.91	8.02	6.56	8.56	5.99	4.78	4.47	6.30	4.47	6.30			
1-3	1.25	1.25	3.65	1.19	1.19	3.65	3.33	1.51	1.51	8.32	8.68	2.09	4.77	0.63	0.69	4.77	4.21	1.25	1.25	4.21	1.25	4.21			
2-4	5.09	4.81	5.75	4	4.24	5.48	4.44	2.76	2.76	4.84	7.91	7.41	8.50	6.53	6.98	8.02	6.20	4.77	4.78	5.99	4.77	5.99			
1-2	5.41	5.58	6.43	3.81	3.65	6.59	6.94	6.81	1.24	4.02	10.13	10.42	10.69	10.44	9.05	8.32	5.79	10.96	10.96	10.96	10.96	10.96			
2-3	1.56	1.56	6.11	3.87	3.87	6.18	6.18	6.18	1.53	4.53	6.15	6.71	7.49	7.49	2.45	2.45	2.45	6.24	6.24	6.24	6.24	6.24			
3-4	5.58	5.41	6.59	3.65	3.81	6.43	4.02	1.16	1.24	3.94	10.42	10.13	8.32	8.05	10.42	10.69	3.38	3.15	10.96	10.96	10.96	10.96	10.96		
1-2	5.43	5.58	6.42	3.54	3.40	6.86	6.92	6.97	0.90	4.19	10.13	10.42	10.69	10.44	8.11	7.84	11.17	6.00	5.07	4.94	6.13	6.13			
2-3	1.56	1.56	8.58	5.64	5.64	8.58	7.92	6.36	7.92	2.71	2.71	10.42	10.13	11.17	7.84	3.86	3.86	7.59	7.59	7.59	7.59	7.59			
3-4	5.58	5.43	6.86	3.40	3.54	6.71	4.29	0.90	0.97	4.22	10.42	10.13	11.17	7.84	8.11	10.90	6.19	2.94	2.94	3.02	3.02	3.02			
1-2	5.43	5.58	7.17	3.02	2.95	7.51	4.64	4.67	0.52	0.45	4.74	10.13	10.42	11.17	7.51	11.50	6.33	2.74	2.61	6.46	6.46	6.46			
2-3	1.56	1.56	11.24	6.80	6.80	11.24	10.58	6.96	6.96	6.96	6.96	6.71	10.44	5.40	10.44	9.19	-6.65	6.65	9.19	9.19	9.19	9.19	9.19		
3-4	5.58	5.43	7.31	2.95	6.09	7.14	4.74	0.45	0.52	4.67	10.42	10.13	11.17	7.78	11.23	6.46	2.61	2.74	6.33	6.33	6.33	6.33	6.33		
1-2	5.43	5.58	7.17	3.02	2.95	7.51	4.64	4.67	0.52	0.45	4.74	10.13	10.42	11.17	7.51	11.50	6.33	2.74	2.61	6.46	6.46	6.46			
2-3	1.56	1.56	11.24	6.80	6.80	11.24	10.58	6.96	6.96	6.96	6.96	6.71	10.44	5.40	10.44	9.19	-6.65	6.65	9.19	9.19	9.19	9.19	9.19		
3-4	5.58	5.43	7.31	2.95	6.09	7.14	4.74	0.45	0.52	4.67	10.42	10.13	11.17	7.78	11.23	6.46	2.61	2.74	6.33	6.33	6.33	6.33	6.33		
1-2	5.43	5.58	7.37	2.89	2.75	7.51	4.84	4.87	0.39	0.32	4.94	10.13	10.42	11.17	7.63	11.65	7.36	1.31	1.31	6.61	6.61	6.61			
2-3	1.56	1.56	12.71	9.77	9.77	12.71	11.05	10.43	10.43	12.05	12.05	2.71	11.54	6.50	11.54	10.19	7.75	7.75	10.29	10.29	10.29	10.29	10.29		
3-4	5.58	5.43	7.51	2.75	2.89	7.37	4.94	5.15	0.32	0.15	4.87	10.13	10.42	11.17	7.63	11.65	7.36	1.31	1.31	6.61	6.61	6.61	6.61	6.61	
1-2	5.43	5.58	7.93	4.33	4.19	8.07	5.51	5.51	0.24	0.19	5.80	10.13	10.42	11.17	7.63	7.86	11.65	6.48	8.59	8.59	2.46	2.46	2.46		
2-3	1.56	1.56	14.03	11.09	11.09	14.03	13.74	11.75	13.37	13.37	13.37	13.37	2.71	12.43	7.39	12.43	11.18	-8.64	8.64	11.18	11.18	11.18	11.18	11.18	
3-4	5.58	5.43	8.07	2.19	2.33	7.93	5.50	0.31	0.14	5.43	10.13	12.14	12.14	7.89	7.11	11.87	7.10	1.97	2.10	6.97	6.97	6.97	6.97	6.97	
1-2	5.43	5.58	7.93	4.33	4.19	8.07	5.51	5.51	0.24	0.19	5.80	10.13	10.42	11.17	7.63	7.89	12.43	7.39	12.43	12.43	12.43	12.43	12.43		
2-3	1.56	1.56	14.03	11.09	11.09	14.03	13.74	11.75	13.37	13.37	13.37	13.37	2.71	12.43	7.39	12.43	11.18	-8.64	8.64	11.18	11.18	11.18	11.18	11.18	
3-4	5.58	5.43	8.07	2.19	2.33	7.93	5.50	0.31	0.14	5.43	10.13	12.14	12.14	7.89	7.11	11.87	7.10	1.97	2.10	6.97	6.97	6.97	6.97	6.97	
1-2	5.41	5.59	7.7	2.55	2.38	7.84	5.21	5.02	0.11	0.31	5.30	7.79	8.1	9.31	5.04	7.15	9.60	4.88	0.46	0.32	5.02	5.02	5.02	5.02	5.02
2-3	1.56	1.56	14.03	11.09	11.09	14.03	13.74	11.75	13.37	13.37	13.37	13.37	2.71	12.43	7.39	12.43	11.18	-8.53	8.53	12.83	12.83	12.83	12.83	12.83	
3-4	5.59	5.43	15.03	12.09	12.09	15.03	14.57	12.75	12.75	12.75	12.75	14.37	8.10	7.79	9.60	4.75	5.02	5.02	0.32	0.32	0.46	0.46	0.46	0.46	0.46

(g)

Combinaison des effets tranchants dans les portes

		Portique longitudinal 3)									
niveau	fréquence	G + 1.2 P		G + Q + S		G + Q + S'		0.8 G + S		0.8 G + S'	
		T _{e(-)}	T _w	T _{e(-)}	T _w	-T _e	T _w	T _{e(-)}	T _w	T _{e(-)}	T _w
4	1-2	2.20	2.86	3.29	1.40	1.05	3.54	2.72	0.74	0.48	2.98
	2-3	2.63	2.66	3.39	1.78	1.79	3.38	2.70	1.09	1.16	2.69
	3-4	2.41	2.37	3.29	1.41	1.45	3.25	2.66	0.79	0.82	2.63
	4-5	2.39	2.39	3.26	1.44	1.44	3.26	2.66	0.82	0.82	2.64
	5-6	"	"	"	"	"	"	"	"	"	"
	6-7	"	"	"	"	"	"	"	"	"	"
	7-8	2.54	2.22	3.60	1.09	1.40	3.29	2.94	0.52	0.74	2.72
	7-8	2.89	3.19	5.07	0.63	0.35	5.35	3.80	0.77	0.92	3.95
6	2-3	3.35	3.35	4.92	1.36	1.36	4.92	3.44	0.13	0.12	3.44
	3-4	3.06	3.02	"	0.78	0.82	4.88	3.58	0.55	0.52	3.55
	4-5	3.04	3.04	4.86	0.84	0.84	4.86	3.52	0.50	0.50	3.52
	5-6	"	"	"	"	"	"	"	"	"	"
	6-7	"	"	"	"	"	"	"	"	"	"
	7-8	3.18	2.91	5.30	0.41	0.66	5.05	3.90	0.87	0.74	3.71
	1-2	2.89	3.18	6.10	-0.41	0.69	6.34	4.83	1.81	1.95	4.97
	2-3	3.35	3.35	5.75	0.53	0.53	5.75	4.87	0.95	0.85	4.27
5	3-4	3.05	3.02	5.86	-0.17	0.14	5.83	4.52	1.50	1.48	4.56
	4-5	3.04	3.04	5.80	-0.16	0.10	5.80	4.46	1.44	1.44	4.46
	5-6	3.04	"	"	"	"	"	"	"	"	"
	6-7	"	"	"	"	"	"	"	"	"	"
	7-8	3.17	2.91	6.81	-0.61	0.37	6.07	4.92	1.89	1.66	4.89
	1-2	2.89	3.18	7.14	-1.45	1.72	7.41	5.87	2.85	2.99	6.01
	2-3	3.35	3.35	6.51	-0.23	0.23	6.51	5.03	1.71	1.71	5.03
	3-4	3.05	3.02	6.74	-1.05	1.02	6.71	5.40	2.38	2.36	5.38
4	4-5	3.04	3.04	6.66	-0.96	0.96	6.66	5.32	2.80	2.20	5.32
	5-6	"	"	"	"	"	"	"	"	"	"
	6-7	"	"	"	"	"	"	"	"	"	"
	7-8	3.17	2.91	7.33	-1.63	1.89	7.09	5.94	2.91	2.78	5.81
	1-2	2.89	3.18	7.75	-2.05	2.33	8.02	6.48	3.95	3.60	5.62
	2-3	3.35	3.35	6.96	-0.68	0.68	6.95	5.48	2.16	2.16	5.48
	3-4	3.05	3.02	7.26	-1.57	1.54	7.23	5.92	2.90	2.83	5.90
	4-5	3.04	3.04	7.17	-1.47	1.47	7.17	5.83	2.81	2.81	5.83
3	5-6	"	"	7.16	-1.46	1.42	"	5.82	2.80	2.80	5.82
	6-7	"	"	7.15	"	"	"	5.81	2.79	2.79	5.81
	7-8	3.17	2.91	7.83	-2.13	1.89	7.59	6.44	3.42	3.28	6.31
	1-2	2.89	3.18	9.37	-3.68	3.95	9.64	8.10	5.08	5.22	8.24
	2-3	3.35	3.35	7.46	-1.18	1.18	7.46	5.98	2.66	2.66	5.98
	3-4	3.05	3.02	7.84	-2.15	2.12	7.81	6.50	3.48	3.46	6.48
	4-5	3.04	3.04	7.74	-2.04	2.04	7.74	6.46	3.38	3.38	6.40
2	5-6	"	"	"	"	"	"	"	"	"	"
	6-7	"	"	"	"	"	"	"	"	"	"
	7-8	3.17	2.91	9.54	-3.84	3.60	9.30	8.15	5.12	4.99	8.02
	1-2	2.89	3.20	8.08	-2.37	2.66	8.37	6.81	3.78	3.93	6.96
	2-3	3.35	3.35	7.60	-1.32	1.32	7.60	6.12	2.80	2.80	6.12
	3-4	3.05	3.02	8.01	-2.31	2.27	7.97	6.67	3.64	3.61	6.64
	4-5	3.04	3.04	7.89	-2.19	2.19	7.89	6.55	3.53	3.53	6.55
	5-6	"	"	7.90	-2.20	2.20	7.90	6.56	3.54	3.54	6.56
1	6-7	"	"	"	-2.22	2.22	7.92	"	"	3.56	6.58
	7-8	2.12	9.22	8.27	2.54	2.31	8.01	6.81	3.81	2.21	7.21

Continuation of the Effect of Treatment on Germination

Treat.	Particular experimental C								T _g	T _w		
	G + L + P		G + P + S		G + L + S		G + S + P					
	T _g	T _w	T _g	T _w	T _g	T _w	T _g	T _w				
7	1-2	4.12	4.79	5.08	3.66	3.00	5.74	3.95	2.85	1.84	4.43	
	2-3	5.08	5.02	5.73	4.21	4.23	5.71	4.34	2.83	2.84	4.33	
	3-4	4.51	4.42	5.28	3.47	3.56	7.19	4.84	2.86	2.32	3.42	
	4-5	5.46	4.46	5.21	3.53	3.53	5.21	3.99	2.31	2.31	3.59	
	5-6	"	"	"	"	"	"	"	"	"	"	
	6-7	"	"	"	"	"	"	"	"	"	"	
6	7-8	4.49	4.43	5.43	3.32	3.37	5.33	4.13	2.12	2.12	3.16	
	1-2	5.61	6.22	7.40	3.54	3.00	7.97	4.94	0.81	0.24	5.01	
	2-3	6.42	6.72	7.89	4.57	4.57	7.89	4.69	1.37	1.37	4.89	
	3-4	5.95	5.85	7.43	3.52	3.61	7.34	4.60	0.84	0.70	4.50	
	4-5	5.91	5.21	7.65	3.81	3.61	7.35	4.54	0.80	0.80	4.50	
	5-6	"	"	"	"	"	"	"	"	"	"	
5	6-7	"	"	"	"	"	"	"	"	"	"	
	7-8	6.16	5.64	7.87	3.07	3.55	7.39	4.94	3.8	3.8	3.8	
	1-2	5.62	6.18	8.37	2.54	2.05	8.89	5.70	-0.31	0.62	5.01	
	2-3	6.72	6.72	9.66	3.80	3.80	8.66	5.96	0.60	0.60	2.96	
	3-4	5.93	5.86	9.80	2.64	2.70	8.24	5.48	-0.14	0.18	5.46	
	4-5	5.91	5.91	8.29	2.67	2.67	8.29	5.48	-0.14	0.14	5.48	
4	5-6	"	"	"	"	"	"	"	"	"	"	
	6-7	"	"	"	"	"	"	"	"	"	"	
	7-8	6.76	5.66	9.89	2.07	2.53	8.43	5.96	-0.62	0.40	3.14	
	1-2	5.64	6.18	9.35	1.59	1.07	9.87	6.08	-1.35	1.60	6.04	
	2-3	6.72	6.72	9.37	3.09	3.09	9.37	6.17	-0.11	0.11	2.15	
	3-4	5.93	5.86	9.12	1.82	1.88	9.06	6.38	-0.36	0.44	6.81	
3	4-5	5.91	5.91	9.03	1.93	1.93	9.03	6.26	-0.36	0.18	6.22	
	5-6	"	"	"	"	"	"	"	"	"	"	
	6-7	"	"	"	"	"	"	"	"	"	"	
	7-8	6.16	5.66	9.76	1.18	1.64	9.38	6.85	-1.51	1.29	6.61	
	1-2	5.62	6.18	9.82	1.12	0.60	10.34	7.15	1.82	2.01	7.10	
	2-3	6.72	6.72	9.79	2.67	2.67	9.79	6.59	0.53	0.53	6.59	
2	3-4	5.93	5.86	9.60	1.34	1.40	9.54	6.78	1.44	1.43	6.15	
	4-5	5.91	5.91	9.49	1.47	1.47	9.43	6.68	1.34	1.34	6.68	
	5-6	"	"	"	"	"	"	"	"	"	"	
	6-7	"	"	"	"	"	"	"	"	"	"	
	7-8	6.16	5.66	10.24	0.72	1.18	9.78	7.51	1.97	1.75	7.09	
	1-2	5.62	6.18	11.41	0.47	0.99	11.93	8.44	3.41	3.66	8.99	
1	2-3	6.72	6.72	10.26	2.20	2.20	10.26	7.06	0.99	0.99	6.62	
	3-4	5.93	5.86	10.14	0.80	0.86	10.08	7.32	1.98	1.96	7.30	
	4-5	5.91	5.91	10.03	0.93	0.93	10.03	7.82	1.80	1.88	7.22	
	5-6	"	"	"	"	"	"	"	"	"	"	
	6-7	"	"	"	"	"	"	"	"	"	"	
	7-8	6.16	5.66	11.82	0.86	0.40	11.36	8.89	5.55	3.33	8.67	
1	1-2	5.58	6.22	10.21	0.74	0.15	10.80	7.16	2.81	2.50	7.87	
	2-3	6.72	6.72	10.41	2.05	2.05	10.41	7.21	1.15	1.15	7.81	
	3-4	5.95	5.85	10.33	0.62	0.71	10.24	7.50	2.16	2.16	7.42	
	4-5	5.91	5.91	10.10	0.76	0.76	10.18	7.39	2.05	2.05	7.22	
	5-6	"	"	"	"	"	"	"	"	"	"	
	6-7	"	"	"	"	"	"	"	"	"	"	
	7-8	6.17	5.64	10.68	0.37	0.76	10.19	7.75	2.41	2.17	7.51	

Combinaison des effets normaux dans les poteaux

Nir.	Zoéau	Portique transversale 1					Portique transversale 2				
		G+1,2S NCu	G+ $\frac{8}{3}$ +1,2S NCu	G+ $\frac{8}{3}$ +1,2S NCu	0,8G+ $\frac{8}{3}$ NCu	0,8G+ $\frac{8}{3}$ NCu	G+1,2S NCu	G+ $\frac{8}{3}$ +1,2S NCu	G+ $\frac{8}{3}$ +1,2S NCu	0,8G+ $\frac{8}{3}$ NCu	0,8G+ $\frac{8}{3}$ NCu
4	A	5.09	4.12	5.9	2.82	4.59	7.90	6.63	8.65	4.62	6.45
	B	6.06	3.95	7.99	2.40	6.43	9.48	6.94	11.66	4.35	9.08
	C	1,	7.99	3.95	6.43	2.40	11	11.66	6.94	9.08	4.35
	D	5.09	5.90	4.13	4.59	2.82	7.90	8.83	6.59	6.09	4.39
6	A	12.26	9.24	14.36	5.05	10.16	19.91	16.47	21.47	8.91	13.90
	B	14.62	7.31	20.83	2.29	15.80	23.90	16.04	29.52	6.98	20.47
	C	11	20.83	7.31	15.80	2.29	11	14.08	0.59	8.12	-5.37
	D	12.26	14.36	9.24	10.16	5.05	19.91	21.47	16.47	13.90	8.91
5	A	19.43	14.04	23.14	6.96	16.06	31.92	25.87	34.53	12.95	21.61
	B	23.11	8.89	35.49	0.39	26.98	38.33	23.77	48.75	8.25	33.64
	C	11	35.49	8.89	26.98	0.39	11	48.75	23.77	33.64	8.25
	D	19.43	23.14	14.04	16.06	6.96	31.92	34.53	25.87	21.61	12.95
4	A	26.60	18.30	32.46	8.34	22.50	43.93	34.87	47.99	16.59	29.72
	B	31.79	7.81	52.80	-4.16	40.68	52.75	29.98	69.50	8	47.52
	C	11	52.80	7.82	40.82	-4.16	11	69.50	29.98	47.52	8
	D	26.60	32.46	18.30	22.50	8.34	43.93	47.99	34.87	29.72	16.59
3	A	33.77	22.32	42.02	9.47	29.17	55.94	43.68	61.64	20.05	38
	B	40.37	5.13	71.63	-10.84	56.17	67.17	35.04	91.40	6.60	62.95
	C	11	71.63	5.13	56.17	-10.84	11	91.40	35.04	62.95	6.60
	D	33.77	42.02	22.32	29.17	9.47	55.94	61.64	43.68	38	20.05
2	A	40.95	25.66	52.86	9.93	36.58	67.94	51.91	75.87	22.92	46.87
	B	48.96	1.72	81.38	-17.12	72.44	81.59	39.63	113.77	4.72	78.86
	C	11	81.38	1.72	72.44	-17.12	11	113.77	39.63	78.86	4.72
	D	40.95	52.86	25.66	36.58	9.93	67.94	75.87	51.91	46.87	22.92
1	A	48.13	29.27	62.85	10.65	43.62	77.63	58.09	87.51	24.20	53.62
	B	57.52	-3.26	112.56	-25.67	90.15	94.77	41.79	136.09	0.67	94.96
	C	11	112.56	-3.26	90.15	-25.67	11	136.09	41.79	94.96	0.67
	D	48.13	62.85	29.27	43.62	10.65	77.63	87.51	58.09	53.62	24.20

- Combinaison des moments fléchissants dans les poteaux.

Boutique transversale 1												Boutique transversale 2														
G + 1, 2 P			G + P + 1, 2 S			G + P + 1, 2 S			G + 1, 2 P			G + P + 1, 2 S			G + P + 1, 2 S			G + P + 1, 2 S			G + P + 1, 2 S					
M _m	M _s	M _m	M _m	M _s	M _m	M _m	M _s	M _m	M _m	M _s	M _m	M _m	M _s	M _m	M _m	M _s	M _m	M _m	M _s	M _m	M _m	M _s				
0.35	1.47	0.43	0.23	0.51	0.05	1.03	0.44	1.84	3.51	2.46	0.94	1.47	0.14	3.53	0.06	0.14	3.15	1.30	0.06	0.14	3.15	1.30				
0.17	0.16	0.23	0.69	2.93	2.09	5.92	3.18	4.23	4.71	1.45	-4.62	7.49	4.25	3.99	1.25	6.99	3.46	4.48	2.04	3.46	4.48	2.04				
-1.17	0.86	3.93	2.08	6.13	3.68	4.13	2.48	5.92	3.28	-1.49	4.62	1.99	1.85	7.49	4.25	4.41	2.04	6.99	3.46	4.48	2.04	3.46				
0.35	-1.47	5.65	1.51	0.43	0.43	4.44	1.84	1.03	0.44	3.61	-2.76	6.14	2.63	0.94	1.47	5.15	4.26	0.06	0.14	3.15	1.30					
-0.66	1.59	3.03	0.43	6.13	3.39	3.90	1.16	5.37	2.66	-3.05	2.97	1.55	0.93	7.21	4.57	3	0.51	5.76	2.14	3.03	0.51	5.76	2.14			
0.97	0.94	9.23	6.33	7.43	4.59	8.48	5.89	7.89	5.03	1.82	-1.77	9.64	6.16	6.18	3.58	8.75	6.00	7.16	4.44	3	0.51	5.76	2.14			
-0.94	0.94	4.43	4.59	9.63	7.33	7.88	6.03	8.78	5.89	-1.82	1.77	6.28	3.58	9.64	6.16	6.18	3.58	8.75	6.00	7.16	4.44	3	0.51	5.76	2.14	
1.66	-1.59	6.13	3.97	3.03	0.43	5.37	4.66	3.80	1.16	3.05	-2.97	7.21	4.57	1.55	0.93	7.21	4.57	3	0.51	5.76	2.14	3	0.51	5.76	2.14	
-1.59	1.59	3.45	2.31	6.41	5.27	4.18	3.04	5.68	4.54	-2.97	2.97	1.97	0.87	7.47	4.77	6.37	3.46	2.31	6.03	4.94	3	0.51	5.76	2.14		
0.94	-0.94	10.35	9.94	8.61	8.10	9.91	9.50	9.50	8.64	1.77	-1.77	10.30	10.30	7.42	0.84	7.42	0.84	7.42	0.84	7.42	0.84	7.42	0.84	7.42	0.84	
-0.94	0.94	8.20	10.35	9.94	9.50	8.64	9.91	9.50	9.50	-1.77	1.77	10.30	10.30	7.42	0.84	7.42	0.84	7.42	0.84	7.42	0.84	7.42	0.84	7.42	0.84	
1.59	-1.59	6.41	5.27	3.45	2.31	5.68	4.54	4.18	3.04	1.97	-2.97	7.47	6.37	1.97	0.87	7.47	6.37	3	0.51	5.76	2.14	3	0.51	5.76	2.14	
-1.59	1.59	4.32	3.27	3.27	7.28	6.23	4.68	3.21	7.77	4.71	-1.97	2.97	2.61	1.80	7.31	7.80	4.24	3.24	6.86	5.86	4.24	3.24	6.86	5.86		
0.94	-0.94	12.33	10.83	10.59	8.16	9.98	11.39	9.12	10.52	1.77	-1.77	12.61	12.15	9.33	8.85	11.74	11.26	10.19	9.71	3.46	2.31	3.46	2.31	3.46	2.31	
-0.94	0.94	10.59	8.66	12.33	11.83	9.12	10.52	9.98	11.39	-1.77	1.77	1.77	1.77	9.33	12.61	1.2.13	10.19	9.71	11.44	11.44	11.44	11.44	11.44	11.44		
1.59	-1.59	7.28	6.23	4.32	3.27	3.27	7.28	6.23	4.68	3.21	7.77	4.71	-1.97	2.97	2.61	1.80	7.31	7.80	4.24	3.24	6.86	5.86	4.24	3.24	6.86	5.86
0.94	-0.94	4.47	4.51	7.43	7.47	4.21	4.24	5.71	5.71	-1.77	1.77	1.77	1.77	1.77	1.77	1.77	1.77	1.77	1.77	1.77	1.77	1.77	1.77	1.77	1.77	
0.94	-0.94	13.53	13.60	11.79	10.98	11.04	10.12	10.12	10.18	1.77	-1.77	1.77	1.77	1.77	1.77	1.77	1.77	1.77	1.77	1.77	1.77	1.77	1.77	1.77	1.77	
-0.94	0.94	11.79	11.79	11.79	13.53	13.60	10.12	10.18	10.98	11.04	-1.77	1.77	1.77	1.77	1.77	1.77	1.77	1.77	1.77	1.77	1.77	1.77	1.77	1.77	1.77	
1.59	-1.59	7.43	7.47	4.47	4.51	5.71	5.74	4.21	4.24	5.71	-1.77	1.77	1.77	1.77	1.77	1.77	1.77	1.77	1.77	1.77	1.77	1.77	1.77	1.77	1.77	
0.94	-0.94	13.53	13.60	11.79	10.98	11.04	10.12	10.12	10.18	1.77	-1.77	1.77	1.77	1.77	1.77	1.77	1.77	1.77	1.77	1.77	1.77	1.77	1.77	1.77	1.77	
-0.94	0.94	11.79	11.79	11.79	13.53	13.60	10.12	10.18	10.98	11.04	-1.77	1.77	1.77	1.77	1.77	1.77	1.77	1.77	1.77	1.77	1.77	1.77	1.77	1.77	1.77	
1.59	-1.59	7.47	7.43	4.47	4.51	5.74	5.71	4.21	4.24	5.71	-1.77	1.77	1.77	1.77	1.77	1.77	1.77	1.77	1.77	1.77	1.77	1.77	1.77	1.77	1.77	
0.94	-0.94	13.60	13.53	11.79	10.98	11.04	10.12	10.12	10.18	1.77	-1.77	1.77	1.77	1.77	1.77	1.77	1.77	1.77	1.77	1.77	1.77	1.77	1.77	1.77	1.77	
-0.94	0.94	11.79	11.79	11.79	13.53	13.60	10.12	10.18	10.98	11.04	-1.77	1.77	1.77	1.77	1.77	1.77	1.77	1.77	1.77	1.77	1.77	1.77	1.77	1.77	1.77	
1.59	-1.59	7.43	7.47	4.47	4.51	5.71	5.74	4.21	4.24	5.71	-1.77	1.77	1.77	1.77	1.77	1.77	1.77	1.77	1.77	1.77	1.77	1.77	1.77	1.77	1.77	
0.94	-0.94	13.53	13.60	11.79	10.98	11.04	10.12	10.12	10.18	1.77	-1.77	1.77	1.77	1.77	1.77	1.77	1.77	1.77	1.77	1.77	1.77	1.77	1.77	1.77	1.77	
-0.94	0.94	11.79	11.79	11.79	13.53	13.60	10.12	10.18	10.98	11.04	-1.77	1.77	1.77	1.77	1.77	1.77	1.77	1.77	1.77	1.77	1.77	1.77	1.77	1.77	1.77	
1.59	-1.59	7.47	7.43	4.47	4.51	5.74	5.71	4.21	4.24	5.71	-1.77	1.77	1.77	1.77	1.77	1.77	1.77	1.77	1.77	1.77	1.77	1.77	1.77	1.77	1.77	
0.94	-0.94	13.60	13.53	11.79	10.98	11.04	10.12	10.12	10.18	1.77	-1.77	1.77	1.77	1.77	1.77	1.77	1.77	1.77	1.77	1.77	1.77	1.77	1.77	1.77	1.77	
-0.94	0.94	11.79	11.79	11.79	13.53	13.60	10.12	10.18	10.98	11.04	-1.77	1.77	1.77	1.77	1.77	1.77	1.77	1.77	1.77	1.77	1.77	1.77	1.77	1.77	1.77	
1.59	-1.59	7.43	7.47	4.47	4.51	5.71	5.74	4.21	4.24	5.71	-1.77	1.77	1.77	1.77	1.77	1.77	1.77	1.77	1.77	1.77	1.77	1.77	1.77	1.77	1.77	
0.94	-0.94	13.53	13.60	11.79	10.98	11.04	10.12	10.12	10.18	1.77	-1.77	1.77	1.77	1.77	1.77	1.77	1.77	1.77	1.77	1.77	1.77	1.77	1.77	1.77	1.77	
-0.94	0.94	11.79	11.79	11.79	13.53	13.60	10.12	10.18	10.98	11.04	-1.77	1.77	1.77	1.77	1.77	1.77	1.77	1.77	1.77	1.77	1.77	1.77	1.77	1.77	1.77	
1.59	-1.59	7.47	7.43	4.47	4.51	5.74	5.71	4.21	4.24	5.71	-1.77	1.77	1.77	1.77	1.77	1.77	1.77	1.77	1.77	1.77	1.77	1.77	1.77	1.77	1.77	
0.94	-0.94	13.60	13.53	11.79	10.98	11.04	10.12	10.12	10.18	1.77	-1.77	1.77	1.77	1.77	1.77	1.77	1.77	1.77	1.77	1.77	1.77	1.77	1.77	1.77	1.77	
-0.94	0.94	11.79	11.79	11.79	13.53	13.60	10.12	10.18	10.98	11.04	-1.77	1.77	1.77	1.77	1.77	1.77	1.77	1.77	1.77	1.77	1.77	1.77	1.77	1.77	1.77	
1.59	-1.59	7.43	7.47	4.47	4.51	5.71	5.74	4.21	4.24	5.71	-1.77	1.77	1.77	1.77	1.77	1.77	1.77	1.77	1.77	1.77	1.77	1.77	1.77	1.77	1.77	
0.94	-0.94	13.53	13.60	11.79	10.98	11.04	10.12	10.12	10.18	1.77	-1.77	1.77	1.77	1.77	1.77	1.77	1.77	1.77	1.77	1.77	1.77	1.77	1.77	1.77	1.77	
-0.94	0.94	11.79	11.79	11.79	13.53	13.60	10.12	10.18	10.98	11.04	-1.77	1.77	1.77	1.77	1.77	1.77	1.77	1.77	1.77	1.77	1.77	1.77	1.77	1.77	1.77	
1.59	-1.59	7.47	7.43	4.47	4.51	5.74	5.71	4.21	4.24	5.71	-1.77	1.77	1.77	1.77	1.77	1.77	1.77	1.77	1.77	1.77	1.77	1.77	1.77	1.77	1.77	
0.94	-0.94	13.60	13.53	11.79	10.98	11.04	10.12	10.12	10.18	1.77	-1.77	1.77	1.77	1.77	1.7											

- Comparaison des effets normaux (cumulés) dans les poteaux

mine	Poteau	Portique longitudinale D					Portique longitudinale C				
		G + 1.28	G + 2 + 1.28	G + 2 + 1.25	0.8G + 5	0.8G + 5	G + 1.28	G + 2 + 1.28	G + 2 + 1.25	0.8G + 5	0.8G + 5
M	1	2.56	1.18	3.86	0.74	0.98	4.79	3.45	5.95	2.35	4.43
	2	4.83	5.13	4.37	3.81	3.17	9.18	9.35	8.65	6.78	6.20
	3	5.00	4.78	5.06	3.49	3.73	9.49	9.18	9.44	6.60	6.82
	4	4.90	4.73	4.71	3.48	3.46	9.96	8.81	8.77	6.35	6.32
	5	4.78	4.70	4.70	3.46	11	9.91	8.73	8.75	6.29	6.31
	6	4.78	"	"	"	"	8.69	"	9.72	6.20	"
	7	4.60	4.30	4.76	3.15	3.53	"	6.50	8.94	6.12	6.48
6	8	2.54	3.82	1.19	2.94	0.74	4.49	5.64	3.16	4.18	2.12
	1	7.34	2.92	11.28	1.24	8.20	12.30	7.87	15.65	3.99	10.47
	2	12.66	13.27	11.11	8.76	6.96	23.09	23.08	23.02	14.16	12.50
	3	12.96	12.04	12.95	7.66	8.44	23.66	22.13	22.99	13.20	14.02
	4	12.49	12.09	11.97	7.83	7.73	22.41	21.45	21.31	13.03	12.91
	5	12.45	11.99	11.99	7.75	7.75	22.32	21.28	21.80	12.91	12.93
	6	12.45	"	"	"	"	"	"	21.29	"	"
5	7	12.15	12.10	12.30	7.07	8.07	22.02	20.46	21.54	12.33	13.27
	8	7.31	12.17	2.97	8.12	1.28	12.84	15.53	7.87	10.40	4.02
	1	12.11	3.43	19.91	0.71	14.45	20.07	11.40	26.76	4.96	17.70
	2	20.50	21.65	17.61	13.96	10.56	37.02	36.92	33.19	21.74	18.63
	3	20.93	19.10	20.98	11.71	13.27	37.83	34.94	36.76	19.89	21.35
	4	20.17	19.45	19.21	12.19	11.99	35.84	34.01	32.89	19.64	19.54
	5	20.18	19.28	19.28	12.05	12.05	35.72	33.83	33.85	19.53	"
4	6	"	19.27	"	"	"	"	"	33.84	"	"
	7	19.69	17.81	19.93	10.92	12.68	35.18	32.33	34.35	18.46	20.14
	8	12.07	19.74	3.52	10.30	0.78	19.98	26.64	11.35	17.63	4.85
	1	16.88	2.68	20.80	-0.87	21.73	27.84	13.75	39.05	4.82	25.90
	2	28.33	30.36	23.78	19.36	13.88	50.94	51.15	45.01	29.58	24.46
	3	28.89	26.05	29.15	15.64	18.22	52.00	47.63	50.53	26.37	28.79
	4	27.86	26.83	26.43	16.56	16.22	49.87	46.66	46.38	26.34	26.10
3	5	27.80	26.57	26.57	16.34	16.34	49.13	46.38	46.40	26.14	26.16
	6	"	26.56	26.56	16.33	16.35	"	"	46.39	26.15	26.15
	7	27.24	24.38	27.76	14.60	17.46	48.34	44.83	47.29	24.45	27.17
	8	16.83	29.53	2.85	21.51	-0.73	27.73	38.93	13.77	25.75	4.88
	1	21.65	1.20	40.42	-8.05	29.63	35.61	15.54	31.90	4.27	34.57
	2	36.16	29.85	29.76	24.95	17.03	24.96	65.44	56.78	37.48	30.26
	3	36.85	38.92	37.40	19.50	23.24	66.17	60.24	64.44	32.79	32.29
2	4	35.54	34.23	33.63	20.95	20.45	62.70	59.33	58.85	33.04	32.64
	5	35.47	33.87	33.85	20.65	20.63	62.84	58.94	58.94	32.77	32.77
	6	"	33.86	33.86	"	20.64	"	"	"	"	"
	7	34.79	30.82	35.60	18.27	28.25	61.50	55.72	60.24	30.43	34.19
	8	21.59	39.93	1.57	29.28	-2.74	35.48	51.56	15.64	34.35	4.41
	1	26.42	-2.22	52.91	-6.86	39.14	43.38	15.42	66.66	2.14	44.84
	2	44.00	49.51	34.39	31.67	19.07	78.79	81.08	67.26	46.50	34.94
1	3	44.81	39.68	45.76	23.98	18.34	80.34	72.77	78.43	39.14	43.86
	4	43.23	41.64	40.82	15.34	24.66	76.13	72.01	71.31	39.75	39.17
	5	43.15	41.15	41.14	24.95	24.93	75.94	71.49	71.49	39.38	39.38
	6	"	41.15	"	"	"	"	"	71.49	"	"
	7	42.33	35.98	44.78	20.83	28.17	74.66	66.17	71.43	35.38	42.26
	8	26.35	51.37	-1.75	38.64	-6.46	43.22	66.40	15.60	44.51	2.55
	1	31.21	-4.07	64.01	9.36	47.38	51.19	16.74	80.06	1.20	53.96
1	2	51.83	58.04	40.74	66.95	22.53	92.68	95.16	79.18	54.18	40.92
	3	52.77	46.43	54.13	27.04	33.46	94.51	85.26	92.44	45.45	51.45
	4	50.92	49.07	48.01	29.75	28.87	89.58	84.71	93.79	46.48	45.72
	5	50.82	48.44	48.44	29.23	29.23	89.35	84.03	84.05	45.99	46.01
	6	"	46.42	"	29.21	29.25	"	"	4	"	"
	7	49.87	42.87	52.61	29.94	32.62	87.79	78.22	86.98	41.66	48.96

- Combinaison des moments fléchissants dans les poteaux.

Portique Longitudinale C											
niveau	Bfam	G + 1.2 P		G + P + 1.2 S		G + P + 1.2 S'		0.8 G + S		0.8 G + S'	
		M _M	M _S								
4	1	-1.54	1.12	1.21	0.34	4.23	2.42	1.18	0.65	3.36	1.65
	2	0.17	-0.21	3.96	2.75	3.62	2.37	3.28	2.22	3.04	2.04
	3	-0.22	0.21	3.57	2.37	4.01	2.75	2.99	2.04	3.33	2.22
	4	0	0	3.79	2.56	3.79	2.56	3.16	2.13	3.16	2.13
	5	"	"	"	"	"	"	"	"	"	"
	6	"	"	3.82	2.53	3.92	2.53	3.18	2.11	3.18	2.11
	7	"	"	"	"	"	"	"	"	"	"
	8	1.43	-1.12	4.12	2.42	1.32	0.34	3.28	1.65	1.26	0.65
6	1	-1.26	1.21	2.96	1.63	5.30	3.87	2.87	1.75	4.01	2.83
	2	0.24	-0.22	6.09	5.00	5.65	4.60	4.99	4.10	4.79	3.90
	3	-0.24	0.22	5.65	4.60	6.09	5.00	4.79	3.90	4.89	4.10
	4	0	0	5.87	4.80	5.87	4.80	4.89	4.00	4.89	4.00
	5	"	"	"	"	"	"	"	"	"	"
	6	"	"	"	"	"	"	"	"	"	"
	7	"	"	"	"	"	"	"	"	"	"
	8	1.26	-1.21	5.30	3.87	2.96	1.63	4.01	2.83	2.87	1.75
5	1	-1.21	1.21	3.96	3.04	6.20	5.38	3.69	2.93	4.77	4.01
	2	0.22	-0.22	7.74	7.05	7.39	6.65	6.38	5.81	6.18	5.61
	3	-0.22	0.22	7.34	6.65	7.74	7.05	6.18	5.61	6.38	5.81
	4	0	0	7.54	6.85	7.54	6.35	6.28	5.71	6.28	5.71
	5	"	"	"	"	"	"	"	"	"	"
	6	"	"	7.08	6.80	7.88	6.80	6.32	5.67	6.32	5.67
	7	"	"	"	"	"	"	"	"	"	"
	8	1.21	-1.21	6.20	5.28	3.96	3.04	4.77	4.01	3.69	2.93
4	1	-1.21	1.21	5.04	3.92	7.28	6.16	4.59	3.66	5.67	4.74
	2	0.22	-0.22	9.31	8.48	8.91	8.08	7.69	7.00	4.49	6.80
	3	-0.22	0.22	9.91	8.08	9.31	8.48	7.49	6.80	7.69	6.89
	4	0	0	9.11	8.28	9.11	8.28	7.59	6.90	7.59	6.90
	5	"	"	"	"	"	"	"	"	"	"
	6	"	"	9.17	8.22	9.17	8.22	7.64	6.85	7.64	6.85
	7	"	"	"	"	"	"	"	"	"	"
	8	4.21	-1.21	7.28	6.16	5.04	3.92	5.67	4.74	4.59	3.66
3	1	-1.21	1.21	5.26	5.29	5.19	5.13	4.72	4.75	4.43	7.47
	2	0.22	-0.22	8.17	8.23	10.00	10.09	8.67	8.33	9.60	9.68
	3	-0.22	0.22	"	"	9.60	9.69	8.07	8.13	10.00	10.08
	4	0	0	"	"	9.80	9.88	8.17	8.23	9.80	9.88
	5	"	"	"	"	"	"	"	"	"	"
	6	"	"	"	"	"	"	"	"	"	"
	7	"	"	"	"	"	"	"	"	"	"
	8	1.21	-1.21	5.26	5.29	5.43	7.47	5.80	5.83	5.19	5.23
2	1	-1.21	1.21	9.10	2.29	9.80	1.63	8.56	1.75	12.04	3.87
	2	0.22	-0.22	8.83	8.89	10.80	10.87	8.93	8.99	10.40	10.47
	3	-0.22	0.22	"	"	10.40	10.47	8.73	8.79	10.80	10.87
	4	0	0	"	"	10.60	10.67	8.93	8.99	10.60	10.67
	5	"	"	"	"	"	"	"	"	"	"
	6	"	"	"	"	"	"	"	"	"	"
	7	"	"	"	"	"	"	"	"	"	"
	8	1.21	-1.21	9.10	2.29	12.04	3.87	9.64	2.85	9.80	1.63
1	1	-1.21	1.32	17.39	11.09	7.75	12.09	6.85	10.50	9.99	14.53
	2	0.22	-0.24	8.79	13.05	10.75	15.88	8.89	13.15	10.85	15.44
	3	-0.22	0.24	"	"	10.35	15.44	8.69	12.95	10.75	15.88
	4	0	0	"	"	10.55	15.66	8.79	13.05	10.55	15.66
	5	"	"	"	"	"	"	"	"	"	"
	6	"	"	8.90	12.94	10.63	15.53	8.90	12.94	10.63	15.53
	7	"	"	"	"	"	"	"	"	"	"
	8	1.21	-1.22	17.29	11.09	9.99	14.53	7.93	11.68	9.99	14.53

- Combinaisons des moments fléchissants dans les portiques

Niveau	Portique	Portique Longitudinale D									
		G + 1.2P		G + P + 1.2S		G + P + 1.2S'		0.8G + S		0.8G + S'	
		M _m	M _s	M _w	M _{s'}	M _m	M _s	M _m	M _{s'}	M _m	M _s
7	1	-0.92	0.58	2.11	-0.94	3.73	2.02	1.83	0.94	3.03	1.52
	2	0.07	-0.09	4.14	-2.82	4.00	2.66	3.44	2.32	3.34	2.24
	3	-0.11	0.09	3.96	-2.66	4.18	2.82	3.31	2.24	3.47	2.32
	4	0	0	4.07	2.74	4.07	2.74	3.39	2.88	3.39	2.88
	5	0	0	"	"	"	"	"	"	"	"
	6	0	0	4.08	2.71	4.08	2.71	3.40	2.86	3.40	2.86
	7	-0.03	0	4.05	2.71	4.11	2.71	3.38	2.22	3.42	"
	8	0.81	-0.58	3.72	2.02	2.12	0.94	3.02	1.52	1.84	0.94
6	1	-0.64	0.63	3.83	2.35	5.03	3.53	3.37	2.14	4.01	2.76
	2	0.10	-0.10	6.39	0.25	6.21	5.07	5.30	4.35	5.20	4.85
	3	-0.10	0.10	6.21	5.07	6.39	5.25	5.20	4.25	5.30	4.35
	4	0	0	6.80	5.16	6.38	5.16	5.25	4.30	5.35	4.30
	5	0	0	"	"	"	"	"	"	"	"
	6	0	0	"	"	"	"	"	"	"	"
	7	0	0	"	"	"	"	"	"	"	"
	8	0.64	-0.63	5.03	3.53	3.83	2.35	4.01	2.76	3.37	2.14
5	1	-0.63	0.63	4.86	3.87	6.04	5.05	4.23	3.41	4.85	4.03
	2	0.10	0.10	8.18	7.43	8.00	7.25	6.79	6.17	6.69	6.07
	3	-0.10	0.10	8.00	7.25	8.18	7.43	6.69	6.07	6.79	6.17
	4	0	0	8.09	7.34	8.09	7.34	6.74	6.12	6.74	6.12
	5	0	0	"	"	"	"	"	"	"	"
	6	0	0	8.14	7.30	8.14	7.30	6.78	6.08	6.78	6.08
	7	0	0	"	"	"	"	"	"	"	"
	8	0.63	-0.63	6.04	5.05	8.86	3.87	4.85	4.03	4.83	3.41
4	1	-0.63	0.63	6	4.81	7.18	5.99	5.18	4.19	5.80	4.81
	2	0.10	-0.10	9.87	8.98	9.69	8.80	8.20	7.46	8.10	7.35
	3	-0.10	0.10	9.69	8.80	9.87	8.98	8.10	7.36	8.20	7.46
	4	0	0	9.78	8.89	9.78	8.89	8.25	7.41	8.10	7.41
	5	0	0	"	"	"	"	"	"	"	"
	6	0	0	9.84	8.83	9.84	8.83	8.20	7.35	8.20	7.36
	7	0	0	"	"	"	"	"	"	"	"
	8	+0.63	-0.63	7.18	5.99	6.00	4.81	5.80	4.81	5.18	4.19
3	1	-0.63	0.63	6.19	5.72	4.37	6.20	5.34	4.95	5.96	5.57
	2	0.10	-0.10	10.61	9.89	10.43	9.71	8.82	8.22	8.72	8.12
	3	-0.10	0.10	10.43	9.71	10.61	9.89	8.72	8.12	8.82	8.22
	4	0	0	10.58	9.80	10.58	9.80	8.77	8.17	8.77	8.17
	5	"	"	"	"	"	"	"	"	"	"
	6	"	"	"	"	"	"	"	"	"	"
	7	"	"	"	"	"	"	"	"	"	"
	8	0.63	-0.63	7.37	6.90	6.19	5.72	5.96	5.57	5.34	4.95
2	1	-0.63	0.63	11.15	2.36	12.33	3.54	8.47	2.15	10.09	2.77
	2	0.10	-0.10	11.48	12.55	11.80	11.37	9.54	9.60	9.44	9.50
	3	-0.10	0.10	11.30	11.37	11.48	11.55	9.44	9.50	9.54	9.60
	4	0	0	11.39	11.46	11.39	11.46	9.49	9.55	9.49	9.55
	5	"	"	"	"	"	"	"	"	"	"
	6	"	"	"	"	"	"	"	"	"	"
	7	"	"	"	"	"	"	"	"	"	"
	8	0.63	-0.63	12.33	3.54	11.15	2.36	10.09	2.77	9.47	2.15
1	1	-0.63	0.63	8.84	13.51	10.02	14.77	7.55	11.44	8.17	12.12
	2	-0.10	-0.10	11.30	16.73	11.12	16.53	9.39	13.91	9.29	13.81
	3	-0.10	-0.10	11.12	16.53	11.30	16.73	9.29	13.81	9.39	13.91
	4	0	0	11.21	16.63	11.21	16.63	9.34	13.86	9.34	13.86
	5	"	"	"	"	"	"	"	"	"	"
	6	"	"	"	"	"	"	"	"	"	"
	7	"	"	"	"	"	"	"	"	"	"
	8	0.02	-0.63	10.28	16.77	8.94	12.81	8.17	12.12	7.87	11.16

FERRAILLAGE DES POUTRES

Méthode calcul : Les poutres sont calculées en flexion simple.

La méthode utilisée est celle de Pierre Charon.
On commence par calculer $\mu = \frac{15M}{\bar{\sigma}_a \cdot b h^2}$ et puis en se référant

au tableau de Charon, on tire les valeurs de ϵ et κ .

On calcule $\sigma'_b = \frac{\bar{\sigma}_a}{\kappa} \begin{cases} \text{si } \sigma'_b \leq \bar{\sigma}'_b & \text{Section sans armatures comprimées,} \\ \text{si } \sigma'_b > \bar{\sigma}'_b & \text{Section avec armatures comprimées} \end{cases}$
Section sans armatures comprimées.

La section d'armatures tendues est donnée par l'équilibre des moments : $A = \frac{M}{\bar{\sigma}_a \cdot \epsilon \cdot h}$

Section avec armatures comprimées

Deux cas se présentent :

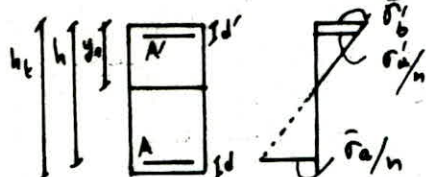
1^{er} cas : Si $\frac{\bar{\sigma}_a}{\bar{\sigma}'_b} > \frac{15(h-d')}{h+d'}$ on prendra $\kappa = \frac{\bar{\sigma}_a}{\bar{\sigma}'_b}$ (cas fréquent)

on aura $\sigma'_b = \bar{\sigma}'_b$ et $\sigma'_a = \frac{15(y_1-d')}{\bar{\sigma}'_b h}$

ayant κ , on tire des tableaux α , μ' , ϵ

on a : $y_1 = \alpha h$, $M_1 = \mu' b h^2 \cdot \bar{\sigma}'_b$; $\Delta M = M - M_1$

et les sections d'armatures seront : $A' = \frac{\Delta M}{(h-d') \bar{\sigma}'_a}$; $A = \frac{M_1}{\bar{\sigma}_a \cdot \epsilon \cdot h} + \frac{\Delta M}{\bar{\sigma}_a \cdot \epsilon \cdot h (h-d')}$



2^{ème} cas : Si $\frac{\bar{\sigma}_a}{\bar{\sigma}'_b} < \frac{15(h-d')}{h+d'}$ on prend $\kappa = 15(h-d')$ (cas moins fréquent)

avec $\sigma'_b = \frac{\bar{\sigma}_a}{\kappa}$ et $\sigma'_a = \bar{\sigma}'_b$ de κ on tire des tableaux ϵ et μ' .

$$A = \frac{M_1}{\bar{\sigma}_a \cdot \epsilon \cdot h} + \frac{\Delta M}{\bar{\sigma}_a \cdot (h-d')}$$

Armatures longitudinales : Les poutres seront ferrailleées en flexion simple (CCB 68).

La section d'acier sera déterminée sous la forme défavorable des sollicitations du premier genre ($\max(SP_1)$) et du second genre ($\max(SP_2)$)

o si $\max(1,5 M_1 S P_1, M_1 S P_2) = 1,5 M_1 S P_1$; on calcule A sous $S P_1$

o si $\max(4,5 M_1 S P_1, M_1 S P_2) = M_1 S P_2$; on calcule A sous $S P_2$

Cas des moments négatifs : Soit A'_1 section supérieure donnée

par le RPA 81 et $A_{0,up}$ la section donnée par le moment négatif. Alors la section adoptée sera : $A_{0,up} \geq \max(A_{0,up}, A'_1)$

Cas des moments positifs : Soit A_1 la section minimale inférieure donnée par le RPA 81.

Les armatures seront soumises à une traction égale à $T + \frac{M}{h^2}$ alors on définit $A_{0,up}$ de la façon suivante : $A_{0,up} \geq \frac{T + M/2}{\bar{\sigma}_a}$

La section d'armatures inférieures sera définie comme $\bar{\sigma}_a$.

Soit : $A_{0,up} \geq \max(A_{0,up}, A_1, A_{0,up}^{min})$; $A_{0,up}$ étant la section donnée par le moment positif.

Armature transversale: les armatures transversales ont pour tout de reprendre l'effort tranchant dans la poutre et empêcher la fissuration, contrainte de cisaillement maximale.

$$z_b = \frac{T_{\text{max}}}{b \cdot z} \quad \text{avec } z = \frac{4}{3} h. \quad b: \text{longeur de la poutre} \\ h: \text{bras de levier de la section}$$

Contraintes admissibles des armatures transversales

- $\bar{\sigma}_{\text{at}} = \frac{2}{3} \bar{\sigma}_{\text{en}}$ si on a reprise de bétonnage.
 - $\bar{\sigma}_{\text{at}} = \min \left\{ \left(1 - \frac{z_b}{\bar{\sigma}_{b0}'}\right) \bar{\sigma}_{\text{en}}, \frac{2}{3} \bar{\sigma}_{\text{en}} \right\}$ si on n'a pas reprise de bétonnage
- Contraintes admissibles de cisaillement

Si $\begin{cases} z_b \leq 3,5 \bar{\sigma}_b & \text{lorsque } \bar{\sigma}_b' \leq \bar{\sigma}_{b0}' \\ z_b \leq (4,5 - \bar{\sigma}_b') \bar{\sigma}_b & \text{lorsque } \bar{\sigma}_{b0}' \leq \bar{\sigma}_b' \leq 2 \bar{\sigma}_{b0}' \end{cases}$ utilisation de cadres

Si $\begin{cases} 3,5 \bar{\sigma}_b \leq z_b \leq 5 \bar{\sigma}_b & \text{lorsque } \bar{\sigma}_b' \leq \bar{\sigma}_{b0}' \\ (4,5 - \frac{z_b}{\bar{\sigma}_{b0}'}) \bar{\sigma}_b \leq z_b \leq 5 \bar{\sigma}_b & \text{lorsque } \bar{\sigma}_{b0}' \leq \bar{\sigma}_b' \leq 2 \bar{\sigma}_{b0}' \end{cases}$ utilisation des cadres et étriers verticaux plus de barres inclinées.

Si $z_b > 5 \bar{\sigma}_b$ il faut changer la section de béton.

avec $\begin{cases} \bar{\sigma}_b = 5,9 \text{ kg/cm}^2 \text{ sous SP}_1 \\ \bar{\sigma}_b = 8,85 \text{ kg/cm}^2 \text{ sous SP}_2 \end{cases}$ $\begin{cases} \bar{\sigma}_{b0}' = 68,5 \text{ kg/cm}^2 \text{ sous SP}_1 \\ \bar{\sigma}_{b0}' = 102,75 \text{ kg/cm}^2 \text{ sous SP}_2 \end{cases}$

Calcul des espacements des armatures transversales.

$$t \leq \frac{A_t \cdot z \cdot \bar{\sigma}_{\text{at}}}{T}$$

Espacement admissible: $\bar{t} = \max(\bar{t}_1, \bar{t}_2)$ avec $\begin{cases} \bar{t}_1 = \left(1 - \frac{z_b}{\bar{\sigma}_{b0}'}\right) h \\ \bar{t}_2 = 0,2 h \end{cases}$

Espacement donné par le RPA 81

En zone nodale : $s \leq \min \left(\frac{h_t}{4}, 12 \phi \right)$; En zone courante $s \leq \frac{h_t}{2}$

ϕ : le plus petit diamètre calculé, et dans le cas d'une section en traveé avec armatures comprimées, c'est le diamètre le plus petit des aciers comprimés.

D'où l'espacement admissible : $\bar{t} = \min(s, \max(\bar{t}_1, \bar{t}_2))$

Applications.

Ferraillage des poutres: toutes les poutres ont une section 30×50

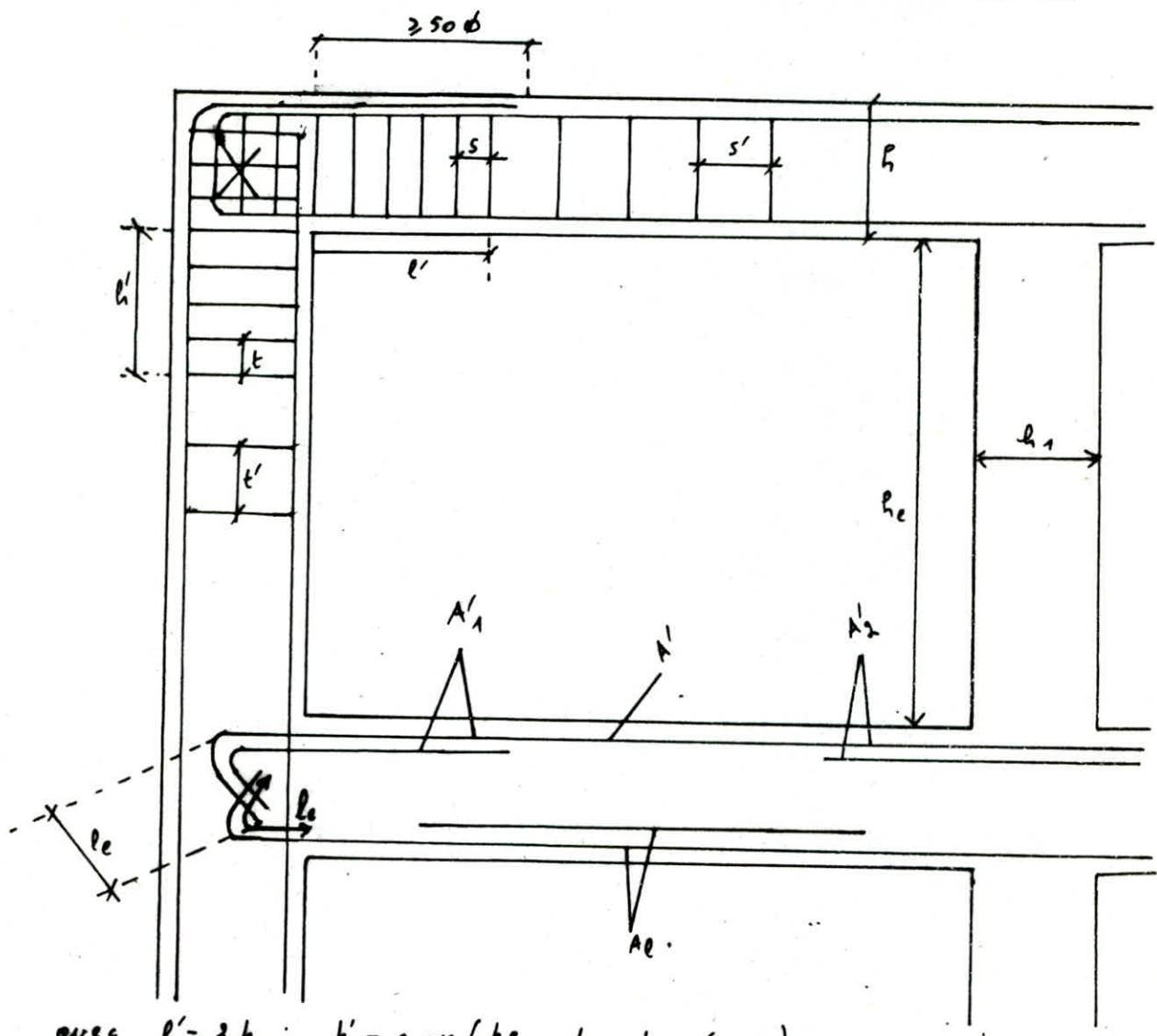
Longueur de la zone nodale : $l' = 2 h_t = 100 \text{ cm}$.

% minimum du RPA 81 : $0,3\% \cdot 30 \times 50 = 4,5 \text{ cm}^2$

% maximum du RPA 81 : $2,5\% \cdot 30 \times 50 = 37,5 \text{ cm}^2$.

Remarque : Le ferraillage des poutres sera donné dans les tableaux qui suivent.

Prescriptions relatives au ferrailage RPA 81 Art 4.2.3.22



$$\text{avec } l' = 2h ; \quad h' = \max \left(\frac{h_e}{6} ; b_1, h_1, 60 \text{ cm} \right)$$

$$\begin{cases} t \leq \min(10\phi, 15 \text{ cm}) \text{ en zone II} \\ t' \leq 12\phi \text{ en zone II} \end{cases}$$

$$\begin{cases} A' \geq \max \left(\frac{A'_1}{4}, \frac{A'_2}{4} ; 3 \text{ cm}^2 \right) \\ A_1 \geq \max \left(\frac{A'_1}{2} ; \frac{A'_2}{4}, 3 \text{ cm}^2 \right) \end{cases}$$

$$\begin{cases} b \leq \min \left(\frac{h}{4}, 12\phi \right) \\ b' \leq \frac{h}{2} \end{cases}$$

Fenailage des poutres du portique transversal de rive

Niveau	Noeud	MSP ₁	1,5MSP ₁	MSP ₂	μ	ϵ	k	TSP ₁	1,5TSP ₁	TSP ₂	A _{amp}	A _o ^{inf}	A _o ^{sup}	Sect. adop.	A (m ²)
VII	1 et 4	-2,35	-3,53	-4,59	0,0270	0,9296	55	5,09	7,64	5,75	2,62	0,32	2,17	4T14	6,15
				0,58	0,0034	0,9733	172							4T14	6,15
	2 et 3	-3,03	-4,55	-4,67	0,0275	0,9281	54,5	4,81	7,22	5,48	2,66	0,92	2,62	4T14	6,15
				1,49	0,0098	0,9576	103							4T14	6,15
VI	1 et 4	-3,14	-4,71	-6,74	0,0396	0,9453	44	5,67	8,37	6,57	3,90	1,31	3,49	4T14	6,15
				2,34	0,0138	0,9476	90,5							4T14	6,15
	2 et 3	-3,55	-5,33	-7,78	0,0463	0,9091	40	5,41	8,12	6,89	4,69	3,12	5,22	4T14	6,15
				5,44	0,0320	0,8231	50							4T14	6,15
V	1 et 4	-3,19	-4,79	-7,09	0,0416	0,9135	42,8	5,57	8,37	6,86	4,1	1,16	3,57	4T14	6,15
				2,61	0,0153	0,9461	76							4T14	6,15
	2 et 3	-3,56	-5,34	-9,93	0,0584	0,8996	34,8	5,43	8,15	8,58	5,84	4,37	6,19	4T14	6,15
				4,53	0,0443	0,9444	44,2							4T14	7,1
IV	1 et 4	-3,19	-4,79	-7,86	0,0462	0,9094	44,2	5,58	8,37	7,31	4,57	1,91	4,04	4T14	6,15
				3,39	0,0199	0,9379	65,5							4T14	6,15
	2 et 3	-3,56	-5,34	-13,06	0,0768	0,9841	29,3	5,43	8,15	11,29	7,79	6,29	9,12	4T16	8,04
				10,66	0,0627	0,8965	73,3							6T14	9,23
III	1 et 4	-3,19	-4,79	-7,83	0,0460	0,9094	40,2	5,57	8,37	7,51	4,56	1,90	4,03	4T14	6,15
				3,36	0,0198	0,9379	65,5							4T14	6,15
	2 et 3	-3,56	-5,34	-14,79	0,0870	0,9842	27,1	5,43	8,15	12,71	8,88	7,87	10,52	6T14	6,15
				12,39	0,0728	0,8896	30,3							3T14 + 3T16	14,65
II	1 et 4	-3,19	-4,79	-9,95	0,0585	0,8894	34,7	5,58	8,37	9,07	5,92	3,14	5,34	4T14	6,15
				5,48	0,0322	0,9228	49,8							4T14	6,15
	2 et 3	-3,56	-5,34	-16,24	0,0961	0,8756	25,2	5,43	8,15	14,03	9,87	8,34	11,37	5T16	19,05
				13,99	0,0820	0,8840	28,1							6T16	12,06
I	1 et 4	-3,10	-4,65	-8,25	0,0482	0,9072	39,2	5,59	8,39	9,87	4,89	2,21	4,36	4T14	6,15
				3,90	0,0229	0,9388	69,5							4T14	6,15
	2 et 3	-3,53	-5,30	-17,57	0,1033	0,8725	24,2	5,41	8,12	15,03	10,65	3,07	12,03	3T14 + 3T16	10,65
				15,08	0,0887	0,8801	26,7							6T16	12,06

Ferraillage des poutres du portique transversal intermédiaire

N°.	Noeud	MSP ₁	1,5MSP ₁	MSP ₂	μ	ε	K	TSP ₁	1,5TSP ₁	TSP ₂	A_{o}^{up}	A_{o}^{up}	A_{o}^{min}	Sect. adapt	A
VII	1 ext	-3,43	-5,15	-5,56	0,0327	0,9224	49,2	7,94	11,87	8,50	3,19	0	2,83	4T14	6,15
	4		0	/	/	/									
	2 ext	-14,68	-7,02	-6,16	0,0443	0,9139	43	7,44	11,92	8,02	4,06	0,64	3,35	4T14	6,15
	3		1,17	0,0069	0,9624	118									
VI	1 ext	-5,97	-8,89	-2,09	0,0534	0,9025	36,9	10,42	15,63	10,98	5,32	0,58	4,36	4T14	6,15
	4		1,06	0,0062	0,9643	125									
	2 ext	-6,60	-9,9	-8,98	0,0582	0,8997	34,85	10,43	15,20	10,93	5,82	2,51	6,29	2T14 + 2T16	7,1
	3		4,42	0,0260	0,9309	56,5									
V	1 ext	-5,95	-8,93	-9,43	0,0554	0,9020	36	10,42	15,63	10,98	5,53	0,72	4,51	4T14	6,15
	4		1,31	0,0077	0,9603	191									
	2 ext	-6,65	-9,98	-14,30	0,0606	0,8980	34	10,18	15,20	10,93	6,07	3,47	7,26	4T16	8,04
	3		6,03	0,0355	0,9194	47									
IV	1 ext	-5,95	-8,93	-9,43	0,0396	0,8988	34,4	10,42	15,63	10,98	5,96	1,12	6,94	4T14	6,15
	4		2,01	0,0418	0,9545	89									
	2 ext	-6,65	-9,98	-12,19	0,0716	0,8904	30,65	10,43	15,20	10,93	7,24	4,60	8,4	6T14	9,23
	3		7,91	0,0465	0,9094	40									
III	1 ext	-5,95	-8,93	-9,24	0,0602	0,8980	34,2	10,42	15,63	10,98	6,09	1,18	5	4T14	6,15
	4		2,12	0,0124	0,9502	85,5									
	2 ext	-6,65	-9,98	-13,68	0,0793	0,8856	28,7	10,13	15,20	10,54	8,05	5,40	9,19	6T14	9,23
	3		9,21	0,0542	0,9027	36,4									
II	1 ext	-5,95	-8,93	-9,19	0,0716	0,8904	30,65	10,42	15,63	10,98	7,24	2,30	6,18	2T14 + 2T16	7,1
	4		4,06	0,0239	0,9324	59									
	2 ext	-6,65	-9,98	-14,59	0,0853	0,8829	27,4	10,13	15,20	10,93	8,7	6,04	9,82	5T16	10,05
	3		10,25	0,0603	0,8982	34,1									
I	1 ext	-5,78	-9,67	-10,49	0,0617	0,8932	30,65	8,1	12,15	9,50	6,19	4,45	4,46	4T14	6,15
	4		2,59	0,0452	0,9454	76,5									
	2 ext	-6,58	-9,87	-15,55	0,0914	0,8787	26,23	7,79	11,69	10,43	9,36	6,57	10,12	6T16	12,06
	3		11,10	0,0653	0,8946	39,45									

calcul des contraintes (poutre transversale)

position	Niv	Noord	MSP_2	A	\bar{w}	K	E	σ_a	σ'_b
poutre transversale de flèche	III	1,0t4	-4,59	6,15	0,456	33,7	0,8973	1848,36	54,85
		2,0t3	-4,64	6,15	0,456	33,7	0,8973	1880,58	55,80
	IV	1,0t4	-6,74	6,15	0,456	33,7	0,8973	2714,16	89,54
		2,0t3	-7,88	6,15	0,456	33,7	0,8973	3173,23	94,16
	V	1,0t4	-7,08	6,15	0,456	33,7	0,8973	2859,07	84,60
		2,0t3	-9,93	6,15	0,456	33,7	0,8973	3998,75	118,66
	VI	1,0t4	-7,86	6,15	0,456	33,7	0,8973	3165,17	93,92
		2,0t3	-13,06	8,04	0,596	28,8	0,8857	4075,57	141,51
	VII	1,14	-7,83	6,15	0,456	33,7	0,8973	3153,09	93,56
		2,13	-14,79	9,23	0,684	26,45	0,8793	4049,64	153,11
poutre transversale latérale droite	I	1,14	-9,95	6,15	0,456	33,7	0,8973	4006,8	118,90
		2,13	-16,34	10,05	0,744	25,1	0,8753	4127,78	164,45
	II	1,14	-8,25	6,15	0,456	33,7	0,8973	3322,22	98,58
		2,13	-17,57	10,65	0,789	24,23	0,8726	4190,85	173,14
	III	1,14	-5,56	6,15	0,456	33,7	0,8973	2238,98	66,44
		2,13	-4,68	6,15	0,456	33,7	0,8973	1884,64	55,92
	IV	1,14	-9,08	6,15	0,456	33,7	0,8973	3656,46	108,5
		2,13	-6,60	6,15	0,456	33,7	0,8973	2657,48	78,97
	V	1,14	-9,43	6,15	0,456	33,7	0,8973	3797,4	112,68
		2,13	-10,30	6,15	0,456	33,7	0,8973	4147,74	123,08
	VI	1,14	-10,13	6,15	0,456	33,7	0,8973	4079,29	121,05
		2,13	-12,18	8,04	0,596	28,8	0,8857	3800,95	131,98
	VII	1,14	-10,24	6,15	0,456	33,7	0,8973	4923,58	122,62
		2,13	-11,48	9,23	0,684	26,45	0,8793	3690,95	133,54
	VII	1,14	-12,18	8,04	0,596	28,8	0,8857	3800,95	131,98
		2,13	-14,51	9,23	0,684	26,45	0,8793	3972,98	150,21
	I	1,14	-10,49	7,1	0,526	31	0,8973	3683,67	118,83
		2,13	-16,55	10,05	0,744	25,1	0,8753	3928,21	156,5

$$\bar{\sigma}_a (SP_2) = 4200 \text{ kg/cm}^2 ; \quad \bar{\sigma}'_b (SP_2) = 205,5 \text{ kg/cm}^2$$

Chromatiques transversales (poutres des pontiques transversales)

N° de cas	Nom	TSP ₁ ⁽¹⁾	A ₁ TSP ₁	TSP ₂	T ^c (t)	$\bar{\sigma}_{b0}^l$	$\bar{\sigma}_b^l$	$\bar{\tau}_b^l$	\bar{z}_b	\bar{s}	$\bar{\sigma}_{at}$	t	E
VII	1024	5,09	7,64	5,75	5,09	68,5	54,85	4,31	20,65	0,919	2205,2	34,3	35,2
	2023	4,81	7,22	5,49	4,81	68,5	55,80	4,07	20,65	0,923	2216,05	36,5	35,7
VI	1,4	5,58	8,37	6,59	5,58	68,5	90,54	4,72	19,61	0,911	2186,67	31	34,2
	2,3	5,43	8,12	6,81	5,41	68,5	94,16	4,58	18,44	0,914	2192,99	32	34,5
V	1,4	5,58	8,37	6,86	5,58	68,5	84,60	4,72	19,26	0,911	2186,67	31	34,2
	2,3	5,43	8,15	8,59	8,58	102,75	118,66	7,26	29,61	0,907	2181,24	20	33,9
IV	1,4	5,58	8,37	7,31	5,58	69,5	92,92	4,72	18,46	0,911	2186,67	31	34,2
	2,3	5,43	8,15	11,24	11,24	102,75	141,51	9,52	27,64	0,881	2113,15	15	30,5
III	1,4	5,58	8,37	7,51	5,58	68,5	93,56	4,72	18,49	0,911	2186,67	31	34,2
	2,3	5,43	8,15	12,71	12,71	102,75	153,11	10,76	26,64	0,865	2075,78	13	28,6
II	1,4	5,58	8,37	8,07	5,58	68,5	118,9	4,72	16,31	0,911	2186,67	31	34,2
	2,3	5,43	8,15	14,03	14,03	102,75	164,45	11,88	25,66	0,859	2042,03	11,5	26,9
I	1,4	5,59	8,39	7,87	5,59	69,5	99,58	4,73	18,06	0,911	2186,22	31	34,2
	2,3	5,44	8,12	15,03	15,03	102,75	173,40	12,72	24,89	0,840	2016,72	10,6	25,6
VI	1,4	7,91	11,87	8,50	7,91	68,5	66,44	6,70	20,65	0,834	2097,18	21	29,7
	2,3	7,41	11,12	8,02	7,41	68,5	55,92	6,27	20,65	0,832	2116,61	22,6	30,7
V	1,4	10,42	15,63	10,96	10,42	68,5	108,5	7,82	17,2	0,834	2001,36	15,2	24,8
	2,3	10,43	15,2	10,69	10,43	68,5	77,87	8,58	19,76	0,838	2012,2	15,7	25,4
IV	1,4	10,42	15,63	11,17	10,42	68,5	112,69	7,82	16,85	0,834	2001,36	15,2	24,8
	2,3	10,43	15,2	10,9	10,43	68,5	123,08	7,58	15,95	0,838	2012,2	15,7	25,4
III	1,4	10,42	15,63	14,50	10,42	68,5	124,05	8,82	16,12	0,834	2001,36	15,2	24,8
	2,3	10,43	15,2	14,23	10,43	68,5	134,98	8,58	15,18	0,838	2012,2	15,7	25,4
II	1,4	10,42	15,63	14,65	10,42	68,5	122,62	7,82	15,99	0,834	2001,36	15,2	24,8
	2,3	10,43	15,2	14,54	10,43	68,5	139,54	8,58	14,53	0,838	2012,2	15,7	25,4
I	1,4	10,42	15,63	12,14	10,42	68,5	134,98	8,82	15,18	0,834	2001,36	15,2	24,8
	2,3	10,43	15,2	12,43	10,43	68,5	150,21	8,58	13,61	0,838	2012,2	15,7	25,4
II	1,4	8,1	12,15	9,60	8,1	68,5	118,83	6,96	16,32	0,871	2089,94	29,4	29,3
	2,3	7,79	11,69	14,13	14,13	102,75	156,5	12,49	26,35	0,848	2035,1	19,3	26,6

$$A_t = 2,01 \text{ cm}^2 (1 \text{ condre} + 1 \text{ c'tnre}) \phi 8.$$

Espacement du RPA 81

en zone modale : ρ ; $\rho \leq \min\left(\frac{h_t}{4}, 12\phi\right)$

avec ϕ le plus grand diamètre des barres longitudinales.
 $h_t = 50 \text{ cm}$; $\phi_{\max} = 16 \text{ mm}$; $\Rightarrow \rho \leq \min\left(\frac{50}{4}; 12 \cdot 1,6\right) = 12,5 \text{ cm}$

en zone courante : ρ' .

$$\rho' \leq \frac{h_t}{2} = \frac{50}{2} = 25 \text{ cm}.$$

Longueur de la zone modale : $l' = 2h_t = 100 \text{ cm}$

pour toute la poutre, on adopte un espacement constant
 $t = 10 \text{ cm}$ en zone modale
 $t = 20 \text{ cm}$ en zone courante.

Vérification de la condition de non fragilité (CCB4 68, Art. 52)

$$A \geq 0,69 \cdot b \cdot h \frac{\bar{\sigma}_b}{\bar{\sigma}_{en}} \quad \text{avec } b = 30 \text{ cm}; h = 45 \text{ cm}; \bar{\sigma}_b (\text{SP}_2) = 8,85 \text{ kg/cm}^2$$

$$\text{donc } A \geq 0,69 \cdot 30 \cdot 45 \cdot \frac{8,85}{4200} = 1,96 \text{ cm}^2 < A_{\min}^l = 6,15 \text{ cm}^2 \text{ (vérifié)}$$

Vérification de la fissuration

pour $\phi = 10 \text{ mm} \Rightarrow \delta_2 = 2832 \text{ bars}$, pour $\phi > 10 \text{ mm} \Rightarrow \delta_2 = 2800 \text{ kg/cm}^2$

or $\Gamma_1 = K \frac{\eta}{\phi} \frac{\bar{w}_f}{1+10\bar{w}_f}$ qui doit être $> \bar{\sigma}_a = 2800 \text{ kg/cm}^2$ pour $\phi > 10 \text{ mm}$

$$\Gamma_1 \geq \bar{\sigma}_a \Rightarrow K \frac{\eta}{\phi} \frac{\bar{w}_f}{1+10\bar{w}_f} \geq \bar{\sigma}_a \Rightarrow \bar{w}_f \geq \frac{\phi \bar{\sigma}_a}{K \eta - 10 \phi \bar{\sigma}_a} = \bar{w}_{f0}$$

à \bar{w}_{f0} correspond une section minimale d'armature $A_0 = 8\phi \cdot \bar{w}_{f0}$.
 avec $8\phi = 2 \cdot 6 \cdot 4 = 2 \cdot 30 \cdot 5 = 300 \text{ cm}^2$

$$\bar{\sigma}_a = 2800 \text{ kg/cm}^2; K = 1,5 \cdot 10^6; \eta = 1,6. \text{ acier H.4.}$$

En fonction des barres (diamètre) dans une section donnée
 on va calculer la section A_0 que doit être pour que
 la fissuration soit vérifiée.

$$\bar{w}_{f0} (\phi = 16) = \frac{16 \cdot 2800}{1,5 \cdot 10^6 \cdot 1,6 - 10 \cdot 16 \cdot 2800} = 0,02295.$$

$$\bar{w}_{f0} (\phi = 14) = \frac{14 \cdot 2800}{1,5 \cdot 10^6 \cdot 1,6 - 10 \cdot 14 \cdot 2800} = 0,0195$$

$$\bar{w}_{f0} (\phi = 16) = 0,02295 \rightarrow A_0 = 6,89 \text{ cm}^2 < A_{\min}^l = 7,1 \text{ cm}^2$$

$$\bar{w}_{f0} (\phi = 14) = 0,0195 \rightarrow A_0 = 7,85 \text{ cm}^2 < A_{\min}^l = 6,15 \text{ cm}^2$$

(vérifiée)

Condition de non entrainement des barres sur appuis

$$\bar{z}_{di} = \frac{T}{\rho \cdot P_{ui}} \times \frac{A_i}{A} \quad \text{avec } \rho = \frac{\pi}{8} h = \frac{\pi}{8} \cdot 45 = 39,375 \text{ cm.}$$

A_i : section d'une barre (i) ou d'un paquet de barres.

A : section totale des armatures tendues en cm^2 .

P_{ui} : Périmètre utile d'une barre (i) ou d'un paquet de barres.
 $\bar{z}_d = 24d \cdot \bar{\delta}_b$. avec $\phi_d = 1,5 \Rightarrow \bar{z}_d = 2 \cdot 1,5 \cdot 5,9 = 17,7 \text{ kg/cm}^2$
 on passe ci-dessous le tableau qui donne les valeurs de \bar{z}_{di} des deux portiques transversaux et ceci en prenant parmis les appuis ayant la même section d'armatures long et le même diamètre ϕ , l'appui qui a le plus grand effort tranchant.

pour une barre : $P_{ui} = \pi \phi$.

pour un paquet de deux barres : $\begin{cases} P_{ui} = \pi \phi + 2d \\ P_{ui} = \frac{\pi \phi_1 + \pi \phi_2 + 2d}{2} \end{cases}$

Appuis	T_{max}	paquet	$A (\text{cm}^2)$	A_i/A	$P_{ui} (\text{cm})$	\bar{z}_{di}
4T14	10,42	1(14)	6,15	0,25	4,4	15,04
2T14+2T16	10,42	1(14)	ϕ_1, ϕ_2	0,22	4,4	13,23
		1(16)		0,28	5,03	14,73
4T16	14,24	1(16)	8,04	0,25	5,03	14,19
6T14	10,13	2(14)	9,23	0,33	11,2	7,58
3T14+3T16	15,03	(14)(16)	10,65	0,33	11,71	10,76
5T16	14,03	16	10,05	0,12	5,03	14,17
		2(16)	ϕ_1, ϕ_2	0,14	12,23	11,65
6T16	14,3	2(16)	12,06	0,33	12,23	9,80

$$T_{max,di} = 15,04 \text{ kg/cm}^2 < \bar{z}_d = 17,7 \text{ kg/cm}^2$$

(vérifié).

Condition de non écrasement du béton (CCBA 68, Art. 30.62)

$$\lambda_2 \cdot 0,1 \phi \frac{\bar{\delta}_a}{\bar{\delta}_b} \left(1 + \frac{\phi}{d_1} \right) \bar{V}.$$

$$\bar{\delta}_a = 2800 \text{ kg/cm}^2 ; \bar{\delta}_b = 68,5 \text{ kg/cm}^2 ; d_1 = 4 \text{ cm} ;$$

$\bar{V} = 1$ lorsque la barre courbée est isolée ou fait partie d'un ensemble de barres courbées disposées en un seul lit.

$\bar{V} = \frac{5}{3}$ lorsque la barre courbée fait partie d'un ensemble de barres courbées disposées en deux lits.

$$\text{donc } \lambda_2 \cdot 0,1 \phi \frac{2800}{68,5} \left(1 + \frac{\phi}{4} \right) \bar{V} = 4,09 \cdot \phi \left(1 + 0,25 \phi \right) \bar{V}$$

pour $\vartheta = 1$; $\phi = 14$; $\lambda \geq 7,73 < 6\phi = 8,4 \text{ cm} \Rightarrow \lambda = 6\phi = 8,4 \text{ cm}$
 pour $\vartheta = 1$; $\phi = 16$; $\lambda \geq 9,16 < 6\phi = 9,6 \text{ cm} \Rightarrow \lambda = 6\phi = 9,6 \text{ cm}$
 pour $\vartheta = 5/3$; $\phi = 14$; $\lambda \geq 12,88 < 10\phi = 14 \text{ cm} \Rightarrow \lambda = 10\phi = 14 \text{ cm}$
 pour $\vartheta = 5/3$; $\phi = 16$; $\lambda \geq 15,27 < 10\phi = 16 \text{ cm} \Rightarrow \lambda = 10\phi = 16 \text{ cm}$

Conditions aux appuis $T_{\max} = 15,03 \text{ t } (5\rho_2)$

$$c = a - (d + \lambda) = 45 - (5 + \lambda^{\text{mat}}) = 45 - (5 + 16) = 24 \text{ cm}.$$

$$c_0 = \frac{2T_{\max}}{b_0 \cdot \bar{\Gamma}_{b_0}^1} = \frac{2 \cdot 15,03 \cdot 10^3}{30 \cdot 68,5} = 14,63 \text{ cm} < c = 24 \text{ cm} \text{ (vérifié)}$$

pour ce qui est des armatures inférieures, la condition $A \geq \frac{T+M_e}{\bar{\Gamma}_a}$ figure dans la (colonne A_0^{\min}).

Vérification de la flèche (CCBA 68, Art. 61)

$$1/ A^t \leq 43 \quad b_0 h = 43 \cdot 30,45 = 13,82 \text{ cm}^2 > A_t^{\text{mat}} = 12,06 \text{ cm}^2$$

$$2/ h_t \geq \frac{l}{16} \rightarrow h_t = 50 > \frac{l^{\text{mat}}}{16} = \frac{495}{16} = 30,94 \text{ cm}.$$

$$3/ h_t \geq M_t \cdot \frac{l^{\text{mat}}}{10M_0} \rightarrow h_t = 50 \geq \frac{l_{\text{mat}} \cdot M_t}{10 M_0} = 49,5 \frac{M_t}{M_0}$$

avec $\frac{M_t}{M_0} < 1$

Les 3 conditions précédentes sont vérifiées donc il est admis de faire une justification de la flèche.

Ferraillage des poutres du portique longitudinal de rive

Niveau	Nord	MSP_1	$1,5MSP_1$	MSP_2	μ	E	k	TSP_1	$1,5TSP_1$	TSP_2	A_o^{sup}	A_o^{inf}	A_o^{mid}	Sect. adapt.	A (cm ²)
VII	1	-0,82	-1,23	-3,24	0,0191	0,9394	67,5	2,56	3,84	3,64	1,88			4T14	6,15
				1,83	0,0108	0,9535	92,5				1,02	2,02	4T14	6,15	
	2	-1,57	-2,86	-3,23	0,0190	0,9394	67,5	2,66	3,99	3,38	1,82			4T14	6,15
				0,68	0,0040	0,9711	158				0,87	1,36	4T14	6,15	
	3	-1,55	-2,33	-3,17	0,0186	0,9398	68	2,63	3,95	3,39	1,79			4T14	6,15
				0,73	0,0043	0,9701	152				0,40	1,38	4T14	6,15	
	4	-1,35	-2,03	-3,03	0,0178	0,9412	70	2,41	3,62	3,29	1,70			4T14	6,15
				0,72	0,0042	0,9704	154				0,39	1,30	4T14	6,15	
VI	5	-1,35	-2,03	-3,03	0,0178	0,9412	70	2,39	3,59	3,26	1,70			4T14	6,15
				0,72	0,0042	0,9704	154				0,39	1,29	4T14	6,15	
	6	-1,35	-2,03	-3,03	0,0178	0,9412	69	2,39	3,59	3,26	1,70			4T14	6,15
				0,72	0,0042	0,9704	154				0,39	1,29	4T14	6,15	
	7	-1,41	-2,12	-3,09	0,0182	0,9405	67,5	2,35	3,59	3,29	1,74			4T14	6,15
				0,71	0,0042	0,9704	93				0,39	1,29	4T14	6,15	
	8	-0,83	-1,25	-3,25	0,0191	0,9394	46,8	2,54	3,81	3,60	1,83			4T14	6,15
				1,82	0,0107	0,9537	57				1,01	2,01	4T14	6,15	
V	1	-1,23	-1,85	-6,07	0,0357	0,9491	49	3,19	4,79	5,35	3,49			4T14	6,15
				4,31	0,0253	0,9806	70				2,45	3,88	4T14	6,15	
	2	-1,99	-2,99	-5,6	0,0329	0,9219	49	3,35	5,03	5,07	3,21			4T14	6,15
				3,01	0,0177	0,9412	70				1,69	3,03	4T14	6,15	
	3	-1,99	-2,99	-5,6	0,0329	0,9219	50,5	3,35	5,03	4,92	3,21			4T14	6,15
				3,01	0,0177	0,9412	74,5				1,69	3,02	4T14	6,15	
	4	-1,42	-2,58	-5,38	0,0316	0,9237	50,5	3,06	4,59	4,92	3,08			4T14	6,15
				2,91	0,0177	0,9422	74,5				1,63	2,93	4T14	6,15	
	5	-1,72	-2,58	-5,38	0,0316	0,9237	50,5	3,04	4,56	4,86	3,08			4T14	6,15
				2,91	0,0177	0,9422	74,5				1,63	2,92	4T14	6,15	
	6	-1,72	-2,58	-5,37	0,0316	0,9237	50,5	3,04	4,56	4,86	3,08			4T14	6,15
				2,90	0,0177	0,9422	74,5				1,63	2,92	4T14	6,15	
	7	-1,72	-2,58	-5,37	0,0316	0,9237	46,8	3,04	4,56	5,05	3,09			4T14	6,15
				2,90	0,0177	0,9422	57				1,63	2,92	4T14	6,15	
	8	-1,23	-1,85	-6,07	0,0357	0,9491	39,4	3,18	4,77	5,30	3,49			4T14	6,15
				4,31	0,0253	0,9306	45,4				2,45	3,87	4T14	6,15	
IV	1	-1,24	-1,86	-8,15	0,0479	0,9081	44,6	3,18	4,77	6,37	4,75			4T14	6,15
				6,37	0,0375	0,9172	53,5				3,68	5,37	4T14	6,15	
	2	-1,99	-2,99	-7,4	0,0435	0,9117	44,6	3,35	5,03	6,10	4,30			4T14	6,15
				4,84	0,0285	0,9270	54,5				2,76	4,38	4T14	6,15	
	3	-1,99	-2,99	-7,4	0,0435	0,9117	42,6	3,35	5,03	5,83	4,30			4T14	6,15
				4,84	0,0285	0,9270	54,5				2,76	4,38	4T14	6,15	
	4	-1,72	-2,58	-7,13	0,0419	0,9132	42,6	3,05	4,58	5,86	4,13			4T14	6,15
				4,66	0,0274	0,9284	54,5				2,66	4,21	4T14	6,15	
	5	-1,72	-2,58	-7,13	0,0419	0,9132	42,6	3,04	4,56	5,80	4,13			4T14	6,15
				4,66	0,0274	0,9284	54,5				2,66	4,20	4T14	6,15	
	6	-1,72	-2,58	-7,15	0,0420	0,9132	42,6	3,04	4,56	5,80	4,14			4T14	6,15
				4,68	0,0275	0,9281	54,5				2,67	4,21	4T14	6,15	
	7	-1,72	-2,58	-7,15	0,0420	0,9132	39,4	3,04	4,56	6,07	4,14			4T14	6,15
				4,68	0,0275	0,9281	45,4				2,67	4,28	4T14	6,15	
	8	-1,24	-1,86	-8,15	0,0479	0,9081	34,5	3,17	4,76	6,31	4,75			4T14	6,15
				6,37	0,0375	0,9172	38				3,69	5,35	4T14	6,15	

Tableau du ferraillage des poutres du portique longitudinal de
voie

NIV.	Noord	M(CSP ₁)	1,5MSP ₁	MSP ₂	μ	ϵ	K	TSP ₁	4,5TSP ₁	TSP ₂	R _o ^{mp}	R _o st	R _o ^{sh}	Seat. adop.	A (cm ²)
IV	1	-1,24	-1,86	-10,37	0,0592	0,8990	34,5	3,18	4,77	7,44	6,1			4T14	6,15
				8,59	0,0505	0,9057	38				5,02	5,2	4T14	6,15	
	2	-1,99	-2,99	-9,08	0,0534	0,9035	36,8	3,35	5,03	7,44	5,32			4T14	6,15
				6,52	0,0383	0,9167	45				3,76	5,64	4T14	6,15	
	3	-1,99	-2,99	-9,08	0,0534	0,9035	36,8	3,35	5,03	6,41	5,32			4T14	6,15
				6,52	0,0383	0,9167	45				3,76	5,54	4T14	6,15	
	4	-1,72	-2,58	-8,75	0,0514	0,9049	37,6	3,05	4,58	6,34	5,12			4T14	6,15
				6,28	0,0369	0,9180	46				3,62	5,40	4T14	6,15	
V	5	-1,72	-2,58	-8,75	0,0514	0,9049	37,6	3,04	4,56	6,66	5,12			4T14	6,15
				6,28	0,0369	0,9180	46				3,62	5,38	4T14	6,15	
	6	-1,72	-2,58	-8,75	0,0514	0,9049	37,6	3,04	4,56	6,66	5,12			4T14	6,15
				6,28	0,0369	0,9180	46				3,62	5,38	4T14	6,15	
	7	-1,72	-2,58	-8,75	0,0514	0,9049	37,6	3,04	4,56	7,09	5,12			4T14	6,15
				6,28	0,0369	0,9180	46				3,62	5,49	4T14	6,15	
	8	-1,24	-1,86	-10,37	0,0592	0,8990	34,5	3,17	4,76	7,83	6,1			4T14	6,15
				8,59	0,0505	0,9057	38				5,02	5,13	4T14	6,15	
VI	1	-1,24	-1,86	-11,31	0,0665	0,8938	32,1	3,18	4,83	8,02	4,70			2T14 + 2T16	7,1
				9,53	0,0560	0,9016	35,8				5,59	7,67	4T16	8,04	
	2	-1,99	-2,99	-10,87	0,0592	0,8990	34,5	3,15	5,03	7,75	5,83			4T14	6,15
				7,51	0,0442	0,9111	44,2				4,36	6,39	2T14 + 2T16	7,1	
	3	-1,99	-2,99	-10,87	0,0592	0,8990	34,5	3,15	5,03	7,23	5,93			4T14	6,15
				7,51	0,0442	0,9111	44,2				4,36	6,26	2T14 + 2T16	7,1	
	4	-1,72	-2,58	-9,17	0,0570	0,9008	35,4	3,05	4,58	7,26	5,73			4T14	6,15
				7,23	0,0425	0,9126	42,2				4,19	6,1	4T14	6,15	
VII	5	-1,72	-2,58	-9,7	0,0570	0,9008	35,4	3,04	4,56	7,17	5,72			4T14	6,15
				7,23	0,0425	0,9126	42,2				4,19	6,08	4T14	6,15	
	6	-1,72	-2,58	-9,68	0,0569	0,9008	35,4	3,04	4,56	7,16	5,69			4T14	6,15
				7,21	0,0424	0,9126	42,2				4,18	6,07	4T14	6,15	
	7	-1,72	-2,58	-9,68	0,0569	0,9008	35,4	3,04	4,56	7,59	5,69			4T14	6,15
				7,21	0,0424	0,9126	42,2				4,18	6,17	2T14 + 2T16	7,1	
	8	-1,24	-1,86	-11,31	0,0665	0,8938	32,1	3,17	4,76	7,83	6,70			2T14 + 2T16	7,1
				9,53	0,0560	0,9016	35,8				5,59	7,63	4T16	8,04	
VIII	1	-1,24	-1,86	-16,62	0,0977	0,8753	25,1	3,18	4,77	7,64	10,05			5T16	10,05
				14,84	0,0872	0,8810	27				8,91	11,27	6T16	12,06	
	2	-1,99	-2,99	-11,18	0,0657	0,8943	32,3	3,15	5,03	9,37	6,62			2T14 + 2T16	7,1
				8,62	0,0507	0,9057	38				5,04	7,07	2T14 + 2T16	7,1	
	3	-1,99	-2,99	-11,18	0,0657	0,8943	32,3	3,15	5,03	7,81	6,62			2T14 + 2T16	7,1
				8,62	0,0507	0,9057	38				5,04	7,07	2T14 + 2T16	7,1	
	4	-1,72	-2,58	-10,77	0,0633	0,8960	33,1	3,05	4,58	7,84	6,36			2T14 + 2T16	7,1
				8,30	0,0488	0,9071	38,8				4,84	6,89	2T14 + 2T16	7,1	
IX	5	-1,72	-2,58	-10,77	0,0633	0,8960	33,1	3,04	4,56	7,74	6,36			2T14 + 2T16	7,1
				8,30	0,0488	0,9071	38,8				4,84	6,86	2T14 + 2T16	7,1	
	6	-1,72	-2,58	-10,77	0,0633	0,8960	33,1	3,04	4,56	7,74	6,36			2T14 + 2T16	7,1
				8,30	0,0488	0,9071	38,8				4,84	7,23	4T16	8,04	
	7	-1,72	-2,58	-10,77	0,0633	0,8960	33,1	3,04	4,58	7,30	6,36			2T14 + 2T16	7,1
				8,30	0,0488	0,9071	38,8				4,84	7,23	4T16	8,04	
	8	-1,24	-1,86	-16,62	0,0977	0,8753	25,1	3,17	4,76	9,54	10,05			5T16	10,05
				14,84	0,0872	0,8810	27				8,91	11,25	6T16	12,06	

Résultat du ferrailage des poutres du portique longitudinal de mine

Niveau	Noord	MSP ₁	1,5MSP ₁	MSP ₂	μ	ϵ	k	TSP ₁	1,5TSP ₁	TSP ₂	A_o^{sp}	A_{ot}^{sp}	A_o^{st}	A_{ot}^{st}	Sect. adop.	A	
I	1	-1,21	-1,92	-11,45	0,0673	0,8934	31,9	3,20	4,18	1,37	6,78			5,21	7,87	4T16	8,04
				9,72	0,0571	0,9004	35,2										
	2	-1,99	-2,99	-11,5	0,0676	0,8932	31,8	3,25	5,03	8,09	6,81			5,21	7,31	4T16	8,04
				8,91	0,0524	0,9042	37,2										
	3	-1,99	-2,99	-11,5	0,0676	0,8932	34,8	3,25	5,03	7,97	6,81			5,21	7,31	4T16	8,04
				8,91	0,0524	0,9042	37,2										
	4	-1,72	-2,58	-11,06	0,0656	0,8950	32,6	3,06	4,59	8,01	6,54			5,02	7,1	2T14+2T16	7,1
				8,59	0,0505	0,9057	38										
II	5	-1,72	-2,58	-14,06	0,0650	0,8950	32,6	3,04	4,56	7,90	6,54			5,02	7,08	2T14+2T16	7,1
				8,53	0,0505	0,9057	38										
	6	-1,72	-2,58	-14,11	0,0653	0,8947	32,6	3,04	4,56	7,90	6,54			5,05	7,11	2T14+2T16	7,1
				8,64	0,0508	0,9057	38										
	7	-1,72	-2,58	-14,11	0,0653	0,8947	32,5	3,04	4,56	8,01	6,54			5,05	7,13	2T14+2T16	7,1
				8,64	0,0508	0,9057	38										
	8	-1,10	-1,65	-14,34	0,0667	0,8936	32	3,18	4,77	9,27	6,71			5,77	7,90	4T16	8,04
				9,81	0,0577	0,9000	35										

Ferrailage des poutres du portique longitudinal de mine

intermédiaire.

Nº	Noord	MSP ₁	1,5MSP ₁	MSP ₂	μ	ϵ	k	TSP ₁	1,5TSP ₁	TSP ₂	A_o^{sp}	A_{ot}^{sp}	A_o^{st}	A_{ot}^{st}	Sect. ad.	A	
III	1	-1,54	-2,31	-3,78	0,0222	0,9346	66,5	4,39	7,19	5,74	2,14			4,74	6,15		
				4,18	0,0069	0,9624	118							0,65	2,42	4T14	6,15
	2	-2,98	-4,43	-4,44	0,0263	0,9296	56	5,06	7,59	5,71	2,54			0	4,89	4T14	6,15
				0	/	/	/										
	3	-2,96	-4,44	-4,39	0,0261	0,9301	56,5	5,08	7,62	7,49	2,53			0	4,81	4T14	6,15
				0	/	/	/										
	4	-2,51	-3,77	-4,04	0,0238	0,9323	59,5	4,59	6,74	5,28	2,29			0	4,61	4T14	6,15
				0	/	/	/										
IV	5	-2,51	-3,77	-4,04	0,0238	0,9323	59,5	4,46	6,69	5,21	2,29			0	4,59	4T14	6,15
				0	/	/	/										
	6	-2,51	-3,77	-4,05	0,0238	0,9329	59,5	4,46	6,69	5,21	2,30			0	4,59	4T14	6,15
				0	/	/	/										
	7	-2,51	-3,77	-4,05	0,0238	0,9329	59,5	4,46	6,69	5,38	2,30			0	4,59	4T14	6,15
				0	/	/	/										
	8	-1,11	-1,20	-3,17	0,0198	0,9379	66,5	4,49	6,74	5,43	1,90			0,83	2,54		6,15
				1,50	0,0088	0,9576	103										

Fuite du ferrailage des poutres du portique longitudinal intermédiaire

N°O.	Noord	MSP ₁	1,5MSP ₁	MSP ₂	μ	ϵ	K	TSP ₁	1,5TSP ₁	TSP ₂	A_{ap}	A_{red}	A_{tot}	sect. adapt.	A
IV	1	-2,138	-3,57	-6,180	0,0400	0,9150	43,8	6,122	9,33	7,97	3,93			4T14	6,15
				3,51	0,0206	0,9171	64,5				1,98	4,134	4T14		
	2	-3,96	-5,94	-7,05	0,0415	0,9135	42,8	6,172	10,08	7,89	4,08			4T14	
				2,05	0,0121	0,9507	86,5				1,14	3,64	4T14		
	3	-3,96	-5,94	-7,05	0,0415	0,9135	42,8	6,172	10,08	7,89	4,08			4T14	
				2,05	0,0121	0,9507	86,5				1,14	3,64	4T14		
	4	-3,34	-5,01	-6,61	0,0389	0,9161	44,6	5,95	8,93	7,43	3,82			4T14	
				2	0,0118	0,9515	88				1,11	3,33	4T14		
	5	-3,34	-5,01	-6,61	0,0389	0,9161	44,6	5,91	8,87	7,35	3,82			4T14	
				2	0,0118	0,9515	88				1,11	3,30	4T14		
V	6	-3,34	-5,01	-6,60	0,0388	0,9161	44,6	5,91	8,87	7,35	3,81			4T14	
				1,99	0,0117	0,9514	88,5				1,10	3,29	4T14		
	7	-3,34	-5,01	-6,60	0,0389	0,9561	44,6	5,91	8,87	7,39	3,81			4T14	
				1,99	0,0117	0,9514	88,5				1,10	3,29	4T14		
	8	-2,138	-3,57	-6,80	0,0400	0,9150	43,8	6,16	9,24	7,87	3,93			4T14	
				3,51	0,0206	0,9371	64,5				1,98	4,132	4T14		
	1	-2,43	-3,65	-8,77	0,0516	0,9049	37,6	6,18	9,27	8,89	5,13			4T14	
				5,42	0,0319	0,9231	50				3,11	5,149	4T14		
	2	-3,96	-5,94	-8,61	0,0506	0,9057	38	6,172	10,08	8,66	5,03			4T14	
				3,78	0,0222	0,9346	61,5				2,14	4,69	4T14		
VI	3	-3,96	-5,94	-8,61	0,0506	0,9057	38	6,172	10,08	8,66	5,03			4T14	
				3,78	0,0222	0,9346	61,5				2,14	4,69	4T14		
	4	-3,34	-5,01	-8,50	0,0500	0,9064	38,4	5,93	8,90	8,30	4,96			4T14	
				3,89	0,0229	0,9338	60,5				2,20	4,47	4T14		
	5	-3,34	-5,01	-8,50	0,0500	0,9064	38,4	5,91	8,87	8,29	4,96			4T14	
				3,89	0,0229	0,9338	60,5				2,20	4,46	4T14		
	6	-3,34	-5,01	-8,50	0,0500	0,9064	38,4	5,91	8,87	8,29	4,96			4T14	
				3,89	0,0229	0,9338	60,5				2,20	4,46	4T14		
	7	-3,34	-5,01	-8,50	0,0500	0,9064	38,4	5,91	8,87	8,43	4,96			4T14	
				3,89	0,0229	0,9338	60,5				2,20	4,46	4T14		
VII	8	-2,43	-3,65	-8,77	0,0516	0,9049	37,6	6,16	9,24	8,89	5,13			4T14	
				5,42	0,0319	0,9231	50				3,11	5,147	4T14		
	1	-2,43	-3,65	-10,85	0,0638	0,8956	32,9	6,18	9,27	9,83	6,41			2T14+2T16	4,1
				7,50	0,0441	0,9111	41,2				4,36	6,89	2T14+2T16	4,1	
	2	-3,96	-5,94	-10,13	0,0596	0,8988	34,4	6,172	10,08	9,37	5,96			4T14	6,15
				5,35	0,0315	0,9237	50,5				3,07	3,24	4T14		
	3	-3,96	-5,94	-10,13	0,0596	0,8988	34,4	6,172	10,08	9,37	5,96			4T14	
				5,35	0,0315	0,9237	50,5				3,07	3,24	4T14		
	4	-3,34	-5,01	-9,45	0,0573	0,9004	35,2	5,93	8,90	9,12	5,73			4T14	
				5,14	0,0302	0,9248	51,5				2,94	5,28	4T14		
VIII	5	-3,34	-5,01	-9,76	0,0573	0,9004	35,2	5,91	8,87	9,03	5,73			4T14	
				5,14	0,0302	0,9248	51,5				2,94	5,26	4T14		
	6	-3,34	-5,01	-9,76	0,0574	0,9004	35,2	5,91	8,87	9,03	5,74			4T14	
				5,15	0,0303	0,9248	51,5				2,95	5,27	4T14		
	7	-3,34	-5,01	-9,76	0,0574	0,9004	35,2	5,91	8,87	9,32	5,74			4T14	
				5,15	0,0303	0,9248	51,5				2,95	5,33	4T14		
	8	-2,43	-3,65	-10,85	0,0638	0,8956	32,9	6,16	9,24	9,78	6,41			2T14+2T16	4,1
				7,50	0,0441	0,9111	41,2				4,36	6,86	2T14+2T16	4,1	

Suite du ferrailage des poutres du portique longitudinal intermédiaire

Niveau	Noord	MSP ₁	1,5MSP ₁	MSP ₂	μ	ϵ	κ	TSP ₁	1,5TSP ₁	TSP ₂	A_{sp}	A_{sf}	A_{in}	secti.adap.	A
III	1	-2,43	-3,65	-11,71	0,0688	0,8922	31,4	6,18	9,27	10,34	6,94			2T14+2T16	7,1
				8,36	0,0492	0,9067	38,6				4,88	7,52		4T16	8,04
	2	-3,96	-5,94	-11,05	0,0650	0,8947	32,5	6,72	10,08	9,82	6,53			2T14+2T16	7,1
				6,27	0,0369	0,9180	46				3,61	6,19		2T14+2T16	7,1
	3	-3,96	-5,94	-11,05	0,0650	0,8947	32,5	6,72	10,08	9,79	6,53			2T14+2T16	7,1
				6,27	0,0369	0,9180	46				3,61	6,19		2T14+2T16	7,1
	4	-3,34	-5,01	-10,64	0,0626	0,8965	33,3	5,93	8,90	9,16	6,28			2T14+2T16	7,1
				6,03	0,0355	0,9194	47				3,47	5,93		4T14	6,15
	5	-3,34	-5,01	-10,64	0,0626	0,8965	33,3	5,91	8,87	9,49	6,28			2T14+2T16	7,1
				6,03	0,0355	0,9194	47				3,47	5,91		4T14	6,15
	6	-3,34	-5,01	-10,64	0,0624	0,8967	33,4	5,91	8,87	9,49	6,26			2T14+2T16	7,1
				6	0,0353	0,9196	47,2				3,45	5,99		4T14	6,15
	7	-3,34	-5,01	-10,61	0,0624	0,8967	33,4	5,91	8,87	9,79	6,26			2T14+2T16	7,1
				6	0,0353	0,9196	47,2				3,45	5,96		4T14	6,15
	8	-2,43	-3,65	-11,71	0,0688	0,8922	34,4	6,16	9,24	10,24	6,94			2T14+2T16	7,1
				8,36	0,0492	0,9067	38,6				4,88	7,49		4T16	8,04
II	1	-2,43	-3,65	-16,64	0,0978	0,8753	25,1	6,18	9,27	10,06				6T16	12,06
				13,29	0,0781	0,8864	29				7,93	10,19		6T16	12,06
	2	-3,96	-5,94	-12,08	0,0710	0,8908	30,8	6,72	10,08	11,41	7,18			4T16	8,04
				7,30	0,0429	0,9123	42				4,23	7,13		4T16	8,04
	3	-3,96	-5,94	-12,08	0,0710	0,8908	30,8	6,72	10,08	101	7,18			4T16	8,04
				7,30	0,0429	0,9123	42				4,23	6,86		2T14+2T16	7,1
	4	-3,34	-5,01	-11,63	0,0684	0,8926	31,55	5,93	8,90	101	6,89			2T14+2T16	7,1
				7,02	0,0413	0,9138	43				4,03	6,66		2T14+2T16	7,1
	5	-3,34	-5,01	-11,63	0,0684	0,8926	31,55	5,91	8,87	101	6,89			2T14+2T16	7,1
				7,02	0,0413	0,9138	43				4,03	6,63		2T14+2T16	7,1
	6	-3,34	-5,01	-11,63	0,0684	0,8926	31,55	5,91	8,87	101	6,89			2T14+2T16	7,1
				7,02	0,0413	0,9138	43				4,03	6,63		2T14+2T16	7,1
	7	-3,34	-5,01	-11,63	0,0684	0,8926	31,55	5,91	8,87	11,16	6,89			2T14+2T16	7,1
				7,02	0,0413	0,9138	43				4,03	6,95		2T14+2T16	7,1
	8	-2,43	-3,65	-16,64	0,0978	0,8753	25,1	6,16	9,24	11,82	10,06			6T16	12,06
				13,29	0,0781	0,8864	29				7,03	10,19		6T16	12,06
I	1	-2,34	-3,51	-11,85	0,0657	0,8918	31,2	6,22	9,33	10,06	7,03			2T14+2T16	7,1
				8,62	0,0507	0,9057	38				5,04	7,78		4T16	8,04
	2	-3,96	-5,94	-12,45	0,0732	0,8894	30,2	6,72	10,08	10,21	7,41			4T16	8,04
				7,59	0,0446	0,9108	41				4,41	7,02		2T14+2T16	7,1
	3	-3,96	-5,94	-12,45	0,0732	0,8894	30,2	6,72	10,08	10,41	7,41			4T16	8,04
				7,59	0,0446	0,9108	41				4,41	7,07		2T14+2T16	7,1
	4	-3,34	-5,01	-11,94	0,0702	0,8913	31	5,95	8,93	10,33	7,09			2T14+2T16	7,1
				7,33	0,0431	0,9120	41,8				4,25	6,89		2T14+2T16	7,1
	5	-3,34	-5,01	-11,94	0,0702	0,8913	31	5,91	8,87	10,2	7,09			2T14+2T16	7,1
				7,33	0,0431	0,9120	41,8				4,25	6,86		2T14+2T16	7,1
	6	-3,34	-5,01	-12	0,0706	0,8911	30,9	5,91	8,87	10	7,13			4T16	8,04
				7,39	0,0435	0,9117	41,6				4,29	6,19		2T14+2T16	7,1
	7	-3,34	-5,01	-12	0,0706	0,8911	30,9	5,91	8,87	10,9	7,13			4T16	8,04
				7,39	0,0435	0,9117	41,6				4,29	6,19		2T14+2T16	7,1
	8	-2,34	-3,51	-11,85	0,0697	0,8948	31,2	5,17	7,76	9	7,03			2T14+2T16	7,1
				8,62	0,0507	0,9057	38				5,04	7,76		4T16	8,04

-3,34 -5,01 -10,64 0,0626
 6,03 0,0355
 -3,34 -5,01 -10,64 0,0626 0,0626 -81 - 9,6 10,28
 6,03 0,0355 0,0446 0,0446 0,0446 9,6 10,28
 -3,34 -5,01 -10,64 0,0626 0,0626 0,0626 -81 - 9,6 10,28
 6,03 0,0355 0,0446 0,0446 0,0446 9,6 10,28

calcul des contraintes (poutres du portique longitudinal de rice)

N°	Noeud	MSP ₂	A	W	K	E	σ _a	σ' _b
III	1	-3,24	6,15	0,456	33,7	0,8973	1304,73	38,72
	2	-3,23	6,15	0,456	33,7	0,8973	1300,7	38,60
	3	-3,17	6,15	0,456	33,7	"	1276,54	37,88
	4	-3,03	6,15	0,456	33,7	"	1220,16	36,21
	5	-3,03	6,15	0,456	33,7	"	1220,16	11
	6	-3,03	6,15	0,456	33,7	"	1244,32	36,92
	7	-3,09	6,15	0,456	33,7	"	1308,75	38,84
	8	-3,25	6,15	0,456	33,7	"	2444,35	42,53
II	1	-6,07	6,15	0,456	33,7	"	2255,08	66,92
	2	-5,6	6,15	0,456	33,7	"	2456,150	72,89
	3	-5,6	6,15	0,456	33,7	"	2166,49	64,19
	4	-5,38	6,15	0,456	33,7	"	2162,46	64,17
	5	-5,38	6,15	0,456	33,7	"	2444,35	72,53
	6	-5,37	6,15	0,456	33,7	"	3281,95	97,39
	7	-5,37	6,15	0,456	33,7	"	2979,93	88,43
	8	-6,07	6,15	0,456	33,7	"	2979,93	11
I	1	-8,45	6,15	0,456	33,7	"	2871,21	85,2
	2	-4,4	6,15	0,456	33,7	"	2871,21	85,2
	3	-4,4	6,15	0,456	33,7	"	2871,26	85,44
	4	-7,13	6,15	0,456	33,7	"	3656,146	108,5
	5	-7,13	6,15	0,456	33,7	"	3281,95	97,39
	6	-7,15	6,15	0,456	33,7	"	3281,95	97,39
	7	-7,15	6,15	0,456	33,7	"	4175,93	123,92
	8	-8,45	6,15	0,456	33,7	"	4175,93	123,92
III	1	-10,37	6,15	0,456	33,7	"	4175,93	123,92
	2	-9,08	6,15	0,456	33,7	"	4055,12	110,56
	3	-9,08	6,15	0,456	33,7	"	4175,93	123,92
	4	-8,75	6,15	0,456	33,7	"	4175,93	123,92
	5	-8,75	6,15	0,456	33,7	"	4175,93	123,92
	6	-8,75	6,15	0,456	33,7	"	4175,93	123,92
	7	-8,75	6,15	0,456	33,7	"	4175,93	123,92
	8	-10,37	6,15	0,456	33,7	"	4175,93	123,92
III	1	-11,37	7,1	0,526	31	0,8913	1971,62	128,12
	2	-10,07	6,15	0,456	33,7	0,8973	4055,12	110,56
	3	-10,07	6,15	0,456	33,7	0,8973	4175,93	123,92
	4	-9,7	6,15	0,456	33,7	"	3906,12	115,91
	5	-9,7	6,15	0,456	33,7	"	3906,12	115,91
	6	-9,68	6,15	0,456	33,7	"	3898,07	115,67
	7	-9,68	6,15	0,456	33,7	"	3898,07	115,67
	8	-11,37	7,1	0,526	31	0,8913	1971,62	128,12

$$\sigma_a (SP_2) = 4200 \text{ kg/cm}^2$$

$$\sigma'_b (SP_2) = 205,5 \text{ kg/cm}^2$$

Calcul des contraintes (poutres du portique longitudinal
sur une échelle)

N.i.o.	Noem	MSP ₂	A	ω̄	k	ε	σ _{a'}	σ _{b'}	N.i.o.	Noem	MSP ₂	A	ω̄	k	ε	σ _a	σ _b
VII	1	-3,78	6,15	0,456	33,7	0,8973	1522,48	45,17	IV	1	-16,64	12,06	0,893	22,48	0,8664	3538,96	157,78
	2	-2,96 ^{5,9}	4	//	//	//	1200,03	35,61		2	-12,04	8,04	0,596	28,8	0,8857	3763,74	139,89
	3	-2,96 ^{5,9}	"	//	//	0	1191,97	35,37		3	//	8,04	//	"	"	//	"
	4	-4,04	"	4	//	4	1626,88	48,28		4	-11,63	7,1	0,526	31	0,8913	4083,99	131,74
	5	-4,04	"	4	//	4	//	"		5	//	7,1	4	//	"	//	"
	6	-4,05	"	//	//	4	1639,91	48,40		6	//	7,1	4	//	"	//	"
	7	-4,05	"	//	//	0	"	"		7	//	7,1	4	//	"	//	"
	8	-3,37	"	//	//	4	1357,08	40,27		8	-16,64	12,06	0,893	22,43	0,8664	3538,96	157,78
VI	1	-6,80	"	4	//	4	2738,32	81,26	V	1	-11,85	7,1	0,526	31	0,8913	4161,25	134,23
	2	-7,05	"	//	//	//	2838,99	74,24		2	-12,45	8,04	0,596	28,8	0,8857	3885,21	134,90
	3	-7,05	"	//	4	//	"	"		3	"	8,04	4	//	"	"	"
	4	-6,61	"	//	//	//	2661,81	78,99		4	-11,94	7,1	0,526	31	0,8913	4192,85	135,25
	5	-6,61	"	//	//	0	//	"		5	"	7,1	"	0	"	//	"
	6	-6,60	"	//	//	//	2657,78	48,87		6	-12	8,04	0,596	28,8	0,8857	3744,78	130,03
	7	-6,60	"	4	4	//	"	"		7	-12	8,04	"	//	"	"	"
	8	-6,80	"	//	//	4	2738,32	81,26		8	-11,85	7,1	0,526	31	0,8913	4161,25	134,23
V	1	-8,74	"	//	//	//	3531,62	104,80									
	2	-8,61	"	//	//	//	3464,19	102,84									
	3	-8,61	"	//	//	//	"	"									
	4	-8,50	"	//	//	//	3422,90	101,57									
	5	-8,50	4	//	//	//	"	"									
	6	-8,50	"	//	4	//	"	"									
	7	-8,50	4	//	//	//	"	"									
	8	-8,74	"	//	//	//	3531,62	104,80									
VII	1	-10,85	7,1	0,526	31	0,8913	3810,09	122,91									
	2	-10,13	6,15	0,456	33,8	0,8973	4049,29	121,05									
	3	-10,13	"	//	//	4	"	"									
	4	-9,75	"	//	//	//	3926,26	116,51									
	5	-9,75	"	//	4	4	"	"									
	6	-9,75	"	//	//	//	3930,29	116,63									
	7	-9,75	"	//	//	//	"	"									
	8	-10,85	7,1	0,526	31	0,8913	3810,09	122,91									
III	1	-11,71	7,1	"	//	//	4112,09	132,65									
	2	-11,05	"	//	//	//	3880,32	125,47									
	3	-11,05	"	4	//	//	"	"									
	4	-10,64	"	//	//	//	3736,134	120,53									
	5	-10,64	"	//	//	//	"	"									
	6	-10,61	"	//	//	//	3725,81	120,49									
	7	-10,61	"	//	//	0	"	"									
	8	-11,71	"	//	//	//	4112,09	132,65									

$$\bar{\sigma}_a (5P_2) = 4200 \text{ kg/cm}^2$$

$$\bar{\sigma}'_b (5P_2) = 205,5 \text{ kg/cm}^2$$

Dimensions transversales (poutres du portique longitudinal de rive)

Niv.	Noend	T(t)	$\bar{\sigma}'_{b0}$	σ'_b	τ_b	$\bar{\tau}_b$	ρ	$\bar{\sigma}_{at}$	t(cm)	E(cm)
III	1	2,56	68,5	38,72	2,17	20,65	0,959	2301,92	71,2	40
	2	2,66	"	38,60	2,25	"	0,958	2298,31	68,4	39,9
	3	2,63	"	37,88	2,23	"	"	2299,21	69,2	"
	4	2,41	"	36,21	2,04	"	0,962	2307,80	75,8	40,3
	5	2,39	"	"	2,02	"	"	2308,70	76,5	40,4
	6	"	"	"	"	"	"	"	"	"
	7	"	"	36,92	"	"	"	"	"	"
	8	2,54	"	38,84	2,15	"	0,960	2302,82	71,8	40,1
IV	1	5,35	102,75	42,53	4,53	30,98	0,943	2263,5	33,5	38,1
	2	5,07	"	66,92	4,29	"	0,946	2270,73	35,5	38,5
	3	3,35	68,5	72,89	2,84	20,27	0,947	2271,64	53,7	"
	4	4,92	102,75	64,29	4,17	30,98	0,948	2274,35	36,6	38,6
	5	4,86	"	63,91	4,11	"	"	2276,16	37,1	38,7
	6	"	"	64,17	"	"	"	"	"	"
	7	5,05	"	"	4,28	"	0,946	2271,04	35,6	38,5
	8	5,30	"	72,53	4,49	"	0,944	2264,71	33,8	38,8
V	1	6,37	"	97,39	51,39	"	0,932	2237,59	27,8	36,8
	2	6,10	"	88,43	57,16	"	0,935	2244,52	29,1	37,1
	3	5,83	"	"	4,94	"	0,938	2251,15	30,6	37,5
	4	5,86	"	85,12	4,96	"	"	2250,55	30,4	37,4
	5	5,80	"	"	4,91	"	"	2252,05	30,7	37,5
	6	"	"	85,44	"	"	"	"	"	"
	7	6,07	"	"	51,14	"	0,936	2245,12	29,3	37,2
	8	6,31	"	97,79	51,34	"	0,933	2239,10	28,1	36,9
VI	1	7,41	"	123,92	6,27	29,15	0,921	2211,07	23,6	35,4
	2	7,14	"	108,50	6,04	30,48	0,924	2218	24,6	35,8
	3	6,71	"	"	5,68	"	0,929	2228,85	26,3	36,3
	4	6,74	"	104,56	5,71	30,82	0,928	2227,95	26,2	"
	5	6,66	"	"	5,64	"	0,929	2230,06	26,5	36,4
	6	"	"	"	"	"	"	"	"	"
	7	7,09	"	"	6	"	0,925	2219,21	24,8	35,9
	8	7,33	"	123,92	6,21	29,15	0,922	2212,88	23,9	35,5
VII	1	8,02	"	128,12	6,79	28,79	0,915	2195,4	21,7	34,6
	2	7,75	"	120,13	6,56	29,46	0,918	2202,34	22,5	35
	3	7,23	"	"	6,12	"	0,923	2215,59	24,3	35,7
	4	7,26	"	115,91	6,15	29,84	"	2214,69	24,1	35,6
	5	7,17	"	"	6,07	"	0,924	2217,1	24,5	35,7
	6	7,16	"	115,67	6,06	29,86	"	2217,4	"	35,8
	7	7,59	"	"	6,43	"	0,919	2206,25	23	35,2
	8	7,83	"	128,12	6,63	28,79	0,917	2200,23	22,2	35

$$A_t = 2,01 \text{ cm}^2 \quad (1 \text{ cadre} + 1 \text{ étrier}) \phi 8$$

$$j = \frac{\pi}{8} h = \frac{\pi}{8} \cdot 45 = 39,375 \text{ cm.}$$

Armatures transversales (poutre que longitudinal de pice)
(suite)

Nº.	Noend	T(t)	$\bar{\sigma}'_{b_0}$	σ'_b	τ_b	$\bar{\tau}_b$	φ	$\bar{\sigma}_{at}$	t	E
II	1	9,64	102,75	167,27	8,16	25,42	0,898	2154,12	17,7	32,6
	2	9,37	"	126,64	7,93	28,92	0,900	2161,06	18,3	32,9
	3	7,81	"	"	6,61	"	0,917	2200,83	22,3	34,9
	4	7,84	"	122	6,64	29,32	"	2199,93	22,2	"
	5	7,74	"	"	6,55	"	0,918	2202,64	22,5	35
	6	"	"	"	"	"	"	"	"	"
	7	9,30	"	"	7,87	"	0,901	2162,86	18,4	33
	8	9,54	"	167,27	8,08	25,42	0,899	2156,54	17,9	32,7
I	1	8,37	"	124,07	7,09	29,14	0,911	2186,37	20,7	34,2
	2	8,08	"	130,12	6,84	28,61	0,914	2193,9	21,5	34,6
	3	7,97	"	"	6,75	"	0,915	2196,61	21,8	34,7
	4	8,01	"	125,29	6,78	29,03	"	2195,71	21,7	"
	5	7,90	"	"	6,69	"	0,916	2198,42	22	34,8
	6	"	"	125,85	"	28,99	"	"	"	"
	7	8,01	"	"	6,78	"	0,915	2195,71	21,7	34,7
	8	8,27	"	128,46	7	28,76	0,912	2189,08	21	34,3

Armatures transversales (poutres du portique longitudinal
intermédiaire)

$$A_t = 2,01 \text{ cm}^2 \quad (\text{1 cadre + 1 étrier}) \quad \phi 8$$

$\} = 39,375 \text{ cm}$

Nº.	Noend	T(t)	$\bar{\sigma}'_{b_0}$	σ'_b	τ_b	$\bar{\tau}_b$	φ	$\bar{\sigma}_{at}$	t	E
VII	1	4,79	68,15	45,17	4,06	20,65	0,924	2216,15	36,6	35,7
	2	5,06	"	35,61	4,28	"	0,919	2206,55	34,4	35,2
	3	5,08	"	35,37	4,30	"	"	"	"	"
	4	4,51	"	48,28	3,82	"	0,928	2227,35	39,1	36,3
	5	4,46	"	"	3,78	"	0,929	2229,15	39,6	"
	6	"	"	49,4	"	"	"	"	"	"
	7	"	"	"	"	4	"	"	"	"
	8	4,49	"	40,27	3,80	"	0,928	2228,25	39,3	"
VIII	1	6,22	4	81,26	5,27	19,55	0,901	2161,81	27,5	32,9
	2	6,72	4	84,24	5,69	19,30	0,893	2142,83	25,2	31,9
	3	"	4	"	"	"	"	"	"	"
	4	5,95	4	78,99	5,04	19,35	0,905	2172,20	28,9	33,5
	5	5,91	4	"	5	"	0,906	2174,01	29,1	33,6
	6	"	4	78,87	5	19,76	"	"	"	"
	7	"	"	"	5	"	"	"	"	"
	8	6,16	"	81,26	5,22	19,55	0,902	2164,07	27,8	33,1

Armatures transversales (poutres du portique longitudinal
(finale) intermédiaire)

NIV	Noord	T	\bar{G}'_b	G'_b	\bar{Z}_b	Z_b	\bar{s}	$\bar{\tau}_{at}$	t	E
IV	1	6,18	68,5	104,80	5,23	17,52	0,902	2163,62	27,7	33
	2	6,72	"	102,84	5,69	17,69	0,893	2142,83	25,2	32
	3	"	"	"	5,69	"	"	"	"	"
	4	5,93	"	101,57	5,02	17,80	0,906	2173,11	29	33,5
	5	5,91	"	"	5	"	"	2174,01	29,1	33,6
	6	"	"	"	"	"	4	"	"	"
	7	"	"	"	"	"	4	"	"	"
	8	6,16	"	104,80	5,22	17,52	0,902	2164,07	27,8	33,1
V	1	9,87	102,75	122,91	8,36	29,24	0,895	2148,1	17,2	32,3
	2	6,72	68,5	121,05	5,69	16,12	0,893	2142,83	25,2	32
	3	"	"	"	"	"	"	"	"	"
	4	9,12	102,75	116,51	7,72	29,79	0,903	2167,38	18,8	33,2
	5	9,03	"	"	7,64	"	0,904	2169,79	19	33,4
	6	"	"	116,63	"	29,78	"	"	"	"
	7	9,32	"	"	7,89	"	0,901	2162,26	18,4	33
	8	9,78	"	122,91	8,28	29,24	0,896	2150,51	17,4	32,4
III	1	10,34	102,75	132,65	8,75	28,40	0,890	2136,35	16,4	31,7
	2	6,72	68,5	125,17	5,69	15,77	0,893	2142,83	25,2	32
	3	"	68,5	"	"	"	"	"	"	"
	4	9,60	102,75	120,53	8,13	29,44	0,898	2155,03	17,8	32,6
	5	9,49	"	"	8,03	"	0,899	2158,04	18	32,8
	6	"	"	120,19	"	29,47	"	"	"	"
	7	9,78	"	"	8,28	"	0,896	2150,51	17,4	32,4
	8	10,24	"	132,65	8,67	28,40	0,891	2138,76	16,5	31,8
VI	1	11,93	"	157,78	10,1	26,24	0,873	2095,67	13,9	29,6
	2	11,41	"	130,89	9,66	28,55	0,879	2108,93	14,6	30,3
	3	10,26	"	"	8,69	"	0,891	2138,15	16,5	31,7
	4	10,14	"	131,74	8,58	28,48	0,892	2141,47	16,7	31,9
	5	10,03	"	"	8,49	"	0,893	2144,18	16,9	32,1
	6	"	"	"	"	"	"	"	"	"
	7	11,36	"	"	9,62	"	0,879	2110,13	14,7	30,3
	8	11,82	"	157,78	10,01	26,24	0,874	2098,38	14,1	29,7
V	1	10,21	"	134,23	8,64	28,26	0,892	2139,66	16,6	31,8
	2	10,41	"	134,90	8,81	28,21	0,889	2134,54	16,2	31,6
	3	10,33	"	"	8,75	"	0,890	2136,35	16,0	31,7
	4	10,2	"	135,25	8,64	28,18	0,892	2139,66	16,6	31,8
	5	"	"	"	"	"	"	"	"	"
	6	10,19	"	130,03	8,63	28,63	0,892	2139,96	16,6	"
	7	"	"	"	"	"	4	"	"	"
	8	10,68	"	134,23	9,04	28,26	0,887	2127,61	15,8	31,2

on adopte un espacement des armatures transversales constant : $t = 10 \text{ cm}$ en zone modale

$t = 20 \text{ cm}$ en zone courante.

avec une longueur de la zone modale : $\ell' = 2ht = 100 \text{ cm}$.

Vérification de la condition de non fragilité

(voir portiques transversant)
vérification de la fissuration. (voir portique transversant)

Condition de non entraînement des barres aux appuis

$$\bar{\epsilon}_{di} = \frac{T}{Pui \cdot j} \frac{A_i}{A}$$

Appuis	$T_{\text{max}}(\text{t})$	paquet	$A(\text{cm}^2)$	A_i/A	$P_{\text{ui}}(\text{cm})$	$\bar{\epsilon}_{di}(\text{kg/cm}^2)$
4T14	9,78	(14)	6,15	0,25	4,4	14,11
2T14+2T16	11,36	(14)	7,1	0,22	4,4	14,43
		(16)		0,28	5,03	16,06
4T16	11,41	(16)	8,04	0,25	5,03	14,4
5T16	9,64	(16)	10,05	0,2	5,03	9,74
		2(16)	12,06	0,4	12,23	8,01
6T16	11,93	2(16)	12,06	0,33	12,23	8,18

$$\bar{\epsilon}_{di}^{\text{mat}} = 16,06 \text{ kg/cm}^2 < \bar{\epsilon}_d = 17,7 \text{ kg/cm}^2 \quad (\text{vérifiée}).$$

Condition de non érasement du béton : (voir portique trans.)

Conditions aux appuis : $T_{\text{mat}} = 11,93 \text{ t}$ (SP₂)

$$c = a - (d + r) = 45 - (5 + 16) = 24 \text{ cm}$$

$$c_0 = \frac{2T_{\text{mat}}}{b_0 \bar{\sigma}_b} = \frac{2 \cdot 11,93 \cdot 10^3}{30 \cdot 68,5} = 11,61 \text{ cm} < c = 24 \text{ cm} \quad (\text{vérifié}).$$

Vérification de la flèche

$$1/ A^t < 43 \frac{b_0 h}{b_{\text{en}}} = 43 \cdot \frac{30 \cdot 45}{4200} = 13,82 \text{ cm}^2 > A_q^{\text{mat}} = 12,06 \text{ cm}^2$$

$$2/ h_t > \frac{\ell}{16} \quad h_t = 50 > \frac{\ell}{16} = \frac{404}{16} = 25,44 \text{ cm}$$

$$3/ h_t > M_t \cdot l_{\text{mat}} \quad h_t = 50 > \frac{l_{\text{mat}}}{10 M_0} M_t = 40,7 \frac{M_t}{M_0} \text{ avec } \frac{M_t}{M_0} < 1$$

Les 3 conditions sont vérifiées, donc il est inutile de justifier la flèche (Déterminer la valeur de la flèche)

Vérification des poutres soumises à la torsion

Les poutres soumises à la torsion sont celles qui se trouvent sous l'arcotère. On étudiera la poutre la plus défavorable. Moment de torsion : $M_t = P \cdot h = 100 \cdot 0,7 = 70 \text{ kg m}$. La section étant rectangulaire :

$$\frac{b}{a} = \frac{50}{30} = 1,667$$

On tire du tableau (4-62) de l'aide mémoire de béton armé le coefficient de torsion : χ_T , pour $\frac{b}{a} = 1,667 \rightarrow \chi_T = 2,56$

$$\text{d'où } \tau_b = \chi_T \cdot \frac{M_t}{a^3} = 2,56 \cdot \frac{7000}{30^3} = 0,66 \text{ kg/cm}^2$$

Si on prend $\tau_b = 1 \text{ kg/cm}^2 > 0,66 \text{ kg/cm}^2$ pour $\tau_b = 1 \text{ kg/cm}^2 \rightarrow \bar{\omega}_t = \bar{\omega}_l = 0,02$ qui sont les pourcentages d'armatures transversales et longitudinales tirées du tableau (4-63) de l'aide mémoire du béton armé.

$$\text{Or } A_l = \frac{ab \cdot \bar{\omega}_l}{100} = 30 \times 50 \cdot \frac{0,02}{100} = 0,3 \text{ cm}^2$$

$$A_l = 0,3 \text{ cm}^2 \ll 6,15 \text{ cm}^2 (4714)$$

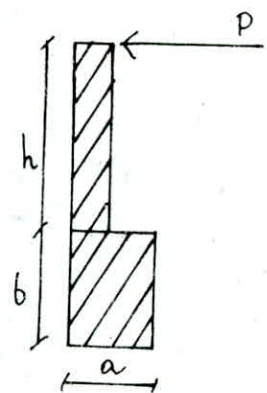
$$A_t = \frac{ab \cdot \bar{\omega}_t \cdot t}{100 \bar{\omega}_t} \quad \text{avec } t = 10 \text{ cm (espace entre les armatures transversales)}$$

t_t : longueur d'un cadre sans enrobage.

$$t_t = 144 \text{ cm.}$$

$$\text{donc } A_t = \frac{30 \cdot 50 \cdot 0,02 \cdot 10}{100 \cdot 144} = 2,08 \cdot 10^{-2} \text{ cm}^2 \ll A_t = 2,01 \text{ cm}^2.$$

Donc la torsion n'est pas à craindre.



Les poteaux sont soumis à la flexion composée dans un effet normale N appliquée au centre de gravité de la section et un moment fléchissant M en tête et à la base des poteaux dans les deux sens longitudinal et transversal.

Sous SP1 : N et M dûs à $G + 1.2 P$
avec : $N = N_{ax} + N_{ay} + 1.2 [N_{ex} + N_{ey}]$

Sous SP2 : $M = M(G) + 1.2 \cdot M(\theta)$

$$N_{max} - M_{Gmax} \quad N_{min} - M_{Gmin}$$

Le ferrailage des poteaux sera symétrique et est donné par :

$\{N_{ax}\}_{min RPA}; \{A\}_{Sous SP1}\}$, et on vérifie les contraintes sur la recommandation RPA 81

- le pourcentage minimal d'armature longitudinale sera de 1% sans dépasser 4%.
- la diamètre des barres sera de 14 mm au moins.
- La longueur minimale de recouvrement est de 50 Ø.
- la distance entre les barres verticales dans une face du poteau ne doit pas dépasser 25 cm.

Flambement. Pour les charges excentrées si : (CCBA 68, Art 33.2)

- $\lambda = l_e/i \leq 35$: la pice est justifiée en flexion-composée sans tenir compte du flambement.
- $35 \leq \lambda \leq 50$: le poteau sera étudié en F.C avec une nouvelle excentricité c' sous l'effet de N et $M = N \cdot e'$

$$e' = e + f_c / f_c = 0.16(\lambda - 35)e \quad et \quad l = M/n$$

e' : étant l'excentricité de la charge par rapport au C.G et bien sûr.

$$i = \sqrt{I/B}$$

I : inertie du poteau dans le sens considéré

B : section du poteau.

f_c : longueur de flambement.

- $l_c = 0.7 l_0$: pour les pilier de bâtiment à étages multiples encastrés à un massif de fondation ou relié à des portes les traversants sont en poteau et ayant une plus grande inertie que les poteaux.
- $l_c = 0.9 l_0$: dans le cas contraire.

Pour metro 0s : $l_0 = 4w$, poteau 45.45 $\rightarrow l_c = 0.7 \cdot 4 = 2.80 \text{ m}$
 $i = 12.99 \text{ cm}$ $l_0 = 3.13 \text{ m}$ poteau 45.45 $\rightarrow l_c = 0.7 \cdot 3.13 = 2.191 \text{ m}$

$l_c = 2.80 \text{ m}$: dia : $\lambda = 21.55 < 35$

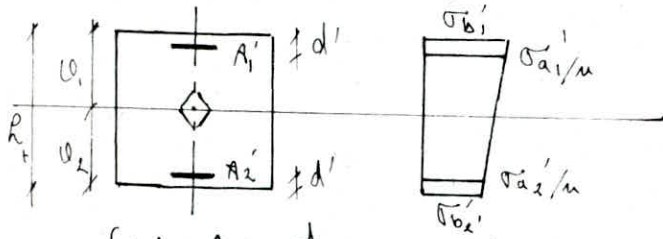
$l_c = 2.191 \text{ m}$ dia : $\lambda = 16.87 < 35$

Donc il ne sera pas tenu compte du flambement.

cas des armatures enjambées

1- Section entièrement comprimée.

Le cas se présente lorsque l'effort de compression N est appliqué à l'intérieur du moyen central de la section.



$$e_0 = M/N < e_1 = h/6$$

$$d'/h_t = 0.1$$

- Calcul des armatures:

$$M, N, e_0 = M/N < h/6$$

$$p = \bar{\sigma}_b' \frac{b \cdot h_t}{N} ; \beta = \frac{6 \cdot e_0}{h_t} ; \delta = \frac{d}{h_t}$$

$$D = 0.3(\beta - \beta) - 0.9(1 - p)(1 - 2\delta)^2 ; E = \beta - 1 - \beta ; c = 0.27(1 - 2\delta)^2$$

$$w' = \frac{-D + \sqrt{D^2 - 4 \cdot C \cdot E}}{2C}$$

$$A = A' = w' \cdot \frac{b \cdot h_t}{100}$$

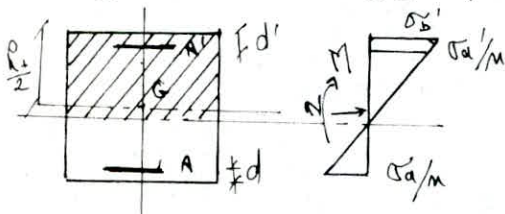
- Vérification des contraintes.

$$A = A' ; \sigma_1' = \sigma_2' = h/2 ; \sigma_{b'} = b \cdot h_t + 2 \cdot \sigma_A$$

$$I_{uu} = \frac{b \cdot h_t^3}{12} + 2 \cdot M \cdot A [h/2 - d]^2 ; \bar{\sigma}_{b'} / \sigma_{b'} = \frac{N}{\sigma_{b'}} + \frac{M \cdot h_t}{I_{uu} \cdot 2} \leq \bar{\sigma}_b'$$

$$\sigma_{a'} = 15 \cdot \bar{\sigma}_b' \leq \bar{\sigma}_a'$$

2- Section Partiellement Comprimée. Le cas se présente lorsque l'effort de compression est appliquée en dehors du moyen central de la section.



M: m% de flexion % au C.G du béton seul.

On calculera la section d'abord au flexion simple sans le moyen:

$$OG = N \cdot e = N \cdot [e_0 + (h/2 - d)]$$

Calcul des armatures:

$$N \cdot M \cdot e_0 = M/N > e_1 = h/6 \quad \begin{cases} \text{si } e_0 > h/2 \Rightarrow \bar{\sigma}_b' = 2 \bar{\sigma}_{b0}' \\ \text{si } e_0 < h/2 \Rightarrow \bar{\sigma}_b' = \bar{\sigma}_{b0}' (1 + 2 \frac{e_0}{h}) \end{cases}$$

$$OG = N \cdot e \rightarrow k = \bar{\sigma}_a / \bar{\sigma}_b' ; \alpha = \frac{M \cdot e}{15 \cdot k} \rightarrow \varepsilon = 1 - \alpha/3 \rightarrow \mu = \frac{\alpha \cdot \varepsilon}{2}$$

$$M_R = e' \cdot b \cdot h_t^2 \cdot \bar{\sigma}_b'$$

$$\text{Si } M_R > OG \quad \text{d'au } \gamma = 7/8 \cdot h \text{ et } A_{f.s} = \frac{OG}{\gamma \cdot \bar{\sigma}_a} \quad \text{d'au } A_{f.c} = A_{f.s} - \frac{N}{\gamma}$$

$$\text{Si } M_R < OG \quad \text{d'au } \Delta M = OG - M_R ; \bar{\sigma}_a = k \cdot \bar{\sigma}_b' ; \delta' = d'/h$$

$$w = \frac{100 \cdot \gamma}{2 \cdot \alpha} \quad \bar{\sigma}_{a'} = \frac{15}{\alpha} (\alpha - \delta') \bar{\sigma}_b' \Rightarrow \begin{cases} A'_{f.s} = \frac{\Delta M}{\bar{\sigma}_{a'} (h - d')} \\ A_{f.s} = \frac{w \cdot b \cdot h}{100 \cdot \bar{\sigma}_a (h - d')} \end{cases}$$

$$\Rightarrow \begin{cases} A'_{f.s} = A'_{f.s} = A' \\ A_{f.c} = A_{f.s} - \frac{N}{\bar{\sigma}_a} \end{cases}$$

Vérification des contraintes :

$$c = \frac{h + l}{2} - e_0$$

$$P = -3c^2 + \frac{6u}{b} [(h + d - c)A - A'(c - d')]$$

$$q = -2c^3 - \frac{6m}{b} [A'(c - d')^2 + A(h + d - c)^2]$$

$$y_{x1}^2 + P y_{x1} + q = 0 ; y_{x1} = y_{x2} + c$$

$$\delta' = \frac{b}{2} y_{x1}^2 + m A'(y_{x1} - d') + m A(2y_{x1} - h)$$

$$A = A' \Rightarrow \delta' = \frac{b}{2} y_{x1}^2 + m A(2y_{x1} - h)$$

$$\kappa = N/\delta'$$

$$\text{d'où } \begin{cases} \sigma_b' = \kappa \cdot y_{x1} < \bar{\sigma}_b \\ \sigma_a' = 15 \kappa (y_{x1} - d') < \bar{\sigma}_a \\ \sigma_a = 15 \kappa (h - y_{x1}) < \bar{\sigma}_a \end{cases}$$

$$\begin{cases} \sigma_b' = \kappa \cdot y_{x1} < \bar{\sigma}_b \\ \sigma_a' = 15 \kappa (y_{x1} - d') < \bar{\sigma}_a \\ \sigma_a = 15 \kappa (h - y_{x1}) < \bar{\sigma}_a \end{cases}$$

- nous l'apporter le détail de ferrailage et des vérifications des poteaux D1 et C2 respectivement poteau d'angle et poteau de centre. Pour les poteaux G1 et C2 de rives on présentera les résultats trouvés.

Armatures transversales dans les poteaux :

les espacements des armatures transversales des poteaux sont calculés sous T où au moins à l'aide de la formule : $t = \frac{A_t \cdot h \cdot \sigma_{tu}}{1.25T}$ avec h étant la hauteur de la section du poteau.

On utilise des aciers doux E24, $\sigma_{tu} = 2400 \text{ kg/cm}^2$.

A_t : section d'armature transversale :

$T = 2$ fois l'effort tranchant où au moins si $\lambda \geq 15$.

$T = 3$ fois " " " " " si $\lambda < 15$

Dans notre cas $\lambda > 15$ (λ : élancement mécanique des poteaux)

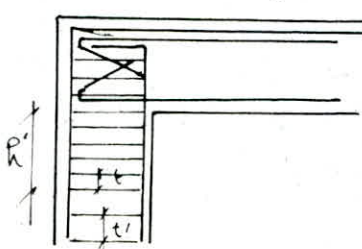
$T_{(as)} = 2 T$. On vérifiera la contrainte de cisaillement due à l'effort tranchant. $\sigma_b = \frac{T}{b \cdot z} \leq \bar{\sigma}_b = 0.15 \bar{\sigma}_{28}' ; z = \frac{7}{8} \cdot h$

L'espacement t entre les deux successifs d'armatures doit être tel que : $t \leq \min(\phi.10; 15\text{cm})$ en zone normale.

$t' \leq 12\phi$ zone courante.

$$R' = \max\left(\frac{h_e}{6}; b; h; 60\text{cm}\right)$$

h_e : hauteur libre d'étage



Niveau	Sens	Secteur	S.P. 1			S.P. 2				
			N(H)	M(t _m)	N ^{max} (t)	M ^{max} (t _m)	M ^{max} (t _m)	N ^{max} (t)	N ^{min} (t)	M ^{min} (t _m)
7	L	t	7.65	0.82	8.85	3.73	3.73	8.85	5.81	1.83
		b	"	0.88	"	2.02	2.02	"	"	0.94
	T	t	"	2.35	8.40	5.05	5.05	8.40	4.80	1.03
		b	"	1.47	"	2.51	2.51	"	"	0.44
6	L	t	19.81	0.64	23.08	5.03	5.03	13.08	11.93	3.37
		b	"	0.63	"	3.53	3.53	"	"	2.14
	T	t	"	1.59	21.46	6.13	6.13	21.46	13.88	3.80
		b	"	1.59	"	3.39	3.39	"	"	1.16
5	L	t	31.34	0.63	38.50	6.04	6.04	38.50	16.99	4.63
		b	"	0.63	"	5.05	5.05	"	"	3.41
	T	t	"	1.59	34.81	6.41	6.41	34.81	20.07	4.18
		b	"	"	"	5.27	5.27	"	"	3.04
4	L	t	43.48	0.63	55.18	7.18	7.18	55.18	21.01	5.18
		b	"	0.63	"	5.99	5.99	"	"	4.19
	T	t	"	1.59	48.70	7.28	7.28	48.70	32.55	4.08
		b	"	1.59	"	6.23	6.23	"	"	3.21
3	L	t	55.48	0.63	72.59	7.37	7.37	72.59	24.41	5.34
		b	"	0.63	"	6.90	6.90	"	"	4.95
	T	t	"	1.59	68.83	7.43	7.43	68.83	32.55	4.21
		b	"	1.59	"	7.47	7.47	"	"	4.24
2	L	t	67.37	0.63	91.94	12.33	12.33	91.94	26.21	9.47
		b	"	0.63	"	3.54	3.54	"	"	2.15
	T	t	"	1.59	77.64	9.86	9.86	77.64	39.80	6.83
		b	"	1.59	"	6.02	6.02	"	"	3.03
1	L	t	79.34	0.63	109.77	10.02	10.02	109.77	29.31	7.55
		b	"	0.67	"	14.77	14.77	"	"	11.44
	T	t	"	1.63	92.88	7.95	7.95	92.88	43.94	4.58
		b	"	1.74	"	13.57	13.57	"	"	9.14

Mineral	Specie	Section	M + w	N +	ρ_{cm}	e_1 cm	Solli	$\bar{\rho}_b'$ ρ_b/ρ_a	d cm	A (cm ²) calcd	A min RBA	ϕ Chasi	σ_b'	σ_b'	σ_a'
M	L	L	0.82	7.65	10.72	7.50	S.E.C	101.51	4.50	↑	18.225	2T20	$\sigma_b' = 25.67$	$\sigma_a = 183.18$	384.55
		b	0.88	"	7.58	"	"	91.91	"		"	1T14	$\sigma_b' = 24.84$	$\sigma_a = 172.97$	363.12
	T	r	1.35	"	80.72	"	"	137.5	"		"	3T20	$\sigma_b' = 35.53$	$\sigma_a = 153.54$	538.96
		b	1.47	"	19.22	"	"	127.49	"		"	3T20	$\sigma_b' = 29.81$	$\sigma_a = 211.72$	446.57
6	L	r	0.64	19.6	3.27	"	S.E.C	78.74	"		"	2T20	80.54	51.18	455.34
		b	0.63	"	3.21	"	S.E.C	78.56	"		"	1T14	29.86	51.60	447.90
	T	r	1.66	"	8.47	"	S.P.C	94.63	"		"	3T20	$\sigma_b' = 41.73$	$\sigma_a = 297.78$	685.14
		b	1.59	"	8.11	"	S.P.C	93.53	"		"	3T20	"	"	"
5	L	r	0.69	31.54	1.99	"	S.E.C	74.83	4.50		18.225	2T20	14.95	10.22	224.45
		b	0.63	"	1.99	"	"	74.83	"		"	1T14	"	"	"
	T	r	1.59	"	5.04	"	"	84.15	"		"	3T20	75.37	54.23	1120.55
		b	1.59	"	5.04	"	"	"	"		"	3T20	"	"	"
4	L	r	0.63	43.49	1.45	7.50	"	73.19	"		"	2T20	29.86	15.01	447.90
		b	0.63	"	1.45	"	"	"	"		"	1T14	"	"	"
	T	r	1.59	"	3.66	"	"	79.93	"		"	3T20	20.61	18.56	309.15
		b	1.59	"	3.66	"	"	"	"		"	3T20	"	"	"
3	L	r	0.63	55.42	1.14	"	"	76.83	"		"	2T20	26.87	20.35	394.05
		b	0.63	"	1.14	"	"	"	"		"	1T14	"	"	"
	T	r	1.59	"	2.87	"	"	77.58	"		"	3T20	26.88	23.48	394.20
		b	1.59	"	2.87	"	S.E.C	"	"		"	3T20	"	"	"
2	L	r	0.63	67.37	0.94	"	"	71.68	4.50		18.225	2T20	29.86	25.41	447.90
		b	0.63	"	0.94	"	"	"	"		"	1T14	"	"	"
	T	r	1.59	"	2.36	"	"	75.96	"		"	3T20	31.93	20.61	478.95
		b	1.59	"	2.36	"	"	"	"		"	3T20	"	"	"
1	L	r	0.63	79.34	0.79	7.50	"	71.18	"		"	2T20	37.61	30.49	564.15
		b	0.67	"	0.84	"	"	71.32	"		"	1T14	31.76	30.29	476.4
	T	r	1.63	"	2.05	"	"	75.01	"		"	3T20	77.66	25.49	1158.9
		b	1.74	"	2.19	"	"	75.44	"		"	3T20	82.48	24.94	1837.2

93

- Vérification du ferrailage trouvé dans l'île. Portion D1.
 Sollicitation île N^{me} - 1^{re} cor.

niveau	deux	section	M ₁ (Nm)	N (N)	e ₀ (cm)	l ₁ (cm)	T _{b'}	Solli	A = A' (cm ²)	C (cm)	T _{b'}	T _{a'}	T _a
7	L	t	1.83	5.81	31.50	7.50	266.25	↑	7.82	-9	165.2	146.43	285.45
		b	0.94	5.81	16.18	0	177.45	↓	7.82	6.32	8.49	126.80	55.09
	T	t	1.03	4.80	21.45	"	261.45	-3	9.42	1.05	9.81	146.48	123.62
		b	0.44	4.80	9.17	"	145.16	3	9.42	13.33	15.56	233.22	158.90
6	L	t	3.37	11.93	28.65	"	266.25	0	7.82	5.75	30.43	454.07	351.87
		b	2.14	11.93	17.94	"	185.36	3	7.82	4.56	19.30	288.39	160.57
	T	t	3.80	13.28	28.61	"	266.25	9	9.42	6.11	26.27	392.47	244.31
		b	1.16	13.28	8.73	7.50	143.14		9.42	13.71	24.32	363.34	226.18
5	L	t	4.83	16.99	24.90	"	266.25		7.82	-2.40	38.36	572.61	534.60
		b	3.41	16.99	20.07	"	195.13		7.82	2.43	28.12	48.15	245.76
	T	t	4.18	20.07	26.83	"	198.61		9.42	1.67	25.86	386.66	115.95
		b	3.04	20.07	15.15	"	142.57	3	9.42	7.35	30.49	455.88	136.71
4	L	t	5.18	21.08	24.65	"	266.25	3	7.82	-1.15	46.99	701.45	678.88
		b	4.19	21.08	19.94	"	194.53	3	7.82	1.56	37.96	565.53	390.03
	T	t	4.08	32.55	12.53	"	160.16	-9	9.42	9.97	36.79	549.55	379.00
		b	3.21	32.55	9.86	"	148.32	5	9.42	11.04	26.44	394.95	272.40
3	L	t	5.34	24.42	21.87	"	263.38	2	7.82	0.63	48.97	720.83	579.82
		b	4.95	24.42	20.27	"	196.04		7.82	2.13	29.06	433.01	493.26
	T	t	4.21	32.55	11.93	"	162.40		9.42	9.57	35.00	522.13	394.08
		b	4.24	32.55	13.03	"	162.85	5	9.42	9.43	32.00	478.06	294.60
2	L	t	9.47	26.21	36.13	7.5	266.25	0	7.82	-13.63	32.16	347.10	735.20
		b	2.15	26.21	8.20	"	140.71	3	7.82	14.30	48.53	615.05	197.75
	T	t	6.23	39.28	15.86	"	175.83	2	9.42	6.64	72.25	741.98	353.44
		b	3.03	39.28	7.71	"	138.47	7	9.42	14.79	49.53	740.90	116.75
1	L	t	7.55	29.31	25.76	"	266.25		7.82	-3.26	172.89	1712.7	2591
		b	11.44	29.31	39.03	1	266.25		7.82	16.53	77.31	1159	766.09
	T	t	4.58	43.94	10.42	"	150.89		9.42	12.08	95.08	1415	942
		b	9.14	43.94	20.80	"	198.47	↓	9.2	1.70	55.43	850.75	549.18

Poteau de centre C2

Niveau	Sens	Secteur	S.P.1		S.P. 2					
			N(+)	M(+)	N ^{MAX} (+)	M ^{Core} (+)	M ^{MAX} (+)	N(+)	N ^{MIN} (+)	M ^{Core} (+)
7	L	r	18.66	0.17	18.64	3.96	3.96	18.64	13.49	3.28
		b	"	0.21	18.64	2.75	2.75	18.64	13.49	2.22
	T	r	"	1.79	2.66	7.49	7.49	2.66	15.17	4.48
		b	"	1.62	2.66	4.25	4.25	2.66	15.17	2.04
6	L	r	46.99	0.24	45.80	6.09	6.09	45.80	27.89	4.99
		b	"	0.22	45.80	5.00	5.00	45.80	27.89	4.10
	T	r	"	1.82	51.84	9.64	9.64	51.54	32.68	7.16
		b	"	1.77	51.54	6.86	6.86	51.54	32.68	4.44
5	L	r	75.35	0.22	73.18	7.74	7.74	73.18	42.48	6.38
		b	"	0.22	73.18	7.05	7.05	73.18	42.48	5.81
	T	r	"	1.77	83.80	10.70	10.70	83.80	51.33	9.28
		b	"	1.77	83.80	10.20	10.20	83.80	51.33	7.89
4	L	r	103.69	0.22	100.89	9.31	9.31	100.89	57.34	7.69
		b	"	0.22	100.89	8.48	8.48	100.89	57.34	7.00
	T	r	"	1.77	117.58	12.61	12.61	117.58	71.25	10.19
		b	"	1.77	117.58	12.13	12.13	117.58	71.25	9.71
3	L	r	132.03	8.17	128.66	10.00	10.00	128.66	72.26	8.27
		b	"	8.23	128.66	10.08	10.08	128.66	72.26	8.33
	T	r	"	1.77	152.51	13.74	13.74	152.51	92.13	11.32
		b	"	1.77	152.51	13.81	13.81	152.51	92.13	11.39
2	L	r	160.56	8.83	157.78	10.80	10.80	157.78	98.29	8.93
		b	"	8.89	157.78	10.87	10.87	157.78	98.29	8.99
	T	r	"	1.77	187.91	14.71	14.71	187.91	113.40	12.29
		b	"	1.77	187.91	14.79	14.79	187.91	113.40	12.37
1	L	r	187.45	8.79	184.01	10.75	10.75	184.01	102.50	8.89
		b	"	13.05	184.01	15.81	15.88	184.01	102.00	13.15
	T	r	"	1.63	223.83	15.59	15.59	223.83	134.66	13.19
		b	"	1.98	223.13	21.77	21.77	223.13	134.66	19.20

Terrailage du Potier de Centre C2 sous SP1.

N°	Date	M1	M2	N _r	E _o	E _m	Selli	G _o kg/m ³	d cm	A (kg) cubic meter	A cubic meter	Φ _{min}	T _{b1} '	T _{b2} '	G _a
1	17	18.66	0.91	4.50	51.59	41.59	41.50	18.225	24.725	84.6	7.85	131.40			
2	6	0.21	"	1.13	"	51.59	69.39	"	"	17.14	8.96	6.86	134.40		
3	T	1.79	"	9.59	"	51.59	98.05	"	"	3 T 20	61.47	/	92.0		
4	T	1.62	"	8.64	"	51.59	95.28	"	"	3 T 20	61.47	/	90.0		
5	T	0.24	46.99	0.51	"	51.59	70.31	"	"	2 T 20	21.12	1.8.72	316.90		
6	T	0.26	"	0.47	"	50.19	"	"	"	1 T 14	21.02	18.62	215.20		
7	T	1.82	"	3.84	"	80.58	"	"	"	3 T 20	50.01	19.83	200.13		
8	T	1.77	"	3.77	"	80.57	"	"	"	3 T 20	28.79	11.05	431.70		
9	T	0.23	45.35	0.29	"	69.64	"	"	"	2 T 20	33.06	30.08	495.90		
10	T	0.42	"	0.29	"	69.64	"	"	"	1 T 14	33.06	30.08	495.90		
11	T	1.74	"	1.34	"	45.90	"	"	"	3 T 20	40.80	13.09	612.00		
12	T	1.77	"	2.34	7.50	75.90	41.60	"	"	16.225	3 T 20	40.80	13.09	612.00	
13	T	0.22	103.69	0.21	"	69.39	"	"	"	2 T 20	45.06	41.86	675.90		
14	T	0.24	"	0.21	"	69.39	"	"	"	1 T 14	45.06	41.86	675.90		
15	T	1.74	"	1.71	"	73.98	"	"	"	3 T 20	52.92	35.11	792.30		
16	T	1.97	"	1.71	"	73.98	"	"	"	2 T 20	52.48	32.20	787.20		
17	T	0.22	131.03	6.19	"	87.67	"	"	"	1 T 14	52.48	52.20	787.20		
18	T	0.22	"	6.19	"	87.67	"	"	"	3 T 20	53.44	51.14	972.85		
19	T	1.74	"	1.34	"	42.85	"	"	"	4 T 20	23.79	63.54	957.55		
20	T	1.77	"	1.34	"	72.85	"	"	"	1 T 14	23.79	63.54	957.55		
21	T	0.22	160.56	5.50	"	87.56	"	"	"	6 T 20	64.75	61.56	971.47		
22	T	1.74	"	5.54	4.50	85.68	"	"	"	1 T 14	64.75	62.55	971.47		
23	T	1.77	"	1.10	"	72.11	15.99	"	"	6 T 20	64.75	61.56	971.47		
24	T	1.77	"	1.10	"	72.11	15.99	"	"	6 T 20	64.75	62.55	971.47		
25	T	0.22	187.45	4.69	"	83.08	"	"	"	4 T 25	84.48	64.41	967.20		
26	T	0.24	"	6.96	"	90.02	4.56	3.05	"	1 T 14	64.48	64.41	967.20		
27	T	1.63	"	0.87	"	21.41	"	"	"	6 T 25	64.70	64.19	970.57		
28	T	1.88	"	1.00	"	71.51	"	"	"	6 T 25	64.74	64.14	971.21		

- Vérification du ferrailage trouvé dans N°1
 Poteau C2 Solli SPL N^{max} - M^{com}.
 M^{max} - N^{com}.

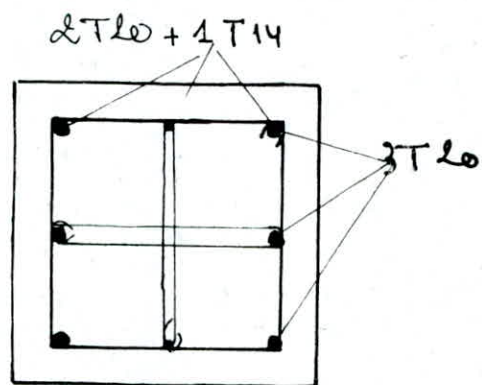
mir	num	petit	M _{t.m}	N _t	l _o cm	l ₁ cm	l _{b'}	Solli	A = A' cm ²	C (cm)	B _{b'}	B _{a'}	G _a
7	L	t	3.96	18.64	21.24	7.50	200.49	T	7.82	1.26	36.78	549.85	440.08
		b	2.75	18.64	14.75	"	170.74		7.82	7.75	20.32	303.97	31.28
	T	t	7.49	20.66	36.85	"	206.85	Q	9.42	-13.75	32.45	36.28	153.58
		b	4.25	20.66	20.57	"	197.42	3	9.42	1.93	32.45	484.9	259.12
6	L	t	6.09	45.80	13.30	"	164.09	Q	7.82	9.20	57.87	769.75	246.44
		b	5.00	45.80	10.92	"	153.18	3	7.82	11.58	62.64	946.68	73.48
	T	t	9.64	51.54	18.70	"	188.85		9.42	3.84	82.58	1817.60	180.32
		b	6.86	51.54	13.31	"	164.14		9.42	9.19	60.92	970.60	189.58
5	L	t	4.74	43.18	10.58	"	151.22	3	7.82	11.92	74.94	1129.76	415.17
		b	4.05	43.18	9.63	"	147.27	3	7.82	12.87	70.65	1057.18	201.76
	T	t	10.70	83.80	12.77	7.50	161.66	Q	9.42	9.73	93.73	1402.10	211.71
		b	10.30	83.80	12.89	"	162.21	3	9.42	10.21	91.02	1361.50	163.44
4	L	t	9.31	100.89	9.23	"	145.44	Q	7.82	13.17	94.95	1420.89	818.95
		b	8.48	100.89	8.41	"	141.68	3	7.82	14.09	90.26	1350.96	165.58
	T	t	12.61	117.51	10.72	"	152.17		9.42	11.78	116.56	1749.97	469.90
		b	12.13	117.51	10.32	"	150.43		9.42	12.18	113.78	1704.47	549.59
3	L	t	10.00	128.66	7.47	"	138.74	3	7.82	14.73	108.69	1616.81	180.74
		b	10.08	128.66	7.83	"	139.00	2	7.82	14.67	169.03	1631.97	216.48
	T	t	13.74	152.51	9.00	"	144.38	↓	9.42	13.50	130.79	1917.54	214.82
		b	13.81	152.51	9.06	"	144.66	S.E.C	9.42	13.44	133.67	2000.54	1804.3
2	L	t	10.80	157.78	6.84	7.50	134.49	S.E.C	14.10		56.56.27	56.52.33	5a' 849
		b	10.87	157.78	6.89	"	134.71	S.E.C	14.10		56.56.28	56.52.31	5a' 844
	T	t	14.71	187.91	7.83	"	139.82	S.E.C	18.84	14.67	137.03	2057.14	308.52
		b	14.79	187.91	7.87	"	139.46	S.E.C	18.84	14.63	137.29	2055.02	306.8
1	L	t	10.75	184.01	5.84	"	129.90	S.E.C	21.17		56.56.27	56.51.26	5a' 979.11
		b	15.88	184.01	8.63	"	142.68	S.E.C	21.17	13.87	135.15	2022	164.97
	T	t	15.58	183.23	6.98	"	135.12	S.E.C	29.45		56.57.96	56.53.83	5a' 1195
		b	21.77	183.23	9.75	"	147.81	S.E.C	29.45	12.77	114.74	2317	215.66

- Vérification du ferrailage trouvé sous SP1.

Poteau de centre C2 . Solli SP2 $N_{min} - N_{max}$

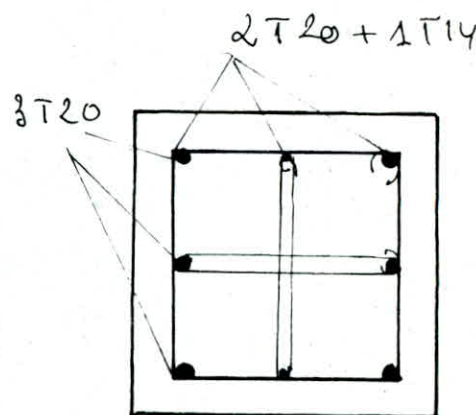
niveau	per	secteur	M _{t.w}	N _t	la cm	a cm	B _{b'}	Solli	A = A'	C cm	B _{b'}	R _{a'}	G _a
7	L	r	3.28	13.49	24.31	7.50	266.15	↑	7.82	-1.81	29.67	441.93	414.49
		b	2.22	13.49	16.46	"	138.58		7.82	6.04	20.07	299.97	136.43
	T	r	4.48	15.17	29.53	"	266.25		9.42	-7.03	35.38	528.09	524.45
		b	2.04	15.17	16.45	"	164.78		9.42	9.05	18.89	275.01	65.49
6	L	r	4.99	27.89	17.89	"	180.15		7.82	4.61	52.84	780.24	575.53
		b	4.16	27.89	14.70	"	170.51		7.82	7.80	38.80	580.03	217.58
	T	r	7.16	32.68	21.91	"	263.56		9.42	0.59	57.00	851.51	560.10
		b	4.44	32.68	13.57	"	165.23		9.42	8.93	41.55	621.27	180.62
5	L	r	6.38	48.48	15.02	"	171.98		7.82	7.48	58.01	867.24	806.51
		b	5.81	48.48	13.68	"	165.83		7.82	8.82	53.05	793.29	198.94
	T	r	8.28	51.33	16.13	7.50	177.06		9.42	6.37	69.25	1031.27	370.61
		b	7.89	51.33	15.37	"	173.58		9.42	7.13	67.87	1014.80	340.06
4	L	r	7.69	57.34	13.41	"	164.60		7.82	9.09	67.80	1014.01	191.65
		b	7.00	57.34	12.61	"	159.10		7.82	10.29	68.79	1028.70	211.89
	T	r	10.19	41.25	14.80	"	168.68		9.42	8.20	87.88	1314.11	337.73
		b	9.71	41.25	13.63	"	165.60		9.42	8.87	84.19	1159.09	164.83
3	L	r	8.27	72.66	11.44	"	155.57		7.82	11.06	45.19	1164.14	69.75
		b	8.33	72.66	11.53	"	155.98		7.82	10.97	76.28	1141.19	79.46
	T	r	11.32	92.13	12.29	"	159.46		9.42	10.21	96.70	1446.62	181.30
		b	11.39	92.13	12.36	"	159.78		9.42	10.14	97.34	1456.23	107.61
2	L	r	8.93	88.29	10.11	7.50	149.47		14.10	12.39	78.55	1175.4	250.57
		b	8.99	88.29	10.18	"	149.79		14.10	12.31	80.36	1202.42	595.55
	T	r	12.29	113.40	10.84	"	152.81		18.84	11.66	98.01	1467.55	616.78
		b	12.38	113.40	10.91	"	153.18		18.84	11.58	98.45	1473.07	628.75
1	L	r	8.89	102.00	8.72	"	143.10		21.17	13.78	75.29	1166.89	1315.6
		b	13.15	102.00	12.89	"	161.11		21.17	9.61	94.73	1417.09	1408.20
	T	r	13.29	134.66	9.87	"	148.37		29.45	12.61	93.91	1405.62	1317.16
		b	19.60	134.66	14.66	"	168.49	↓	29.45	8.24	117.09	1751.50	2070.00

Poteau de ligne (angle)

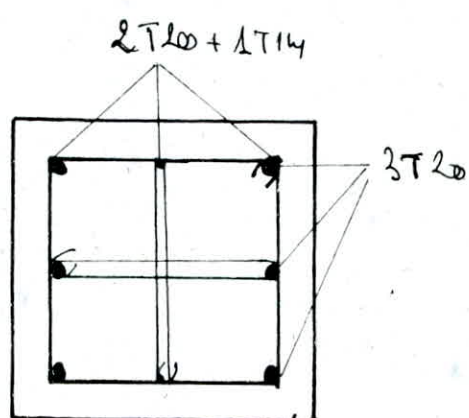


niveau courant

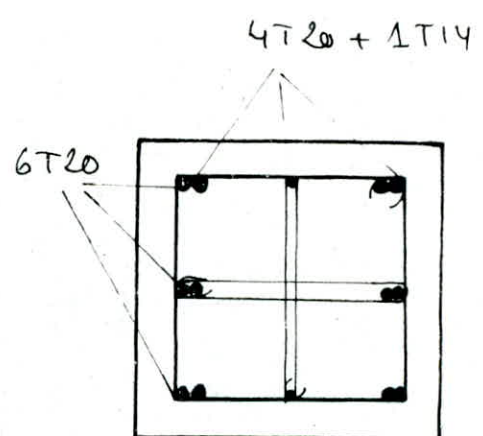
Poteau de centre



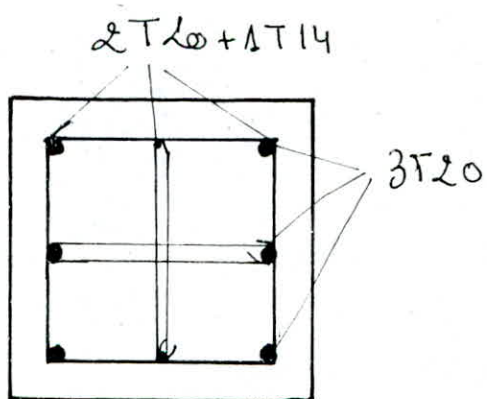
niveau autre que 1-2
et 1-RDC



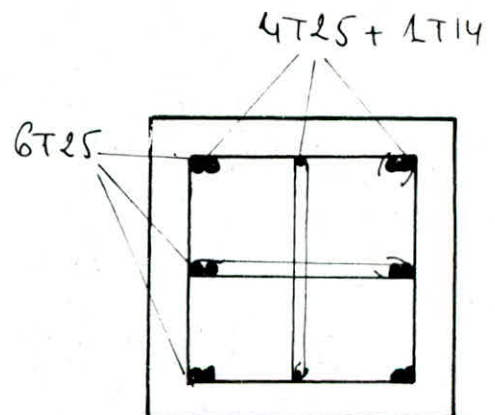
niveau courant



niveau 1 - 2



RDC - 1



RDC - 1

- Structures transversales. - Poteau Centrale C 2

mis	per	T(H)	Tcal	R ₁	R ₂ + cou	some coupe	Σ RPA 3 mod	t cm	d cm	M _b	\bar{M}_b	3. coupe 3. mod	t adopté 3. mod	R' 3. mod
7	L	1.69	3.38	45	2.01	16.80	14	38.54	4.50	2.11	41.25	16	14	60
	T	2.08	4.16	"	"	"	14	31.15	"	2.60	"	"	"	"
6	L	2.84	5.68	"	"	"	14	22.88	"	3.56	"	"	"	"
	T	3.51	7.02	"	"	"	11	18.46	"	4.40	"	"	"	"
5	L	3.83	7.66	"	"	"	11	16.92	"	4.80	"	"	"	"
	T	4.72	9.44	"	"	"	11	13.73	"	5.92	"	"	"	"
4	L	4.63	9.22	45	2.01	"	"	14.00	"	5.81	"	16	14	60
	T	5.71	11.42	"	"	16.80	11	11.35	"	7.16	"	"	"	"
3	L	5.24	10.48	"	"	"	11	18.37	4.50	6.67	41.25	"	"	"
	T	6.46	10.92	"	"	"	11	11.87	"	6.85	"	"	"	"
2	L	5.66	11.32	"	"	"	11	11.45	"	7.10	"	"	"	"
	T	6.96	13.96	"	"	"	11	9.88	"	8.75	"	"	"	"
1	L	5.46	10.92	"	"	"	11	11.87	"	6.85	"	"	"	65
	T	7.10	14.20	"	"	"	11	9.13	"	8.90	"	"	"	65

Poteau de rive et d'angle .

mis	per	T(H)	Tcal	R ₁	R ₂ + cou	some coupe	Σ RPA 3. mod	t cm	d cm	M _b	\bar{M}_b	3. coupe 3. mod	t adopté 3. mod	R' 3. mod
7	L	1.09	2.18	45	2.01	16.80	14	38.80	4.50	59.45	41.25	16	14	60
	T	2.16	4.36	"	"	"	11	66.12	"	29.72	"	"	"	60
6	L	1.83	3.66	"	"	"	11	21.64	"	35.41	"	"	"	"
	T	3.67	7.34	"	"	"	11	39.27	"	17.66	"	"	"	"
5	L	2.46	4.92	"	"	"	11	15.77	"	26.34	"	"	"	"
	T	4.94	9.88	"	"	"	11	29.19	"	13.18	"	"	"	"
4	L	2.98	5.96	"	"	"	11	13.04	"	21.74	"	"	"	"
	T	5.97	11.94	45	"	"	11	24.09	"	10.85	"	"	"	"
3	L	3.37	6.74	"	2.01	16.80	14	11.83	4.50	19.23	41.25	16	14	"
	T	6.76	13.52	"	"	"	11	21.32	"	9.59	"	"	"	"
2	L	3.64	7.28	"	"	"	11	10.66	"	17.60	"	"	"	"
	T	7.80	14.60	"	"	"	11	19.69	"	8.88	"	"	"	"
1	L	4.62	9.24	"	"	"	11	11.77	"	14.03	"	"	"	65
	T	7.44	14.88	"	"	"	11	17.66	"	8.71	"	"	"	65

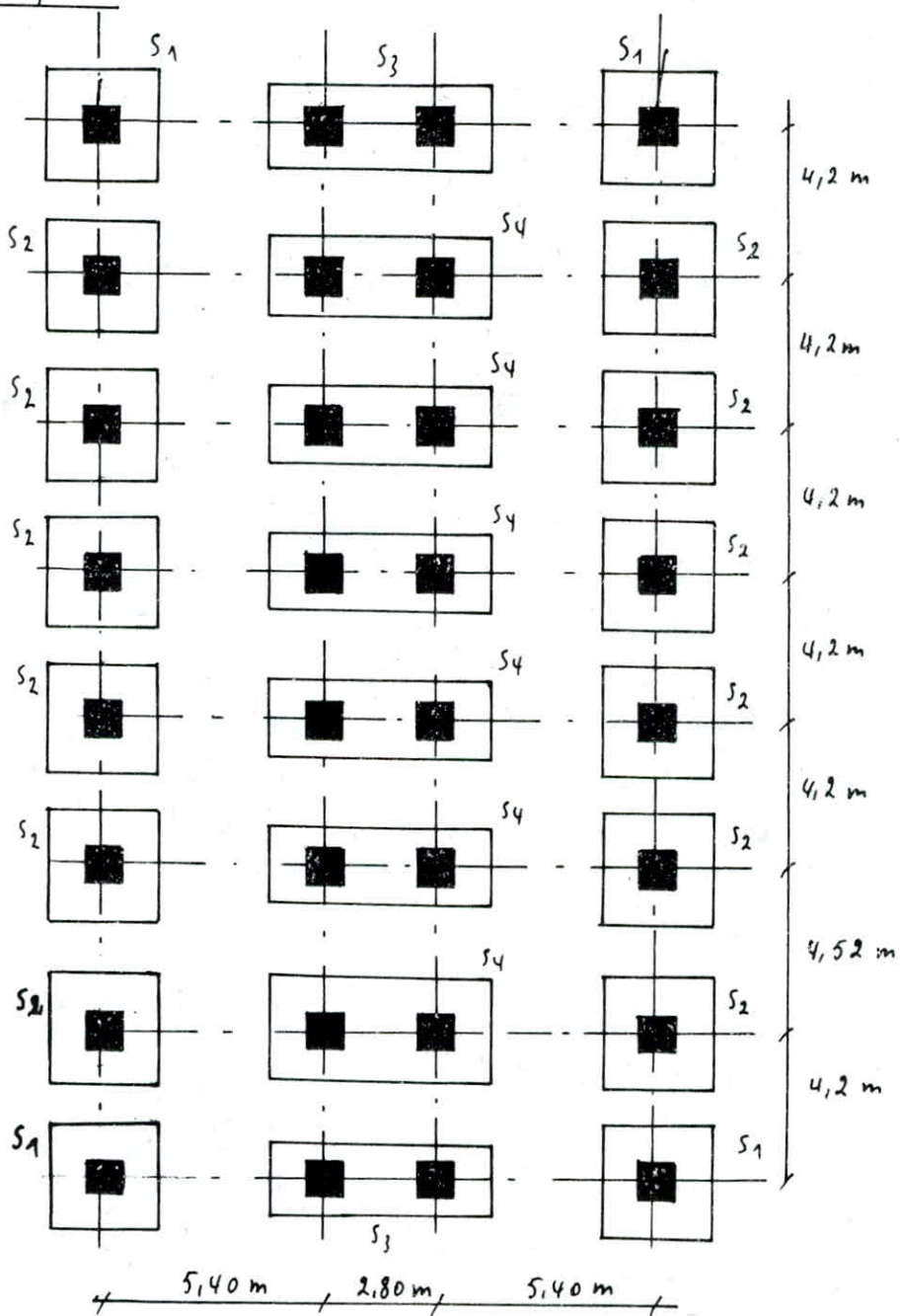
FONDA[TION]S

CALCUL DES FONDATIONS

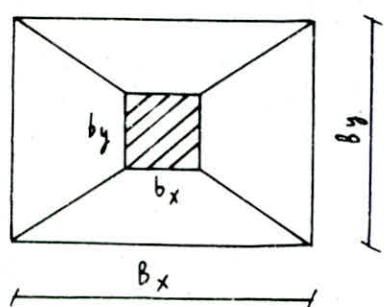
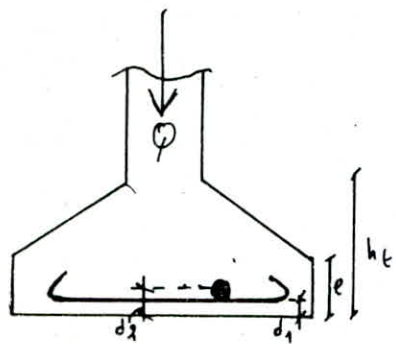
Introduction : Les fondations que nous allons étudier sont des fondations superficielles.
La contrainte admissible du sol est de $2,5 \text{ kg/cm}^2$ à $1,80 \text{ m}$ d'ouvrage.

Types de semelles : Nous avons deux types de semelles :
des semelles isolées sous poteau et
des semelles filantes sous deux poteaux.
On disposera au dessus de la semelle une couche de béton
de propreté de 10 cm d'épaisseur.
Le calcul sera fait sous SP_1 , puis on fait une vérification
sous SP_2 .

Vue en plan



Ferrailage des semelles isolées



σ = charge transmise au sol

$\bar{\sigma}_s$: contrainte admissible du sol

b_y : petit côté de la semelle

B_x : grand côté de la semelle

b_y : petit côté du pilier

b_x : grand côté du pilier

La contrainte sur le sol ne doit pas dépasser la contrainte admissible sur le sol ; pour cela nous devons avoir :

$$s = B_x \times B_y \geq \frac{\sigma}{\bar{\sigma}_s} ; \text{ nous prendrons } \frac{B_x}{B_y} = \frac{b_x}{b_y} = k$$

de manière que la semelle et le pilier soient homothétiques
les autres dimensions sont : $h_t \geq d_1 + \frac{B_x - b_x}{4}$; $h = h_t - d_1$
 $e \geq b_y + b_x$

Le ferrailage sera fait par la méthode des bâilles.
Les efforts sont :

$$F_x = \sigma \frac{(B_x - b_x)}{8h} \quad \text{d'où} \quad A_x = \frac{F_x}{\bar{\sigma}_a} \text{ suivant } ox.$$

$$F_y = \sigma \frac{(B_y - b_y)}{8h} \quad \text{d'où} \quad A_y = \frac{F_y}{\bar{\sigma}_a} \text{ suivant } oy.$$

Dans notre cas, on a des poteaux carrés, donc nous adopterons des semelles carrées.

Semelle S_1

$$\begin{aligned} \sigma &= \sigma (G + 1,2P)_e + \sigma (G + 1,2P)_t = 81,37 t \\ \sigma &= 81,37 t \end{aligned}$$

Dimensionnement de la semelle

$$\bar{\sigma}_s = \frac{\sigma}{k^2} \leq \bar{\sigma}_s \Rightarrow B \geq \sqrt{\frac{\sigma}{\bar{\sigma}_s}} \rightarrow B \geq \sqrt{\frac{81,37 \cdot 10^3}{2,5}} = 180,14 \text{ cm}$$

on prend $B = 200 \text{ cm}$

$$h \geq \frac{B - b}{4} = \frac{200 - 45}{4} = 38,75 \text{ cm} \quad \text{soit} \quad h = 45 \text{ cm} ; h_t = 50 \text{ cm}$$

Épaisseur de la semelle : e : l'épaisseur doit vérifier :
 $e \geq 6\phi + 6$ avec ϕ diamètre des armatures.

$$\text{Soit } \phi = 20 \text{ mm} \Rightarrow e \geq 6 \cdot 2 + 6 = 18 \text{ cm} ; \text{ soit } e = 20 \text{ cm}$$

Vérification de la contrainte du sol : on calcule l'effort normal de compression en tenant compte du poids propre de la semelle.

- poids propre de la semelle.

$$\Phi_s = [B \cdot e + \frac{(b+b)}{2} (h_t - e)] \cdot 8 \cdot 2,5 = [2 \cdot 0,2 + \frac{(2+0,45)}{2} (0,5 - 0,2)] \cdot 2 \cdot 2,5 =$$

$$\Phi_s = 3,84 \text{ t}$$

- charge totale transmise au sol : Φ_t

$$\Phi_t = \Phi + \Phi_s = 81,37 + 3,84 = 85,21 \text{ t}$$

$$\bar{\sigma}_s = \frac{\Phi_t}{B^2} = \frac{85,21 \cdot 10^3}{(200)^2} = 2,13 \text{ kg/cm}^2 < \bar{\sigma}_s = 2,5 \text{ kg/cm}^2$$

Calcul des armatures : on aura le même ferrailage dans les deux pans.

$$A_x = A_y = \frac{\Phi_t (B - b)}{8 h \cdot \bar{\sigma}_a} = \frac{85,21 \cdot 10^3 (200 - 45)}{8 \cdot 45 \cdot 2800} = 13,10 \text{ cm}^2$$

$$\text{on prend 9T14} \quad A = 13,85 \text{ cm}^2$$

Vérification de la condition de non poignonnement

La condition de non poignonnement sous les charges les cibles doit être satisfait sous les sollicitations du 1^{er} genre.

$$\bar{\sigma}_b = \frac{115 \text{ N}}{P_c \cdot h_t} \leq 1,2 \bar{\sigma}_s \text{ avec } N : \text{charge localisée}$$

P_c : périmètre du contour à considérer, située à une distance $h_t/2$.

$$\text{donc } P_c = 2(b_x + b_y + 2h_t) = 2(45 + 45 + 2,50) = 380 \text{ cm}.$$

$$N = 85,21 \text{ t.} \Rightarrow \bar{\sigma}_b = \frac{115 \cdot 85,21 \cdot 10^3}{380 \cdot 50} = 6,73 \text{ kg/cm}^2 < 1,2 \bar{\sigma}_s = 7,08 \text{ kg/cm}^2$$

Vérification sous SP_2 : $\Phi(SP_2) = 126,29 \text{ t}, M(SP_2) = 14,77 \text{ m}$

$$\begin{aligned} \bar{\sigma}_{1,2} &= \frac{\Phi}{A^2} + \frac{M \cdot \alpha}{I} = \frac{\Phi}{A^2} + \frac{M \cdot A/2}{A^4/12} = \frac{\Phi}{A^2} + \frac{6M}{A^3} = \begin{cases} \bar{\sigma}_1 = 4,25 \text{ kg/cm}^2 \\ \bar{\sigma}_2 = 2,05 \text{ kg/cm}^2 \end{cases} \\ \bar{\sigma}_s &= \frac{3 \bar{\sigma}_1 + \bar{\sigma}_2}{4} = 3,7 \text{ kg/cm}^2 < 1,5 \bar{\sigma}_s = 3,75 \text{ kg/cm}^2 \end{aligned}$$

Semelle S2 :

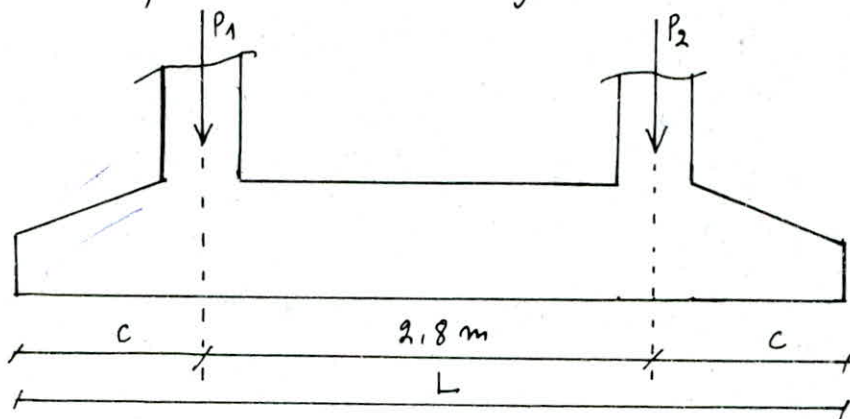
Le calcul se fait de la même manière que celui de la semelle S_1 .

$$\Phi(SP_1) = 132,43 t.$$

Les dimensions de la semelle sont les suivantes:
 $B = 2,40 \text{ m}$; $h_t = 70 \text{ cm}$; $h = h_t - d_s = 65 \text{ cm}$; $e = 20 \text{ cm}$
 Les armatures utilisées sont : 10 T 16 soit une section de $20,10 \text{ cm}^2$.
 Toutes les vérifications sont satisfaites y compris la vérification de la contrainte du sol sous SP_2 .
 $\Phi_t(SP_2) = 147,58 t$; $M(SP_2) = 16,53 \text{ t.m}$.

Semelle S_3

On prévoit une semelle commune (filante) sous deux poutres pour éviter l'interférence des contraintes.



Dimensionnement de la semelle

$$P_1 = P_2 = 87,39 \text{ t} \Rightarrow R = P_1 + P_2 = 2P = 174,78 \text{ t.}$$

$$\text{Soit } L = 5,6 \text{ m} \Rightarrow B \cdot L \geq \frac{R}{\sigma_s} \Rightarrow B \geq \frac{R}{L \cdot \sigma_s} = \frac{174,78 \cdot 10^3}{560 \cdot 2,5} = 125 \text{ cm}$$

$$\text{Soit } B = 140 \text{ cm}$$

$$\text{La hauteur de la poutre de rigidité doit être telle que: } h_t \geq \frac{L}{10} = \frac{560}{10} = 56 \text{ cm} \quad \text{Soit } h_t = 65 \text{ cm.}$$

$$e \geq 6\phi + 6 \quad \text{Soit } \phi = 20 \Rightarrow e \geq 18 \text{ cm, on prend } e = 20 \text{ cm}$$

Vérification de la contrainte: σ_s

- poids propre de la semelle: φ_s

$$\varphi_s = [3 \cdot e + \left(\frac{B+b}{2} \right) (h_t - e)] L \cdot 2,5 = [1,4 \cdot 0,2 + \left(\frac{1,4+0,45}{2} \right) (0,65-0,2)] 5,6 \cdot 2,5 =$$

$$\varphi_s = 9,75 \text{ t.}$$

$$\Phi_t = R + \varphi_s = 174,78 + 9,75 = 184,53 \text{ t.}$$

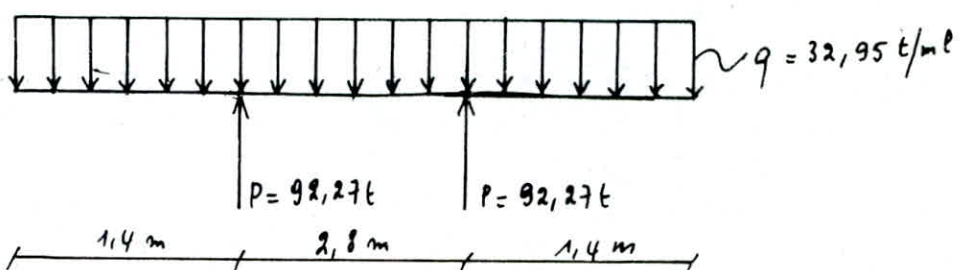
$$\text{d'où } \sigma_s = \frac{\Phi_t}{L \cdot B} = \frac{184,53 \cdot 10^3}{560 \cdot 140} = 2,35 \text{ kg/cm}^2 < \bar{\sigma}_s = 2,5 \text{ kg/cm}^2$$

Pression sur le sol

Dans le sens longitudinal, la semelle sera calculée comme une poutre appuyée sur les deux poteaux.

$$\text{Puisque } \Phi_t \text{ est centrée} \Rightarrow p = \frac{\Phi_t}{8 \times L} = \frac{184,53}{5,6 \cdot 1,4} = 23,54 \text{ t/m}^2.$$

$$q = p \cdot B = 23,54 \times 1,4 = 32,95 \text{ t/m.l.}$$



Moment fléchissant et effort tranchant

$$\text{a/ } 0 \leq x \leq 1,4 \quad M(x) = q \frac{x^2}{2} = 32,95 \frac{x^2}{2} \quad \begin{cases} M(0) = 0 \\ M(1,4) = 32,29 \text{ t.m} \end{cases}$$

$$T(x) = qx = 32,95x \quad \begin{cases} T(0) = 0 \\ T(1,4) = 46,14 \text{ t.} \end{cases}$$

$$\text{b/ } 1,4 \leq x \leq 4,2 .$$

$$M(x) = q \frac{x^2}{2} - P(x-1,4) = 32,95 \frac{x^2}{2} - 92,27(x-1,4)$$

$$M(1,4) = 32,29 \text{ t.m} ; \quad M(4,2) = 32,29 \text{ t.m} ; \quad M(2,8) = -0,014 \text{ t.m.}$$

$$T(x) = qx - P = 32,95x - 92,27 \quad \begin{cases} T(1,4) = -46,14 \text{ t} \\ T(4,2) = 46,14 \text{ t.} \end{cases}$$

Diagramme du moment fléchissant

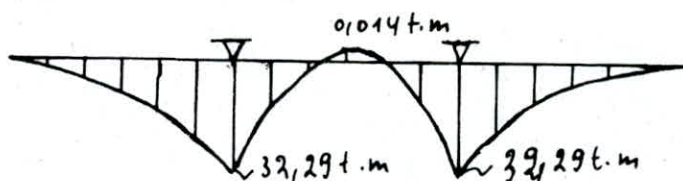
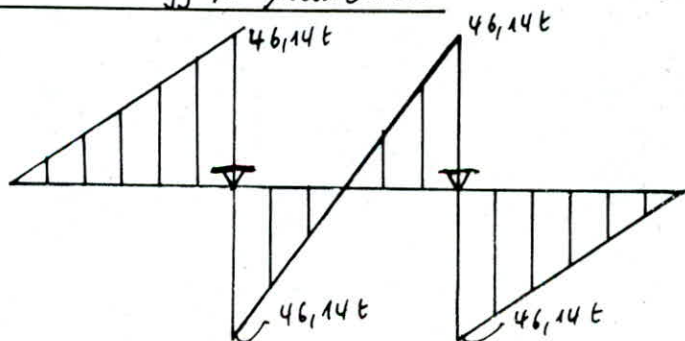


Diagramme de l'effort tranchant



Calcul des armatures longitudinales

$$M = 32,29 \text{ t.m} ; T_{\max} = 46,14 \text{ t} ; h = 80 \text{ cm} ; b = 45 \text{ cm}$$

Méthode de Pierre charon.

$$\mu = \frac{15 M}{\bar{\sigma}_a \cdot b \cdot h^2} = \frac{15 \times 32,29 \cdot 10^5}{2800 \times 45 \cdot 80^2} = 0,0601 \rightarrow \begin{cases} K = 34,2 \\ \varepsilon = 0,8984 \end{cases}$$

$$\bar{\tau}_b = \frac{\bar{\sigma}_a}{K} = \frac{2800}{34,2} = 81,87 \text{ kg/cm}^2 < \bar{\tau}_b' = 137 \text{ kg/cm}^2$$

Donc les aciers comprimés ne sont pas nécessaires.

Aciers tendus : $A = \frac{M}{\bar{\sigma}_a \cdot \varepsilon \cdot h} = \frac{32,29 \cdot 10^5}{2800 \cdot 0,8984 \cdot 80} = 16,05 \text{ cm}^2$

on adopte 6T20 soit $A = 18,84 \text{ cm}^2$.

Vérification de la condition aux appuis

$$A \geq \left(T + \frac{M}{z} \right) \frac{1}{\bar{\sigma}_a} = \left(46,14 \cdot 10^3 - \frac{32,29 \cdot 10^5}{\frac{4}{8} \cdot 80} \right) = 4,08 \cdot 10^3 \text{ cm}^2 (\text{vérifiée})$$

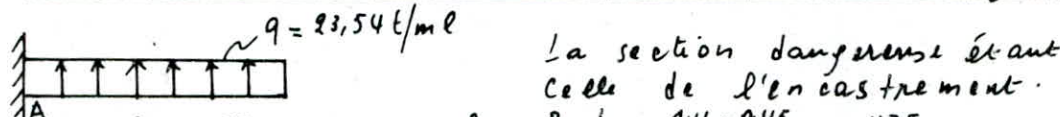
Entrainement des barres :

$$\bar{\tau}_d = \frac{T_{\max}}{n P_f} = \frac{46,14 \cdot 10^3}{6 \cdot 6,28 \cdot \frac{7}{8} \cdot 80} = 17,49 \text{ kg/cm}^2 < \bar{\tau}_d$$

$$\bar{\tau}_d = 2 \bar{\tau}_d \cdot \bar{\sigma}_b = 2 \cdot 1,5 \cdot 5,9 = 17,7 \text{ kg/cm}^2 > \bar{\tau}_d = 17,49 \text{ kg/cm}^2$$

Donc pas de risque d'entrainement des barres.

Calcul des armatures perpendiculaires à la poutre de rigidité



La section dangereuse étant celle de l'enca斯特rement.
 $l = \frac{B-b}{2} = \frac{1,4 - 0,45}{2} = 0,475 \text{ m}$

$$q = p \times 1 \text{ m} l = 23,54 \text{ t/m} l$$

$$M_A = \frac{q l^2}{2} = \frac{23,54 \cdot (0,475)^2}{2} = 2,66 \text{ t.m} ; T_A = q l = 23,54 \cdot 0,475 = 11,18 \text{ t}$$

Soit $b = 100 \text{ cm}$ (on prend une bande de 1 m de large)

$$h = 65 - 5 = 60 \text{ cm}$$

$$\mu = \frac{15 M}{\bar{\sigma}_a \cdot b \cdot h^2} = \frac{15 \cdot 2,66 \cdot 10^5}{2800 \cdot 100 \cdot (60)^2} = 0,0040 \quad \begin{cases} K = 158 \\ \varepsilon = 0,9711 \end{cases}$$

$K > \bar{K}$ donc pas d'aciers comprimés.

Aciers tendus : $A = \frac{M}{\bar{\sigma}_a \cdot \varepsilon \cdot h} = \frac{2,66 \cdot 10^5}{2800 \cdot 0,9711 \cdot 60} = 1,63 \text{ cm}^2$

Soit 3T10 /ml $\rightarrow A = 2,35 \text{ cm}^2$.

Contrainte de cisaillement au niveau de l'enca斯特rement

$$\bar{\tau}_b = \frac{T}{b \cdot z} = \frac{11,18 \cdot 10^3}{100 \cdot \frac{7}{8} \cdot 60} = 2,13 \text{ kg/cm}^2 < \bar{\tau}_b' = 3,5 \bar{\sigma}_b = 20,65 \text{ kg/cm}^2 (\text{vérifié})$$

on utilise des armatures transversales suspendues à la ligne moyenne.
soit 3 cadres T8 $\rightarrow A_t = 3,01 \text{ cm}^2$; $\bar{\sigma}_{at} = 2800 \text{ kg/cm}^2$.

calcul de l'espacement

$$t \leq \frac{A_t \cdot f \cdot \bar{\sigma}_{at}}{T} = \frac{3,01 \cdot 7 / 8 \cdot 2800}{46,14 \cdot 10^3} = 12,79 \text{ cm}$$

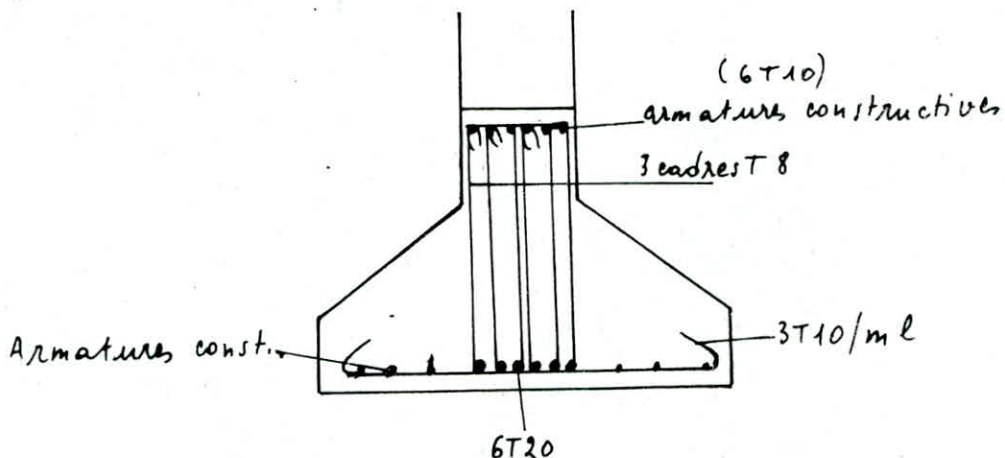
Espacement admissible

$$\bar{E} = \max \left\{ 0,2 h = 0,2 \cdot 80 = 16 \text{ cm} \right.$$

$$\left(1 - \frac{0,3 \gamma_b}{\bar{\sigma}_b} \right) h = \left(1 - \frac{0,3 \cdot 14,65}{5,9} \right) 80 = 20,41 \text{ cm}$$

$$\bar{E} = 20,41 \text{ cm}$$

on prend $t = 10 \text{ cm}$.



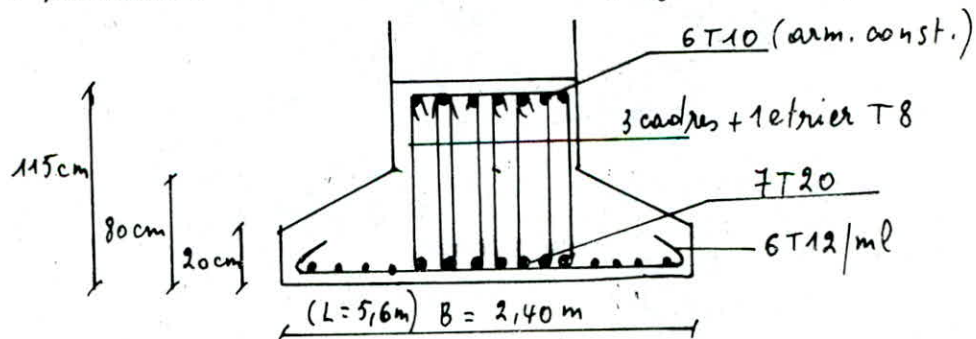
condition de non poinçonnement

$$\bar{\sigma}_b = \frac{1,5 N}{P_c \cdot h_t} \leq 1,2 \bar{\sigma}_b = 7,08 \text{ kg/cm}^2$$

$$N = 92,27 t; P_c = 2(b_x + b_y + 2h_t) = 2(45 + 45 + 2 \cdot 6,5) = 440 \text{ cm}$$

$$\bar{\sigma}_b = \frac{1,5 \cdot 92,27 \cdot 10^3}{440 \cdot 6,5} = 4,84 \text{ kg/cm}^2 < 1,2 \bar{\sigma}_b = 7,08 \text{ kg/cm}^2$$

Semelle s_4 : Les calculs se font de la même manière que la semelle s_3 . toutes les vérifications sont réalisées. Le coffrage et le ferrailage sont dans le schéma suivant : ($\varphi_t = 317,83 \text{ t}$)



Calcul des longrines

les longrines sont placées pour solidaire les fondations reprendre les moments à la base des poteaux et résister à la traction sous l'action d'une force égale à : (RPA. 4233) $N/10$ où N est la force axiale du poteau en question.

On prend pour moment maximum $M = 21.97 \text{ m}$
 " " " effort axiale $N = 18.724 \text{ t}$.

On prend des longrines de dimensions $45 \times 60 \text{ cm}^2$.
Ferrailage: (en flexion composée):

$$e_0 = \frac{M}{N} = 116.99 \text{ cm} > h + \frac{l}{2} = 80 \text{ cm}$$

Si N effort de traction :

$$\text{Mai: moment } \% \text{ aux acier tendus} = M + N\left(\frac{h}{2} - d\right) = 26.39 \text{ t}.$$

$$N = \frac{15 \cdot 26.39 \cdot 10^5}{4200 \cdot 45 \cdot 54^2} = 0.0718 \quad \text{d'où} \quad \begin{cases} K = 10.5 \\ \epsilon = 0.8803 \end{cases}$$

$$\text{d'où } A_1 = 13.07 \text{ cm}^2.$$

$$A = A_1 + \frac{N}{f_a} = 16.57 \text{ cm}^2$$

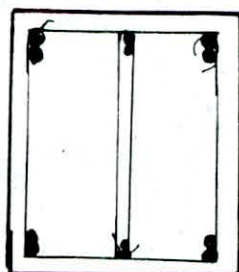
Si N effort de compression :

$$A = A_1 - \frac{N}{f_a} = 3.5 \text{ cm}^2.$$

On adopte comme section d'acier $4T20 + 2T16$.

Les longrines seront armées symétriquement.

Pour les armatures transversales On prend 1 cadre et 8 espacement 15 cm



Voile Périphtérique

les obstacles au-dessous du niveau de base, formée de poteaux courts - rideau sanitaires dans les toilettes ayant un voile périphtérique continu entre le niveau de l'assise et le niveau de base, en zone II et III. Pour assurer un bon clivage et une bonne stabilité de l'ensemble du bâtiment le voile doit avoir les caractéristiques minimales suivantes:

- Hauteur du voile $\geq \text{MAX}(\frac{1}{10} \cdot \text{hauteur plafond} ; 0,80\text{m})$; On prend pour notre cas $h = 1,7\text{m}$
- L'épaisseur du voile doit être $\geq 15\text{cm}$; On prend $e = 20\text{cm}$.
- Fermette: le R&A recommande de prendre des armatures longitudinales filantes supérieures et inférieures de section $\geq 20\%$ de la section transversale du voile.
 $A_f \geq 20\% \cdot h \cdot e = 20\% \cdot 1,70 \cdot 20 = 10,8\text{cm}^2$.

Soit $6T16 = 12,06\text{cm}^2$

armatures longitudinales de plafond: $A \geq e\text{cm}^2$ soit $4T12/\text{m}$

- Dans les angles du voile périphtérique On prend les épures de renforcement.

